

ใบสมัครเข้ารับการประเมินบุคคลและผลงานเพื่อเข้ารับการคัดเลือก
เพื่อแต่งตั้งให้ดำรงตำแหน่งผู้เชี่ยวชาญด้านเทคโนโลยีฟันหลวง (นักวิทยาศาสตร์เชี่ยวชาญ)
ตำแหน่งเลขที่ ๔ กรมฟันหลวงและการบินเกษตร

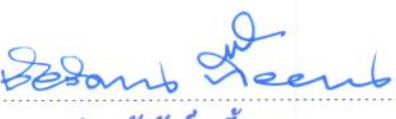
ข้าพเจ้า นายภักดี จันทร์เกษา¹
ปัจจุบันดำรงตำแหน่ง นักวิทยาศาสตร์ชำนาญการพิเศษ ตำแหน่งเลขที่ ๑๔๗
สังกัด กลุ่มวิชาการปฏิบัติการฟันหลวง กองปฏิบัติการฟันหลวง
ขอแสดงความประสงค์สมัครเข้ารับการคัดเลือกเพื่อแต่งตั้งให้ดำรงตำแหน่งผู้เชี่ยวชาญด้านเทคโนโลยีฟันหลวง
(นักวิทยาศาสตร์เชี่ยวชาญ) ตำแหน่งเลขที่ ๔ กรมฟันหลวงและการบินเกษตร

ขอรับรองว่าข้อมูลที่ได้แจ้งไว้ในใบสมัครนี้เป็นความจริงทุกประการ

(ลงชื่อ)  ผู้สมัครคัดเลือก
(..... นายภักดี จันทร์เกษา)
(ตำแหน่ง นักวิทยาศาสตร์ชำนาญการพิเศษ)
(วันที่) ๒๒ / สิงหาคม / ๒๕๖๐

ความเห็นของผู้บังคับบัญชาตามลำดับชั้น ของผู้สมัครคัดเลือกฯ
ขอรับรองว่าข้อความข้างต้นเป็นความจริงทุกประการ

(ลงชื่อ)  ผู้บังคับบัญชา
(..... นายปันธิ เสมอวงศ์)
(ตำแหน่งผู้อำนวยการกองปฏิบัติการฟันหลวง)
(วันที่) ๒๒ สค. ๒๕๖๐

(ลงชื่อ)  ผู้บังคับบัญชา
(นายชัยรัตน์ เกื้ออรุณ)
(รองอธิบดี ปภ.บตราชการแทน)
(ตำแหน่งผู้อำนวยการฟันหลวงและการบินเกษตร)
(วันที่) ๒๓ สค. ๒๕๖๐

ใบสมัครเข้ารับการประเมินบุคคลและผลงานเพื่อเข้ารับการคัดเลือก
เพื่อแต่งตั้งให้ดำรงตำแหน่งผู้เชี่ยวชาญด้านเทคโนโลยีฝนหลวง
(นักวิทยาศาสตร์เชี่ยวชาญ) ตำแหน่งเลขที่ ๔
กรมฝนหลวงและการบินเกษตร



๑. ข้อมูลบุคคล

ชื่อ - สกุล นายภัสดี จันทร์เกษ
ตำแหน่ง นักวิทยาศาสตร์ชำนาญการพิเศษ ตำแหน่งเลขที่ ๑๔๓
กลุ่ม วิชาการปฏิบัติการฝนหลวง
กอง ปฏิบัติการฝนหลวง
ตำแหน่งระดับ ชำนาญการพิเศษ เป็นเวลา ๓ ปี ๑ เดือน
ตำแหน่งในสายงานที่จะประเมิน จำนวน ๑๙ ปี ๐ เดือน
อัตราเงินเดือน ๓๔,๗๖๐ บาท
เกิดวันที่ ๑๒ เดือน กันยายน พ.ศ. ๒๕๑๘ อายุปัจจุบัน ๔๑ ปี ๑๑ เดือน
วันเกียรติอย่างราชการ ๑ ตุลาคม พ.ศ. ๒๕๕๘

๒. ประวัติการรับราชการ / การฝึกอบรม / ประสบการณ์ในการทำงาน

ประวัติการรับราชการ		การฝึกอบรม / ดูงาน (ที่สำคัญ)	ประสบการณ์ในการทำงาน (ที่สำคัญ)
วันที่/เดือน/ปี	ตำแหน่ง/สังกัด		
๒๘.๑. ๒๕๕๒	นักวิทยาศาสตร์ ๓ /สฟช.	๑. International Training Course on Satellite and Radar วันที่ ๑๕ ก.ย.-๒๙ ๕.๑.๒๕๕๑ ณ WMO Regional Training Center (RTC) Nanjing สาธารณรัฐประชาชนจีน	๑. วิทยากรหลักสูตรอบรมหลักสูตร อุดม尼ยมวิทยาขั้นสูง รุ่นที่ ๑๖ ประจำปี การศึกษา ๒๕๕๕ ระหว่างวันที่ ๑๑ มีนาคม - ๒๗ เมษายน ๒๕๕๕ ในชุด หัวข้อวิชา Cloud and precipitation; weather modification (Royal rainmaking); เรื่อง雷达ตรวจอากาศ สำหรับการปฏิบัติการฝนหลวง
๒๘.๑. ๒๕๕๔	นักวิทยาศาสตร์ ๕ /สฟช.	๒. การใช้งาน การบำรุงรักษาระบบ เรดาร์ (EEC Dual Polarization) และระบบซอฟแวร์ TITAN/CIDD	๒. หัวหน้าวิจัยโครงการประเมินปริมาณ น้ำฝนด้วยเรดาร์ภาคกลาง (Radar Rainfall Estimation over the Central of Thailand) ปีงบประมาณ ๒๕๕๖
๑ ๕.๑. ๒๕๕๖	นักวิทยาศาสตร์ ๕ /สฟช.	๓. การใช้งาน การบำรุงรักษาระบบ เรดาร์ (Gematronik) Rainbow และระบบซอฟแวร์ TITAN/CIDD	๓. หัวหน้าวิจัยโครงการประเมินปริมาณ น้ำฝนด้วยเรดาร์ในภาคตะวันออก (Radar Rainfall Estimation over the Eastern Thailand) ปีงบประมาณ ๒๕๕๗
๑๑ ๕.๑. ๒๕๕๗	นักวิทยาศาสตร์ ๖ว. /สฟช.	๔. Mobile Radar Model DWSR-๓๕๐๑C (EEC) ๒๐-๒๔ พ.ย. ๒๕๕๕ ณ สถานีเรดาร์ฝนหลวงสัตหีบ จ.ชลบุรี	๔. หัวหน้าวิจัยโครงการประเมินปริมาณ น้ำฝนด้วยเรดาร์ในภาค ตะวันออกเฉียงเหนือและภาคใต้ (Radar Rainfall Estimation over the North-Eastern and Southern Thailand) ปีงบประมาณ ๒๕๕๘-๒๕๖๐
๒๗ ๕.๑. ๒๕๕๘	นักวิทยาศาสตร์ ชำนาญการ /กรมฝนหลวงฯ	๕. Mobile Radar Model DWSR-๓๕๐๑C (EEC) ๒๐-๒๔ พ.ย. ๒๕๕๕ ณ สถานีเรดาร์ฝนหลวงพิมาย จ.นครราชสีมา	
๒๐ มิ.ย. ๒๕๕๗	นักวิทยาศาสตร์ ชำนาญการพิเศษ /กรมฝนหลวงฯ		

	<p>๕. การใช้งาน การบำรุงรักษาระบบ Cloud Physics and Instrumentation วันที่ ๑๔ ก.พ.-๗ มี.ค. ๒๕๕๔ ณ SPEC Incorporated Boulder CO. USA.</p> <p>๖. การใช้งาน การบำรุงรักษาระบบ PCASP and CCN วันที่ ๒-๔ มี.ค. ๒๕๕๔ ณ Droplet Measurement Technologies Boulder CO. USA.</p> <p>Cloud Physics and Instrumentation: Review and Installation in Thailand วันที่ ๑-๑๖ ก.ย. ๒๕๕๔ ณ สนามบินหัวหิน จ.ประจวบคีรีขันธ์</p> <p>๗. การใช้งาน การบำรุงรักษาระบบ Microwave Profiler วันที่ ๒-๖ ธ.ค. ๒๕๕๔ ณ สถานีเรดาร์ฝนหลวงอุ่น ก่ออย จ.เชียงใหม่</p> <p>๘. Intensive English Language Course (ILC) วันที่ ๒๑ เม.ย.-๓๐ พ.ค. ๒๕๕๗ ณ สถาบันการต่างประเทศเทวะวงศ์โรปการ กระทรวงต่างประเทศ กรุงเทพมหานคร</p> <p>๙. Training Workshop on Application of Radar Observation Data for Numerical Weather Prediction วันที่ ๑๐-๑๓ พ.ค. ๒๕๕๗ ณ กรมอุตุนิยมวิทยา กรุงเทพมหานคร</p> <p>๑๐. Training Workshop on Radar Data Assimilation for Precipitation Nowcasting วันที่ ๓๐ พ.ค.-๓ มิ.ย. ๒๕๕๗ ณ กรมอุตุนิยมวิทยา กรุงเทพมหานคร</p> <p>๑๑. ระบบประเมินปริมาณน้ำฝนและพยากรณ์ฝนล่วงหน้าโดยใช้ข้อมูล เรดาร์ตรวจอากาศ วันที่ ๑๒-๑๔ ก.ย. ๒๕๕๗ ณ สถาบันสารสนเทศ ทรัพยากรน้ำและการเกษตร (องค์การมหาชน) กรุงเทพมหานคร</p>	<p>๑๒. หัวหน้าโครงการวิจัยเชิงปฏิบัติการ: กรณีศึกษาการทำฝนเมฆอุ่นในพื้นที่ภาคเหนือโดยใช้สารดูดความชื้น แคลเซียมคลอไรด์ปีงบประมาณ ๒๕๕๙</p> <p>๑๓. การประชุม Project Steering Committee โครงการการดัดแปลงสภาพอากาศโดยเทคโนโลยีฝนหลวงวันที่ ๒๕-๒๗ พฤศจิกายน ๒๕๕๙ ณ กรุงอัมมาน ประเทศจอร์แดน</p> <p>๑๔. ที่ปรึกษาโครงการพัฒนาระบบบริษัท น้ำฝนและพยากรณ์ฝนล่วงหน้าโดยใช้ข้อมูลเรดาร์ตรวจอากาศ (ปี ๒๕๕๙) สถาบันสารสนเทศทรัพยากรน้ำและการเกษตร (องค์การมหาชน) กรุงเทพมหานคร</p>
--	---	--

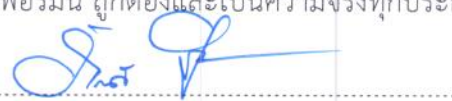
๓. การประเมินคุณลักษณะ

ผ่านการประเมินคุณลักษณะของบุคคลได้คะแนน ๕๗ คะแนน

ในหัวข้อความรับผิดชอบ ความคิดริเริ่ม การแก้ไขปัญหาและการตัดสินใจและความสามารถในการสื่อความหมาย ความประพฤติและการทำงานร่วมกับผู้อื่น การพัฒนาตนเองและความเสียสละ

ข้าพเจ้าขอรับรองว่าข้อความที่แจ้งไว้ในแบบฟอร์มนี้ ถูกต้องและเป็นความจริงทุกประการ

(ลงชื่อ)



(นายภักดี จันทร์เกษ)

(ผู้ขอรับการประเมิน)

๒๒ / สิงหาคม / ๒๕๖๐

เอกสารประกอบ

การพิจารณาคัดเลือกบุคคลเข้ารับการประเมินบุคคลและผลงาน
เพื่อแต่งตั้งให้ดำรงตำแหน่งผู้เชี่ยวชาญด้านเทคโนโลยีฟนหลวง
(นักวิทยาศาสตร์เชี่ยวชาญ) ตำแหน่งเลขที่ ๔

กรมฟนหลวงและการบินเกษตร

หัวข้อเค้าโครงเรื่องของงานที่เสนอในขั้นตอนการพิจารณาคัดเลือกบุคคลเพื่อส่งผลงานประเมิน
ในทำเนียบนักวิทยาศาสตร์เชี่ยวชาญ
(กรณีลักษณะงานวิจัย)
เรื่องที่ ๑

๑. ชื่อผลงาน

การประเมินปริมาณน้ำฝนด้วย雷达ภาคตะวันออก
(Radar Rainfall Estimation over the Eastern of Thailand)

๒. บทคัดย่อ

การวิจัยฯ นี้มีวัตถุประสงค์เพื่อศึกษาวิธีการประเมินปริมาณน้ำฝนจากความสัมพันธ์ระหว่างข้อมูลที่ตรวจวัดได้จาก雷达ร์ตรวจอากาศสถานีเรดาร์ฝนหลวงสัตหีบ อำเภอสัตหีบ จังหวัดชลบุรี ซึ่งมีรัศมีการตรวจวัดครอบคลุมพื้นที่ทั่วทั้งภาคตะวันออก จำนวนทั้งสิ้น 8 จังหวัด กับข้อมูลจากสถานีตรวจวัดน้ำฝนที่ตั้งอยู่ในพื้นที่ การตรวจวัดของ雷达ร์ ภายในรัศมี 240 กิโลเมตร อันนำไปสู่การสร้างกระบวนการหรือกลไกในการบริหารจัดการน้ำในบรรยายกาศให้สอดคล้องกับความต้องการของพื้นที่รับน้ำในพื้นที่ภาคตะวันออกซึ่งเป็นพื้นที่เกษตรกรรมและอุตสาหกรรมหลักที่สำคัญทางเศรษฐกิจของประเทศไทย ในการศึกษาครั้งนี้ได้ใช้ข้อมูลจาก雷达ร์ตรวจอากาศของสถานีเรดาร์ฝนหลวงสัตหีบ จังหวัดชลบุรี และข้อมูลปริมาณฝนจากสถานีวัดน้ำฝนอัตโนมัติของกรมฝนหลวงและการบินเกษตร จำนวน 50 สถานี และกรมอุตุนิยมวิทยาจำนวน 112 สถานี ในช่วงฤดูฝน ระหว่างเดือนมีนาคม ถึง สิงหาคม พ.ศ. 2557 โดยการหาความสัมพันธ์ระหว่างปริมาณน้ำฝน (R) กับข้อมูลค่าการสะท้อนกลับของ雷达ร์ (Z) (Z-R Relationship) ที่ระดับความสูงความสูงต่างๆ จากพื้นดินจำนวนข้อมูลเหตุการณ์ฝนรวม 211 เหตุการณ์ แบ่งออกเป็นเหตุการณ์สำหรับการสอบเที่ยน (Calibration) จำนวน 105 เหตุการณ์ และเหตุการณ์สำหรับการตรวจสอบ (Verification) จำนวน 106 เหตุการณ์ จากการศึกษาพบว่าการประเมินฝนจากข้อมูลการตรวจวัดของสถานีเรดาร์ฝนหลวงสัตหีบ สามารถที่เหมาะสมสำหรับการใช้ในการประเมินฝน คือสมการ $Z = 201.1 R^{1.5}$ โดยใช้ค่า Z ที่เหมาะสม ณ ระดับความสูง 1.75 กิโลเมตร จากพื้นดินและมีค่าอยู่ในช่วง $15 \text{ dBZ} < Z < 53 \text{ dBZ}$ ที่ระดับให้ค่าความถูกต้องมากกว่า สมการที่ใช้อยู่ในปัจจุบัน ผลการศึกษาที่ได้จากโครงการวิจัยฯ นี้สามารถนำไปประยุกต์ในการประเมินประสิทธิผลของการปฏิบัติการฝนหลวงตลอดจนการใช้สมการ Z-R ที่เสนอแนะในการประเมินฝนจาก雷达ร์ซึ่งจะทำให้ได้ปริมาณฝน雷达ร์ที่มีความถูกต้องมากกว่าการใช้สมการ $Z = 300R^{1.4}$ และ $Z = 200R^{1.6}$

(ภาษาอังกฤษ)

The purpose of this research was to investigate the method of estimating the amount of rainfall from radar reflectivity in the eastern region, which is a major agricultural and industrial area of Thailand. The weather radar of DRRAA located in Sattahip, Chonburi province which the effective range 240 km of Sattahip station covers the total of 8 provinces the calibration of the Z-R relationship were estimated using the series of Z-R pair data which derived from weather radar of Sattahip station and rain gauge network of DRRAA with 50 stations and TMD with 211 stations. The 211 convective rainfall events during rainy season in March to August 2014 over the eastern part of Thailand are chosen then these selected rainfall events were divided into two groups. The first group of 105 events with rain intensity from DRRAA rain gauges was used to Z-R calibration and derived parameters. The second

group of 106 events with rainfalls from MET were considered as validated data. The a and b parameters of Z-R relationship will be calibrated by minimizing the Root Mean Square Error (RMSE) corresponding rain gauge rainfall with the constant of b parameter of 1.5 with different altitude. The Z-R relationships were derived using RMSE as $Z=201R^{1.5}$ which radar reflectivity were chosen the altitude at 1.75 km above ground level and ranged reflectivity as 15 dBZ to 53 dBZ. These rainfall events were used to test an accuracy of the proposed radar rainfall estimation based on different Z-R relationship including Z-R relationships obtained from the calibration. It was evident that using of proposed Z-R relationship in rainy season over eastern Thailand; $Z=201R^{1.5}$, gave the smallest RMSE compared to using $Z=200R^{1.6}$ and $Z=300R^{1.4}$.

๓. หลักการและเหตุผล

ประเทศไทยตั้งอยู่ในเขตอุตุนิยมวิทยาพื้นที่ของประเทศไทยซึ่งมักประสบปัญหาน้ำท่วมฉันพลันตามฤดูกาล อุทกภัยมักเริ่มขึ้นในภาคเหนือแล้วค่อยขยายลงมาตามแม่น้ำเจ้าพระยาผ่านที่ร焉ภาคกลาง ในภาคตะวันออกเฉียงเหนือตามแม่น้ำชี และแม่น้ำปิงหรือในพื้นที่ลุดเช้าข่ายฝั่งในภาคตะวันออกและภาคใต้สำหรับภาคตะวันออกจากปัญหาน้ำท่วมฉันพลันที่มักเกิดขึ้นน้อยครั้งยังประสบปัญหากัยแสลงในพื้นที่เกษตรกรรมหลายๆ พื้นที่โดยเฉพาะในพื้นที่คลุ่มน้ำปราจีนบุรีและในจังหวัดระยอง เนื่องจากการเดินทางของภาคอุตสาหกรรมภาคตะวันออกมีการขยายตัวอย่างรวดเร็ว และมีแผนขยายเป็นอุตสาหกรรมปีโตรเคมี ครนวนจะซึ่งเป็นอุตสาหกรรมที่ใช้น้ำมากแหล่งน้ำหลักที่ภาคอุตสาหกรรมใช้อยู่ในปัจจุบันอย่างจำกัด และไม่สามารถรองรับต่อการขยายตัวดังกล่าว จึงส่งผลทำให้เกิดการขาดแคลนน้ำทั้งในพื้นที่อุตสาหกรรมและพื้นที่เกษตรกรรมรวมทั้งปัญหาที่เกิดจากน้ำเค็มจากทะเลลุกกลั่นน้ำจืดในหลายๆ พื้นที่ เช่น แม่น้ำบางปะกง เป็นต้น ทั้งนี้เนื่องจากปัญหาน้ำที่ขาดแคลนน้ำทั้งน้ำจืดและน้ำกร่อยต้องมีระบบส่วนหนึ่งมาจากการจัดการทรัพยากร่น้ำอย่างถูกต้องและมีประสิทธิภาพในการจัดการทรัพยากร่น้ำในคลุ่มน้ำต่างๆ จึงจำเป็นต้องทราบหรือสามารถคาดการณ์ปริมาณน้ำฝนในพื้นที่โดยรวม ตามช่วงเวลา ดังนั้นจึงมีเครื่องมือหลากหลายที่สามารถใช้ในการตรวจสอบอากาศเรดาร์ตรวจอากาศเป็นเครื่องมือหนึ่งที่ได้รับความนิยมอย่างแพร่หลายด้วยคุณสมบัติของระบบเรดาร์ตรวจอากาศที่สามารถตรวจวัดกลุ่มนิมฟ์และติดตามการเคลื่อนที่ของกลุ่มนิมฟ์ได้ภายในรัศมีการตรวจวัดอีกทั้งยังสามารถใช้ในการพยากรณ์อากาศระยะสั้นมาก (Nowcasting) สำหรับการเตือนภัยสภาพอากาศและการนิปปูนติดการฝนหลวงได้....

ในช่วงระยะเวลาที่ผ่านมา กรมฝนหลวงและการนิปปูนเกษตรได้กำหนดให้จำนวนพื้นที่ที่ได้รับประโยชน์จากการนิปปูนติดการฝนหลวงเป็น “ตัวชี้วัด” หลักที่สำคัญ ข้อมูลดังกล่าวจะได้มามากผลการตรวจวัดของเรดาร์ ฝนหลวง ทั้งนี้เพื่อให้กรองคุณพื้นที่รับประโยชน์และพื้นที่การนิปปูนติดการฝนหลวงมากยิ่งขึ้น จึงได้มีการใช้ข้อมูลของเรดาร์กรรมอุตุนิยมวิทยาในการประเมินพื้นที่ฝนตกร่วมด้วย ดังนั้นเพื่อให้การนิปปูนติดการฝนหลวงในบริเวณที่ขาดแคลนน้ำ ให้ได้ข้อมูลที่มีความถูกต้องมากที่สุด จึงจำเป็นต้องมีการศึกษาวิจัยเพื่อประเมินปริมาณน้ำฝนโดยเรดาร์ตรวจอากาศอย่างจริงจัง อันจะเกิดประโยชน์อย่างมากต่อภาพรวมของการจัดทำแผนปฏิบัติการฝนหลวงประจำปี ทำให้เกิดความคุ้มค่าต่อการนิปปูนติดการฝนหลวงประจำปี ตลอดจนสามารถตรวจสอบการทำงานของเรดาร์ได้ ทั้งนี้ที่เกี่ยวข้องอาทิ กรมชลประทาน และกรมอุตุนิยมวิทยาในการประเมินสถานการณ์ เป็นต้น.....

วัตถุประสงค์ในการศึกษาของโครงการวิจัยฯ นี้ เพื่อศึกษาวิธีการประเมินปริมาณน้ำฝนจากความสัมพันธ์ระหว่างข้อมูลที่ตรวจวัดได้จากเรดาร์ตรวจอากาศสถานีเรดาร์ฝนหลวงสัตหีบ อำเภอสัตหีบ จังหวัดชลบุรี ซึ่งมีรัศมีการตรวจวัดครอบคลุมพื้นที่เกือบทั่วทั้งภาคตะวันออกและบางส่วนของภูมิภาคอีกด้วย รวม 22 จังหวัด กับข้อมูลจากสถานีตรวจวัดน้ำฝนที่ตั้งอยู่ในพื้นที่การตรวจวัดของเรดาร์ดังกล่าว เพื่อนำไปสู่

การสร้างกระบวนการหรือกลไกในการบริหารจัดการน้ำในบรรยากาศให้สอดคล้องกับความต้องการของพื้นที่รั้วน้ำโดยสามารถนำมาใช้ในการปรับแผนการปฏิบัติการฝนหลวงประจำวันเพื่อช่วยเหลือเกษตรกรและประชาชนอย่างเป็นระบบได้ต่อไป

๔. วัตถุประสงค์

๔.๑ เพื่อศึกษาวิเคราะห์ข้อมูลเรดาร์ตรวจอากาศและข้อมูลสถานีตรวจวัดน้ำฝนในพื้นที่ภาคตะวันออกของประเทศไทย

๔.๒ เพื่อศึกษาการประเมินปริมาณน้ำฝนจากเรดาร์ตรวจอากาศในพื้นที่ภาคตะวันออกของประเทศไทย

๔.๓ เพื่อประยุกต์ในระบบประเมินปริมาณน้ำฝนด้วยเรดาร์บนระบบสารสนเทศกรมฝนหลวงและการบินเกษตร

๕. ระยะเวลาและสถานที่ดำเนินการ

๕.๑ ระยะเวลาดำเนินการ ปี พ.ศ. ๒๕๕๗ – ๒๕๕๘

๕.๒ สถานที่ดำเนินการ กลุ่มวิชาการบัญชีการฝนหลวง กรุงเทพมหานคร, สถานีเรดาร์ฝนหลวงสัตหีน จ.ชลบุรี และศูนย์ฝนหลวงหัวหิน จ.ประจวบคีรีขันธ์

๖. ผู้ร่วมดำเนินการ (ถ้ามี)

๑. นายฉันติ เดชโยธิน นักวิทยาศาสตร์ชำนาญการพิเศษ สัดส่วนผลงาน ร้อยละ ๑๐

๗. อุปกรณ์การทดลอง

๗.๑ ระบบเรดาร์ตรวจอากาศแบบดอพเพลอร์ ความถี่ S Band ยี่ห้อ Gematronik โมเดล Meteor ๙๐๐S และโปรแกรม Rainbow

๗.๒ โปรแกรม Thunderstorm Identification and Tracking Analysis and Nowcasting / the Cartesian Interactive Data Display (TITAN / CIDD)

๗.๓ เครื่องวัดน้ำฝนอัตโนมัติแบบถังกระดก (Tipping Bucket Rain-gauge) ยี่ห้อ THEODOR FRIEDRICH'S Model ๗๐๕๗.๐๑๐๐ BG with Dada Logger ผลิตภัณฑ์ของประเทศไทยเยอรมัน จำนวน ๕๐ สถานี (กรมฝนหลวงและการบินเกษตร) และจากระบบข้อมูลน้ำฝนกรมฯ ของกรมอุตุนิยมวิทยา จำนวน ๑๑๒ สถานี

๗.๔ โปรแกรม Java Applications บน NetBeans IDE เวอร์ชัน ๘.๐ และ Java ๑.๗.๐_๕๕

๗.๕ โปรแกรมจัดการฐานข้อมูล MySQL, MySQL Server เวอร์ชัน ๕.๕.๗ (DB) ใช้สำหรับการนำเข้าและการจัดการฐานข้อมูลความเข้มฝน (R) และค่าการสะท้อนกลับของเรดาร์ (Z) รวมทั้งใช้สำหรับการจับคู่ (Mapping) ระหว่างข้อมูลความเข้มฝน (R) และค่าการสะท้อนกลับของเรดาร์ (Z)

๗.๖ โปรแกรม ArcGIS ๑๐.๕ for Desktop Version ๑๐.๕_๕๕๒๕

๘. ขั้นตอนและวิธีการดำเนินงาน

๘.๑ ศึกษางานวิจัยที่เกี่ยวข้องกับการประเมินปริมาณน้ำฝนจากเรดาร์ตรวจอากาศจากการสำรวจวิชาการที่พิมพ์ทั้งในและต่างประเทศ

๘.๒ รวบรวมข้อมูลค่าการสะท้อนกลับของเรดาร์ (Z) ที่ตรวจวัดได้จากสถานีเรดาร์ฝนหลวงสัตหีนในวันที่ข้อมูลมีความสมบูรณ์และมีฝนตกระหว่างมีนาคม ๒๕๕๙ ถึงสิงหาคม พ.ศ. ๒๕๕๗ ในรูปแบบ Volume files (Gematronik volume file format)

๘.๓ การแปลงข้อมูลเรดาร์ Volume files ด้วยโปรแกรม TITAN เมื่อรูปแบบ Meteorological Data Volume (MDV) บนระบบพิกัดแนวคานที่เขียน

๘.๔ พัฒนาโปรแกรมในการอ่านข้อมูลค่าการสะท้อนกลับของเรดาร์ (Z) จากข้อมูลการตรวจวัดเชิงปริมาตรแบบ MDV files เพื่อยังกับจุดติดตั้งสถานีวัดน้ำฝน

๘.๕ กำหนดจุดติดตั้งและสอบเทียบสถานีวัดฝนของกรมฝนหลวงและการบินเกษตรโดยทำการติดตั้งในรัศมีทำการ ๒๔๐ กิโลเมตรและลงพื้นที่เพื่อกีบข้อมูลในวันที่มีฝนตกระหว่างเดือนมีนาคมถึงกันยายน พ.ศ. ๒๕๕๗

๘.๖ รวบรวมข้อมูลนิมาณน้ำฝนภายใต้รัศมีทำการของเรดาร์ฝนหลวงสัตหีบ ๑๖๐ กิโลเมตรของกรมอุตุนิยมวิทยา ในปี พ.ศ.๒๕๕๗

๘.๗ พัฒนาโปรแกรมเพื่อประมวลผลการอ่านค่าปริมาณน้ำฝนและแปลงข้อมูลน้ำฝนสะสมเป็นรายคานทุก๑ ชั่วโมง

๘.๘ การจัดการฐานข้อมูลสำหรับการจันคุ่ Z - R และการคัดแยกข้อมูลสำหรับการสอนเที่ยนและทวนสอบและการวิเคราะห์หาความสูงตรวจวัดที่เหมาะสมสำหรับใช้ประเมินฝนจากสถานีเรดาร์ฝนหลวงสัตหีบ

๘.๙ วิเคราะห์ความสัมพันธ์ระหว่างความเข้มฝน (R) และค่าการสะท้อนกลับของเรดาร์ (Z)

๘.๑๐ ศึกษาความคลาดเคลื่อนของการประเมินฝนที่ได้จากการความสัมพันธ์ระหว่างความเข้มฝน (R) และค่าการสะท้อนกลับของเรดาร์ (Z) และประเมินค่าความลำเอียงของฝนจากเรดาร์ (อัตราส่วน G/R) เมื่อเปรียบเทียบกับฝนจากสถานีวัดน้ำฝน

๘.๑๑ เสนอสมการความสัมพันธ์ระหว่างความเข้มฝน (R) และค่าการสะท้อนกลับของเรดาร์ (Z) ที่เหมาะสมในการประเมินฝนสถานีเรดาร์ฝนหลวงสัตหีบ

๘.๑๒ ทดสอบความเข้มมั่นคงสถิติและความถูกต้องของแบบจำลองในการประเมินปริมาณฝน

๘.๑๓ การแสดงผลการประเมินปริมาณน้ำฝนด้วยเรดาร์บนหน้าจอระบบข้อมูลสารสนเทศ กรมฝนหลวงและการบินเกษตร

๘.๑๔ สรุปผลการศึกษาและเสนอข้อคิดเห็น

๘.๑๕ จัดทำรายงานผลการวิจัยและบทความวิจัยเผยแพร่

๙.ผลการการศึกษา

๙.๑ ผลการตรวจสอบข้อมูลเรดาร์สัตหีบที่ระดับความสูงต่างๆ

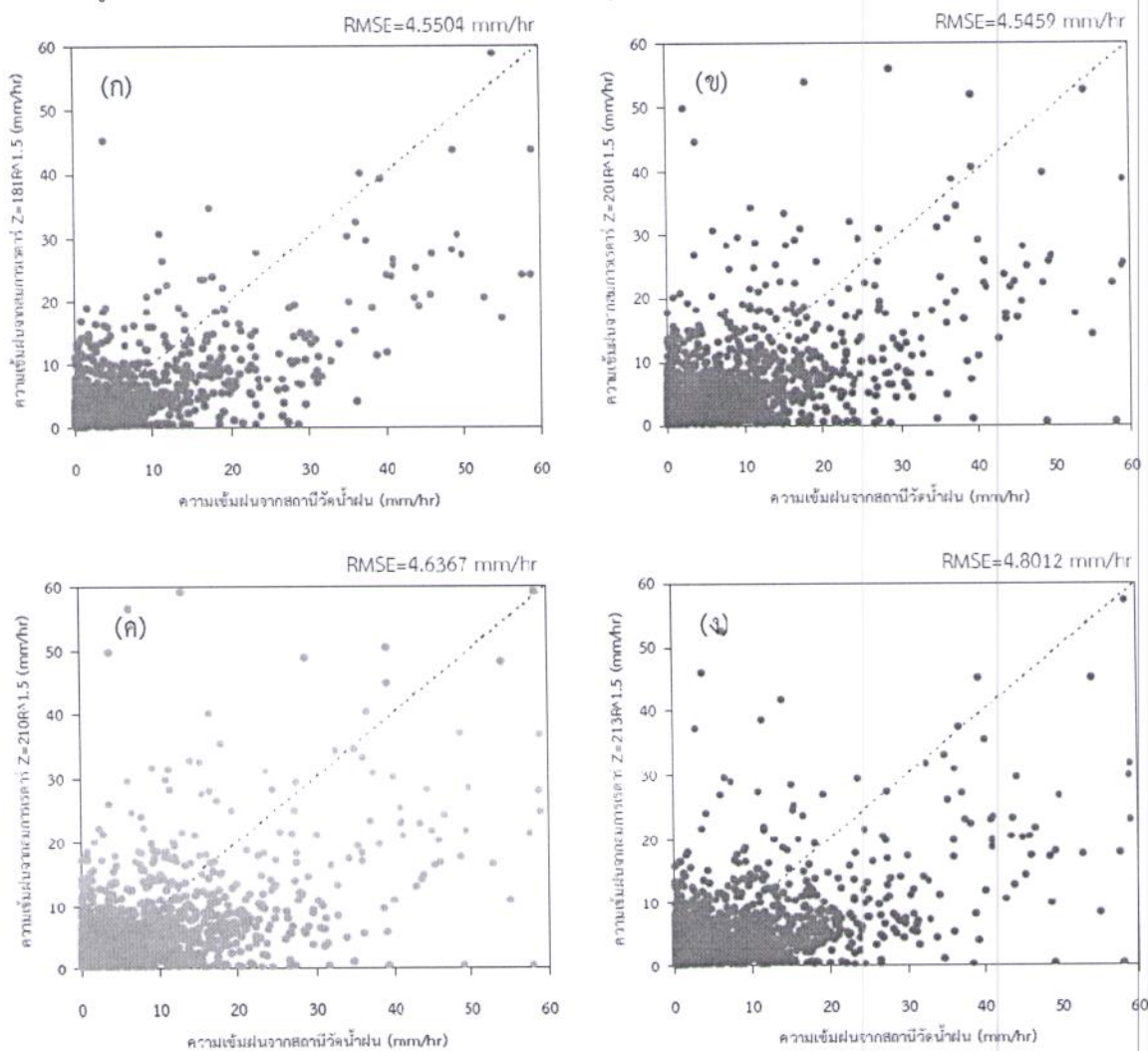
การศึกษานี้ได้ทำการคัดเลือกข้อมูลที่ระดับความสูงใกล้พื้นดิน เนื่องจากทำให้ได้ข้อมูลการตรวจวัดครบทุกกลุ่มฝนที่มากกว่า โดยกำหนดให้มีข้อมูลค่าการสะท้อนกลับ (Z) ที่สอดคล้องกับข้อมูลตรวจวัดฝนจากสถานีวัดน้ำฝนอยู่ภายในรัศมีการทำงานของเรดาร์ที่ระยะไม่เกิน ๑๖๐ กิโลเมตร ดังนั้น การศึกษาครั้งนี้จึงทำการคัดเลือกข้อมูลเรดาร์ที่ระดับความสูง ตั้งแต่ ๑.๐, ๑.๗๕, ๒.๕ และ ๓.๒๕ กิโลเมตร มาทำการวิเคราะห์หาความสูงที่เหมาะสมและสมการความสัมพันธ์ระหว่างความเข้มฝนและค่าพารามิเตอร์ Z ด้วยสมการ R(Z) ที่เหมาะสมที่สุดสำหรับใช้ในการประเมินฝนสำหรับสถานีเรดาร์ฝนหลวงสัตหีบ โดยใน การศึกษาใช้หลักเกณฑ์ในการคัดเลือกค่าพารามิเตอร์ Z ที่นำมาใช้ในการวิเคราะห์เข่นเดียวกันเงื่อนไขของ ๙.๒ เหตุการณ์ฝนทั้งหมดของข้อมูลค่าการสะท้อนกลับ (Z) ที่สอดคล้องกับข้อมูลตรวจวัดฝนจากสถานีวัดน้ำฝนของกรมฝนหลวงและการบินเกษตร ในวันที่มีฝนตกจะนำมาใช้ในการสอนเที่ยน (Calibration). เพื่อหาสมการความสัมพันธ์ระหว่างความเข้มฝนและค่าพารามิเตอร์ Z เพื่อใช้ในการประเมินผลการคัดเลือกความสูงและสมการความสัมพันธ์ที่เหมาะสมสำหรับใช้ในการประเมินฝนสถานีเรดาร์ฝนหลวงสัตหีบ พิจารณาจากค่ารากที่สองของค่าเฉลี่ยความคลาดเคลื่อนกำลังสองที่น้อยที่สุด (Root Mean Square Error: RMSE) ระหว่างฝนเรดาร์ที่ประเมินจากสมการ R(Z) ในแต่ละความสูงที่ทำการตรวจวัดเทียบกับปริมาณฝนที่ตรวจวัดได้จากสถานีวัดน้ำฝนตามแผนที่ทำการตรวจวัดที่สอดคล้องกับเหตุการณ์ฝนที่น้อยต่อ向往ที่ ๙.๑ เปรียบเทียบค่า RMSE สมการ R(Z) เหตุการณ์สอนเที่ยนที่ระดับความสูง ๑.๐, ๑.๗๕, ๒.๕ และ ๓.๒๕ กิโลเมตรของเหตุการณ์

ฝนทั้งหมดของข้อมูลค่าการสะท้อนกลับ (Z) ที่สอดคล้องกับข้อมูลตรวจวัดฝนจากสถานีวัดน้ำฝนของกรมฝนหลวงและการบินเกษตรในวันที่มีฝนตก ระหว่างเดือนมีนาคม ถึง สิงหาคม พ.ศ. ๒๕๕๗

ตารางที่ ๙-๑ เปรียบเทียบค่า RMSE สมการ $R(Z)$ เหตุการณ์สอนเทียนที่ระดับความสูง ๑.๐, ๑.๗๕, ๒.๕ และ ๓.๒๕ กิโลเมตร ของเหตุการณ์ฝนทั้งหมดของข้อมูลค่าการสะท้อนกลับ (Z) ที่สอดคล้องกับข้อมูลตรวจวัดฝนจากสถานีวัดน้ำฝนของกรมฝนหลวงและการบินเกษตร ในวันที่มีฝนตก ระหว่างเดือนมีนาคม ถึง สิงหาคม พ.ศ. ๒๕๕๗

ระดับความสูง (กิโลเมตร)	จำนวนคู่ Z-R	สมการ Z-R	RMSE (mm/hr)
1.0	3,518	$181R^{1.5}$	4.5504
1.75	6,094	$201R^{1.5}$	4.5459
2.5	6,121	$210R^{1.5}$	4.6367
3.25	6,044	$213R^{1.5}$	4.8012

ผลจากการวิเคราะห์การประเมินฝนโดยใช้สมการ $R(Z)$ ที่ระดับความสูง ๑.๐, ๑.๗๕, ๒.๕ และ ๓.๒๕ กิโลเมตร พบว่าการประเมินฝนโดยใช้สมการ $R(Z)$ ที่ระดับความสูง ๑.๗๕ กิโลเมตร ให้ค่า RMSE ของเหตุการณ์สอนเทียนน้อยที่สุด (ดังรายละเอียดแสดงในตารางที่ ๙-๑) และให้ค่าความสัมพันธ์ระหว่างความเข้มฝนเรดาร์ของเหตุการณ์สอนเทียนที่ประเมินได้มีค่าใกล้เคียงกับความเข้มฝนจากสถานีวัดน้ำฝนมากกว่าที่ระดับความสูง ๑.๐, ๒.๕ และ ๓.๒๕ กิโลเมตร ดังแสดงในรูปที่ ๙-๑



รูปที่ ๕-๑ ความสัมพันธ์ระหว่างความเข้มฝนที่ประเมินได้จากสมการเรเดาร์ที่ระดับความสูง (ก) ๑.๐... (ข) ๑.๗๕, (ค) ๒.๕ และ (ง) ๓.๒๕ กิโลเมตร กับค่าความเข้มฝนที่ตรวจวัดได้จากสถานีวัดน้ำฝน ณ ตำแหน่งการตรวจวัดที่สอดคล้องกับสำหรับเหตุการณ์ฝนที่ใช้ในการสอบเทียน (Calibration) ปี พ.ศ. ๒๕๕๗

จากผลลัพธ์ที่กล่าวมาในข้างต้นสามารถสรุปได้ว่าที่ระดับความสูง ๑.๗๕ กิโลเมตร จากพื้นดิน เป็นระดับความสูงของการตรวจวัดที่เหมาะสมที่สุดของสถานีเรเดาร์ฝนหลวงสัตหีบซึ่งข้อมูลเรดาร์สัตหีบ ที่ระดับความสูง ๑.๗๕ กิโลเมตร จะถูกนำไปใช้ในการหาสมการความสัมพันธ์ระหว่างความเข้มฝนและค่าพารามิเตอร์ Z ที่เหมาะสมที่จะใช้ในการประเมินฝนสถานีเรเดาร์ฝนหลวงสัตหีบต่อไป

๕.๒ ผลการวิเคราะห์สมการความสัมพันธ์ระหว่างความเข้มฝนและค่าพารามิเตอร์ Z

โครงการวิจัยฯ ได้ทำการวิเคราะห์หาสมการความสัมพันธ์ระหว่างความเข้มฝนและค่าพารามิเตอร์ Z ที่เหมาะสม ในการประเมินสำหรับสถานีเรเดาร์สัตหีบ ในวันที่มีฝนตกโดยค่าพารามิเตอร์ Z ที่นำมาใช้ในการศึกษาซึ่งได้จากข้อมูล Volume Files ของเรดาร์สัตหีบและนำไปใช้ร่วมกับข้อมูลฝนจากสถานีวัดน้ำฝนจากสถานีวัดน้ำฝนของกรมฝนหลวงและการบินเกษตรเพื่อวิเคราะห์หาสมการความสัมพันธ์ R(Z) ที่ทำให้ค่ารากที่สองของค่าเฉลี่ยของความคลาดเคลื่อนกำลังสอง (RMSE) ระหว่างปริมาณฝนจากเรดาร์ และปริมาณฝนจากสถานีวัดน้ำฝนซึ่งตั้งอยู่ในตำแหน่งที่สอดคล้องกับมีค่าน้อยที่สุด รายละเอียดผลการวิเคราะห์หาสมการความสัมพันธ์ R(Z) มีดังต่อไปนี้

ในการวิเคราะห์หาสมการความสัมพันธ์ R(Z) สำหรับสถานีเรเดาร์ฝนหลวงเรดาร์สัตหีบเพื่อใช้ในการประเมินสามารถวิเคราะห์ได้จาก สมการที่ ๕-๑

$$Z = aR^b \quad (5-1)$$

เมื่อ Z คือ ค่าการสะท้อนกลับของเรเดาร์ในแนวราบ ($\text{mm}^{-1}/\text{m}^2$)

R คือ ความเข้มฝนจากเรเดาร์ (mm/hr)

จากการศึกษาของกรมฝนหลวงและการบินเกษตร (๒๕๕๙) พนว่าค่าพารามิเตอร์ a และ b ของสมการความสัมพันธ์ R(Z) โดยใช้ข้อมูลค่าการสะท้อนกลับของเรเดาร์หลายปีที่ได้จากการตรวจวัดโดยเครื่องมือ Disdrometer พนว่าค่าพารามิเตอร์ b ที่เหมาะสมที่จะเป็นตัวแทนของสมการ R(Z) คือ $b = ๑.๕$ (Doelling et al., ๑๘๘๘; Steiner and Smith, ๒๐๐๘; Hagen และ Yuter, ๒๐๐๓) และจากการศึกษาของ Seed et al., (๒๐๐๒) พนว่าพารามิเตอร์ b ในมีผลต่อการเปลี่ยนแปลงของค่า RMSE ระหว่างฝนจากเรดาร์ และฝนจากสถานีวัดน้ำฝนมากนัก ดังนั้นในการศึกษาครั้งนี้สำหรับสมการ R(Z) จะพิจารณาใช้ค่า b คงที่ เท่ากับ ๑.๕ และทำการวิเคราะห์หาพารามิเตอร์ a ที่ทำให้ค่า RMSE ระหว่างฝนจากเรดาร์และฝนจากสถานีวัดน้ำฝนมีค่าน้อยที่สุดในการวิเคราะห์หาสมการความสัมพันธ์ R(Z) จำเป็นต้องมีการกำหนด dBZ Threshold ที่เหมาะสมเพื่อหลีกเลี่ยงความคลาดเคลื่อนของข้อมูลการสะท้อนกลับของเรเดาร์ที่ไม่ได้เกิดจากฝนจากการศึกษาของ Fulton et al. (๑๘๘๘) ได้พิจารณาใช้เฉพาะค่าการสะท้อนกลับของเรเดาร์ที่มากกว่า ๑๕ dBZ เพื่อหลีกเลี่ยงความคลาดเคลื่อนของข้อมูลการสะท้อนกลับของเรเดาร์ที่ไม่ได้เกิดจากฝนและผลกระทบจากสัญญาณเรเดาร์ที่เกิดจากลูกเห็บ ในกรณีที่ค่าการสะท้อนกลับของเรเดาร์มีค่านากกว่า ๕๓ dBZ ดังนั้นการศึกษาครั้งนี้จึงได้พิจารณาใช้หลักเกณฑ์ของ Fulton ร่วมกับการพิจารณาใช้ค่าปริมาณน้ำฝนจากสถานีวัดน้ำฝนที่มากกว่า ๐.๑ mm/hr (ค่า Gauge Resolution) เพื่อลดความคลาดเคลื่อนของข้อมูลฝนจากสถานีวัดน้ำฝน ในกรณีของการตรวจวัดปริมาณฝนที่มีค่าน้อยกว่า Gauge Resolution ในการคัดเลือกข้อมูลคุณภาพความสัมพันธ์ Z-R เพื่อใช้ในการวิเคราะห์หาสมการ R(Z) ผลการสอบเทียนเพื่อหาค่าพารามิเตอร์ a สำหรับเหตุการณ์ฝนในวันที่นี้ ฝนตกปี พ.ศ. ๒๕๕๗ จำนวน ๑๐๕ เหตุการณ์ (เหตุการณ์ฝนทั้งหมดของข้อมูลค่าการสะท้อนกลับ (Z) ที่

สอดคล้องกับข้อมูลตรวจวัดฝนจากสถานีวัดน้ำฝนของกรมฝนหลวงและการบินเกษตร) ที่ระดับความสูง ๑.๗๙๕ กิโลเมตรในวันที่มีฝนตก ระหว่างเดือนมีนาคม ถึง สิงหาคม พ.ศ. ๒๕๕๗ พนว่าสมการ $R(Z)$ ที่เหมาะสมสำหรับสถานีเรดาร์ฝนหลวงสัตหีบคือ $Z = ๒๐๐R^{๐.๔}$ โดยมีค่า RMSE = ๔.๕๕๕ mm/hr และเมื่อนำสมการ $R(Z)$ ที่ได้จากการศึกษาไปทวนสอบความเข้มน้ำฝนกับข้อมูลเหตุการณ์ฝนทั้งหมดของข้อมูลค่าการสะท้อนกลับ (Z) ที่สอดคล้องกับข้อมูลตรวจวัดฝนจากสถานีวัดน้ำฝนของกรมอุตุนิยมวิทยาที่ระดับความสูง ๑.๗๙๕ กิโลเมตรในวันที่มีฝนตกระหว่างเดือนมีนาคม ถึง สิงหาคม พ.ศ. ๒๕๕๗ จำนวน ๑๐๖ เหตุการณ์ค่า RMSE ที่ได้มีค่าเท่ากับ ๖.๘๘๙ mm/hr

๙.๓ การคัดเลือกสมการการประเมินฝนที่เหมาะสมสำหรับสถานีเรดาร์ฝนหลวงสัตหีบ

การคัดเลือกสมการการประเมินฝนที่เหมาะสมสำหรับสถานีเรดาร์ฝนหลวงสัตหีบ ให้พิจารณาจากค่า RMSE ระหว่างฝนจากเรดาร์และฝนจากสถานีวัดน้ำฝนสำหรับเหตุการณ์ฝนที่ใช้ในการวิเคราะห์พารามิเตอร์ของสมการ $R(Z)$ และเหตุการณ์ฝนที่ใช้ในการทวนสอบความเข้มน้ำฝนในการประยุกต์ใช้สมการต่างๆ โดยหลักเกณฑ์ที่ใช้เพื่อคัดเลือกสมการการประเมินฝนที่เหมาะสมสำหรับเรดาร์สัตหีบมีดังต่อไปนี้ (กรมฝนหลวงและการบินเกษตร, ๒๕๕๗)

(๑) สมการการประเมินฝนที่เหมาะสมสำหรับเรดาร์สัตหีบจะต้องทำให้ได้ค่า RMSE ของการสอบเทียนและทวนสอบน้อยที่สุดโดยเปรียบเทียบค่า RMSE ของสมการ $R(Z)$ กับสมการ $Z = ๒๐๐R^{๐.๔}$ และ $Z = ๓๐๐R^{๐.๔}$

(๒) ในกรณีที่ไม่เป็นไปตามข้อที่ (๑) ให้พิจารณาว่าสมการ $R(Z)$ ที่เหมาะสมคือสมการที่ทำให้ค่า RMSE ของเหตุการณ์ฝนที่ใช้ในการทวนสอบมีค่าน้อยที่สุดจากหลักเกณฑ์ข้างต้นทำให้สามารถสรุปสมการที่เหมาะสมสำหรับใช้ในการประเมินฝนของสถานีเรดาร์ฝนหลวงสัตหีบ ได้ดังตารางที่ ๙-๒

ตารางที่ ๙-๒ ผลการวิเคราะห์สมการความสัมพันธ์ในการประเมินฝนของสถานีเรดาร์ฝนหลวงสัตหีบ

เหตุการณ์	ระดับความสูง (กิโลเมตร)	จำนวนคู่ Z-R (N_{ZR})	RMSE (mm/hr)		
			$Z = ๒๐๐R^{๐.๔}$	$Z = ๓๐๐R^{๐.๔}$	$Z = ๕๐๐R^{๐.๖}$
สอบเทียน ข้อมูลน้ำฝน DRRAA ปี พ.ศ. ๒๕๕๗ ๑๐๖ เหตุการณ์	๑.๐๐	๔๗๖	๔.๕๖๔	๔.๖๙๐	๔.๖๔๓
	๑.๗๕	๗๓๑	๔.๕๖๖	๔.๖๓๕	๔.๕๖๙
	๒.๕	๗๓๔	๔.๖๓๙	๔.๗๒๐	๔.๖๓๗
	๓.๒๕	๗๔๑	๔.๘๐๕	๔.๙๐๗	๔.๗๗๕
	All	๒,๖๘๒	๔.๖๔๙	๔.๗๔๔	๔.๖๕๗
ทวนสอบ ข้อมูลน้ำฝน MET ปี พ.ศ. ๒๕๕๗ ๑๐๖ เหตุการณ์	๑.๐๐	๑,๒๙๕	๗.๑๑๒	๗.๒๑๔	๗.๑๓๒
	๑.๗๕	๔,๐๗๖	๖.๙๙๔	๗.๐๙๗	๗.๐๑๖
	๒.๕	๔,๐๗๓	๖.๙๙๗	๗.๐๙๗	๗.๐๐๙
	๓.๒๕	๓,๙๗๓	๗.๐๑๒	๗.๑๗๙	๗.๐๓๓
	All	๓,๔๓๗	๗.๐๐๙	๗.๑๑๓	๗.๐๓๐

จากตารางที่ ๙-๒ จะเห็นได้ว่าการประเมินฝนโดยใช้สมการ $R(Z)$ ให้ผลการประเมินฝนที่มีความถูกต้องมากที่สุดเมื่อเทียบกับการประเมินด้วยสมการ $Z = ๒๐๐R^{๐.๔}$ และ $Z = ๓๐๐R^{๐.๔}$ ที่กรมฝนหลวงและการบินเกษตรใช้อยู่ในปัจจุบันโดย พนว่า

การประเมินฝนโดยใช้สมการ $Z = ๒๐๐R^{๐.๔}$ ให้ผลการประเมินฝนที่มีความถูกต้องมากกว่าการประเมินฝนด้วย สมการ $Z = ๒๐๐R^{๐.๖}$ และ $Z = ๓๐๐R^{๐.๔}$ เนื่องจากค่า RMSE ที่ได้จากการประเมินโดยใช้

สมการ $R(Z)$ สำหรับเหตุการณ์สอบเที่ยบและเหตุการณ์ทวนสอบที่ทุกระดับความสูงมีค่าความคลาดเคลื่อนน้อยกว่าห้าส่วนร้อย อย่างไรก็ตามสมการ $R(Z)$ ที่ได้จากการศึกษาจะต้องมีการตรวจสอบความเชื่อมั่น เพื่อเพิ่มความน่าเชื่อถือในการใช้สมการดังกล่าวในการประเมินฝนในพื้นที่ศึกษาต่อไป

๕.๔ ผลการตรวจสอบความเชื่อมั่นสมการการประเมินฝนที่เหมาะสมสำหรับสถานีเรดาร์ฝนหลวงสัตหีบ

การตรวจสอบความเชื่อมั่นของการประยุกต์ใช้สมการการประเมินฝนที่ได้จากการศึกษาทำได้โดยการพิจารณาผลการวิเคราะห์ข้อมูลเหตุการณ์ฝนที่ใช้ในการสอบเที่ยบเพื่อหาสมการความสัมพันธ์ $R(Z)$ และเหตุการณ์ฝนที่ใช้ทวนสอบ (Verification) ความเชื่อมั่นในการประยุกต์ใช้สมการ $R(Z)$ ในการประเมินฝนซึ่งรายละเอียดของการตรวจสอบความเชื่อมั่นในการใช้สมการที่เสนอแนะ มีดังต่อไปนี้

(๑) เปรียบเที่ยบความเข้มฝนจากเรดาร์ที่ได้จากการใช้สมการ $R(Z)$ ใน การประเมินฝนกับความเข้มฝนจากสถานีวัดน้ำฝนจากสถานีวัดน้ำฝนของกรมฝนหลวงและการบินเกษตรสำหรับเหตุการณ์ฝนที่ใช้ในการสอบเที่ยบในวันที่มีฝนตก ระหว่างเดือนมีนาคม ถึง สิงหาคม พ.ศ. ๒๕๕๗ ดังแสดงในรูปที่ ๕-๒ และเหตุการณ์ฝนจากสถานีวัดน้ำฝนของกรมอุตุนิยมวิทยาที่ใช้ในการทวนสอบในวันที่มีฝนตก ระหว่างเดือนมีนาคม ถึง สิงหาคม พ.ศ. ๒๕๕๗ ดังแสดงในรูปที่ ๕-๓

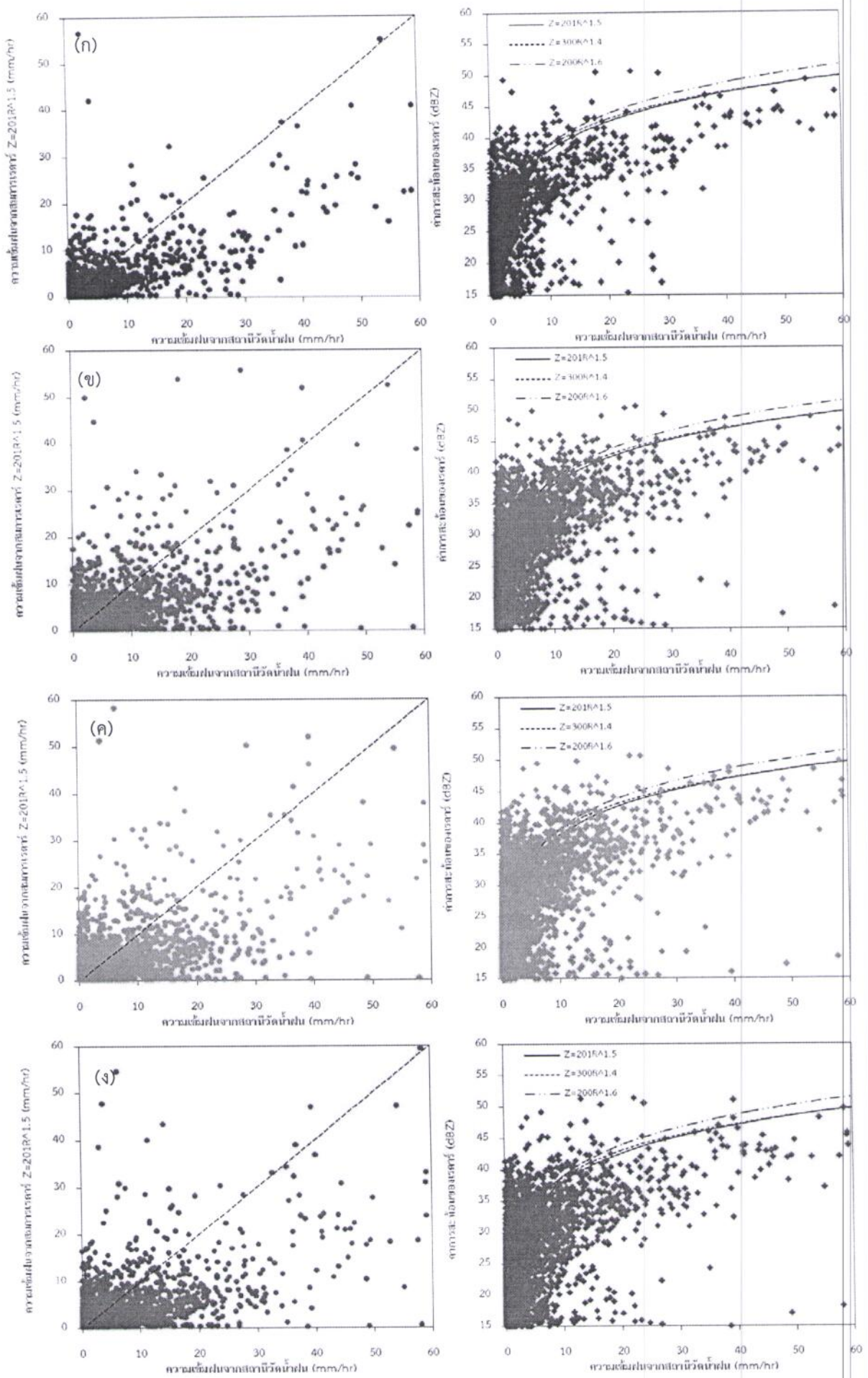
(๒) เปรียบเที่ยบค่าความล้าเฉียงของฝนจากเรดาร์ที่ได้จากการใช้สมการ $R(Z)$, $Z = ๒๐๐R^{0.1}$ และ $Z = ๓๐๐R^{0.1}$ กับฝนจากสถานีวัดน้ำฝน (อัตราส่วน G/R) ดังแสดงในตารางที่ ๕-๓

(๓) เปรียบเที่ยบเปอร์เซ็นต์ความถูกต้องที่เพิ่มขึ้นของการใช้สมการการประเมินฝน $R(Z)$ เทียบกับสมการ $Z = ๒๐๐R^{0.1}$ และ $Z = ๓๐๐R^{0.1}$ ดังแสดงในตารางที่ ๕-๔

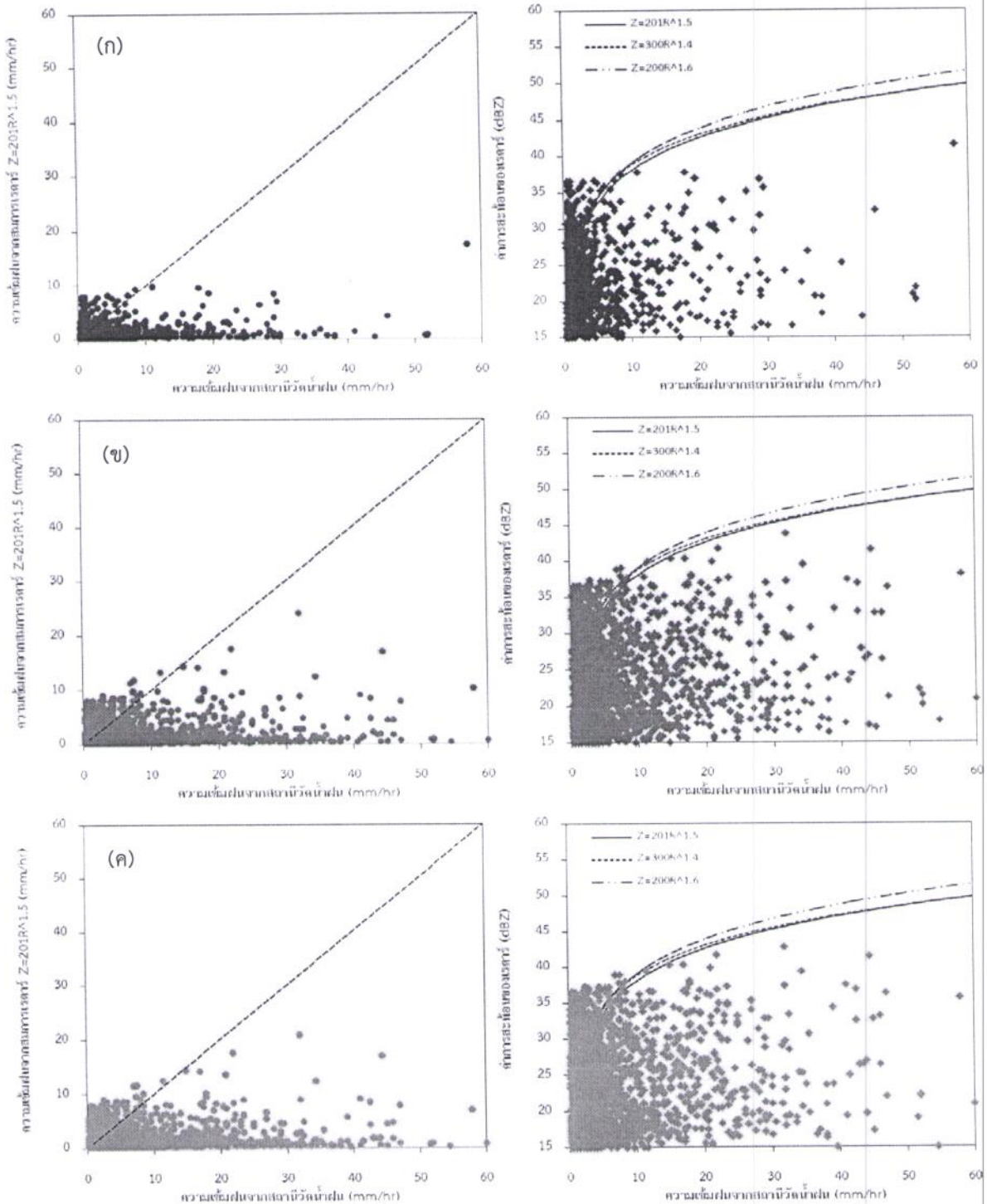
ตารางที่ ๕-๓ การเปรียบเที่ยบอัตราส่วน G/R ที่ได้จากการความสัมพันธ์ในการประเมินฝนของสถานีเรดาร์ ฝนหลวงสัตหีบ

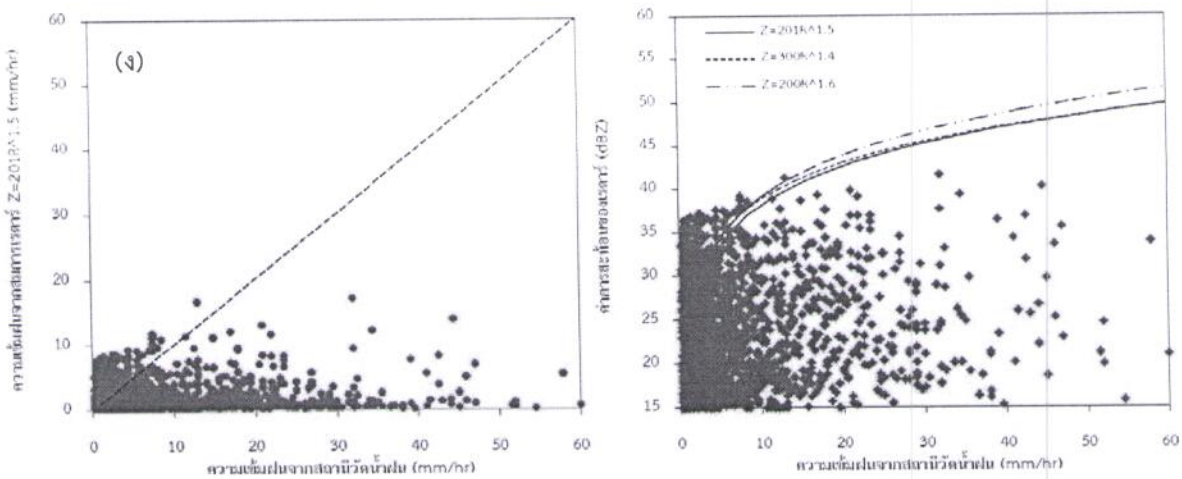
เหตุการณ์	ระดับความสูง (กิโลเมตร)	จำนวนครั้ง Z-R (N_{ZR})	G/R		
			$Z = ๒๐๐R^{0.1}$	$Z = ๓๐๐R^{0.1}$	$Z = ๔๐๐R^{0.1}$
สอบเที่ยบ ข้อมูลน้ำฝน DRRAA ปี พ.ศ.๒๕๕๗ ๑๐๕ เหตุการณ์	๑.๐๐	๔๗๖	๑.๒๑๗	๑.๔๔๐	๑.๓๓๔
	๑.๗๕	๗๓๓	๑.๑๙๐	๑.๔๐๗	๑.๓๐๖
	๒.๕	๗๓๔	๑.๑๙๘	๑.๔๐๔	๑.๓๐๗
	๓.๒๕	๗๔๑	๑.๒๑๑	๑.๔๗๒	๑.๓๕๙
	All	๒,๖๘๒	๑.๒๐๘	๑.๔๙๙	๑.๓๒๕
ทวนสอบ ข้อมูลน้ำฝน MET ปี พ.ศ.๒๕๕๗ ๑๐๖ เหตุการณ์	๑.๐๐	๑.๒๙๕	๑.๒๓๒	๑.๔๐๔	๑.๓๔๖
	๑.๗๕	๔,๐๖	๒.๔๐๙	๓.๖๖๒	๓.๐๓๓
	๒.๕	๔,๐๗๓	๒.๔๐๕	๓.๖๕๘	๓.๐๒๙
	๓.๒๕	๓.๙๙๓	๒.๔๗๒	๓.๗๔๙	๓.๐๙๔
	All	๑๓,๔๗๗	๒.๔๕๕	๓.๗๒๖	๓.๐๗๘

จากตารางที่ ๕-๓ สามารถยืนยันได้ว่าค่า G/R ที่ได้จากการใช้สมการ $R(Z)$ มีค่าใกล้เคียง มากกว่า G/R ที่ได้จากการใช้สมการ $Z = ๒๐๐R^{0.1}$ และ $Z = ๓๐๐R^{0.1}$ ทั้งในกรณีของเหตุการณ์ฝนที่ใช้ในการสอบเที่ยบและทวนสอบ ด้วยเหตุนี้จึงส่งผลให้เปอร์เซ็นต์ความถูกต้องที่เพิ่มขึ้นในการประเมินฝนจากเรดาร์ด้วยสมการ $R(Z)$ มีเปอร์เซ็นต์ความถูกต้องที่เพิ่มขึ้นสูงสุด เมื่อเทียบกับการประเมินฝนจากเรดาร์ด้วยสมการ $Z = ๒๐๐R^{0.1}$ และ $Z = ๓๐๐R^{0.1}$ ดังแสดงในตารางที่ ๕-๔



รูปที่ ๙-๒ แสดงความสัมพันธ์ของเหตุการณ์ฝนที่ระดับความสูง (ก) ๑.๐, (ข) ๑.๗, (ค) ๒.๕ และ (ง)
 ๓.๒๕ กิโลเมตร (ซ้าย) เปรียบเทียบค่าการสะท้อนกลับของเรดาร์ (dBZ) กับความเข้มฝนจากเรดาร์จากสมการ
 ที่งา. $Z = 2018R^{1.5}$, $Z = 300R^{1.4}$ และ $Z = 200R^{1.6}$ (mm/hr^{-1}) กับความเข้มฝนจากสถานีวัดฝน (mm/hr)
 (ขวา)





รูปที่ ๔-๓ แสดงความสัมพันธ์ของเหตุการณ์ทวนสوبที่ระดับความสูง (ก). ๑.๐, (ข). ๑.๗๕, (ค). ๒.๕ และ (ง). ๓.๒๕ กิโลเมตร (ข่าย) เปรียบเทียบค่าการสะท้อนกลับของเรดาร์ (dBZ) กับความเข้มฝนจากเรดาร์จากสมการต่างๆ $Z = 200R^{1.5}$, $Z = 200R^{1.4}$ และ $Z = 200R^{1.6}$ (mm/hr) กับความเข้มฝนจากสถานีวัดฝน (mm/hr) (ขวา)

ตารางที่ ๔-๔ ผลเปอร์เซ็นต์ความถูกต้องของสมการความสัมพันธ์ในการประเมินฝนของสถานีเรดาร์ฝนหลวงสัตหีบ เมื่อเทียบกับสมการ $Z = 200R^{1.4}$ และ $Z = 300R^{1.4}$

สมการประเมินฝน	เหตุการณ์	ระดับความสูง (กิโลเมตร)	เปอร์เซ็นต์ (%) ความถูกต้องที่เพิ่มขึ้นเมื่อเทียบกับสมการ $Z = 300R^{1.4}$		เปอร์เซ็นต์ (%) ความถูกต้องที่เพิ่มขึ้นเมื่อเทียบกับสมการ $Z = 200R^{1.4}$	
			RMSE	G/R	RMSE	G/R
$Z = 200R^{1.4}$	สอบเทียบข้อมูลน้ำฝน DRRAA ปี พ.ศ.๒๕๕๗ ๑๐๕ เหตุการณ์	๑.๐๐	๒.๘	๑๙.๓	๑.๗	๙.๖
		๑.๗๕	๒.๐	๑๙.๒	๐.๔	๙.๗
		๒.๕	๑.๗	๑๙.๑	๐.๐	๙.๙
		๓.๒๕	๒.๑	๑๙.๖	-๐.๖	๙.๕
		All	๒.๑	๑๙.๓	๐.๒	๙.๗
	ทวนสอบข้อมูลน้ำฝน MET ปี พ.ศ.๒๕๕๗ ๑๐๖ เหตุการณ์	๑.๐๐	๑.๔	๒๗.๐	๐.๓	๓.๕
		๑.๗๕	๑.๔	๒๕.๙	๐.๓	๔.๓
		๒.๕	๑.๔	๒๕.๙	๐.๓	๔.๒
		๓.๒๕	๑.๔	๒๖.๑	๐.๓	๔.๑
		All	๑.๔	๒๖.๑	๐.๓	๔.๒

ผลการศึกษาสรุปได้ว่าการประเมินฝนโดยใช้สมการ $R(Z)$ ให้ผลการประเมินฝนเรดาร์ที่มีความถูกต้องมากกว่าการใช้สมการอื่นๆ ดังนั้น สมการ $R(Z)$ สามารถนำไปประยุกต์ใช้ในในการประเมินปริมาณฝนจากการภูมิติดการฝนหลวงและสามารถนำไปแสดงผลความเข้มฝนที่ประเมินได้จากเรดาร์สำหรับสถานีเรดาร์ฝนหลวงสัตหีบต่อไป

๑๐. สรุปผลการการศึกษา

๑๐.๑ การวิเคราะห์หาสมการความสัมพันธ์ระหว่างข้อมูลความเข้มฝนและค่าการสะท้อนกลับของเรดาร์ โดยการหาสมการความสัมพันธ์ระหว่างความเข้มฝนและค่าการสะท้อนกลับของเรดาร์ที่เหมาะสมในการ

ประเมินฝนสำหรับสถานีเรดาร์สัตหิน ข้อมูลค่าการสะท้อนกลับของเรดาร์ (Z) ที่เลือกในกริดข้อมูลเดียวกันกับสถานีวัดน้ำฝนณ ช่วงเวลาเดียวกัน ที่ระดับความสูงที่เหมาะสมและต้องเป็นระดับความสูงในการตรวจวัดฝนที่ เรดาร์สามารถตรวจจับได้ใกล้เคียงกับฝนที่ตรวจจับโดยสถานีวัดน้ำฝนมากที่สุดและสามารถหลีกเลี่ยงสัญญาณ ที่เกิดจากการสะท้อนจากพื้นดิน (Ground Clutters) ในระดับต่ำได้เนื่องจากพื้นที่ในภาคตะวันออกส่วนใหญ่ เป็นพื้นที่ราบลุ่มสลับแนวเขา โดยใช้ข้อมูลเหตุการณ์ฝน แบ่งเป็น ๒ กลุ่ม

๑). กลุ่มแรก คือ ข้อมูลเหตุการณ์ฝนที่นำมาใช้ในการสอบเทียน (Calibration) ใช้สำหรับการ ทดสอบความสัมพันธ์ระหว่างความเข้มฝนและค่าพารามิเตอร์ Z เพื่อใช้ในการประเมินฝนซึ่งประกอบไปด้วย เหตุการณ์ฝนทั้งหมดของข้อมูลค่าการสะท้อนกลับ (Z) ที่สอดคล้องกับข้อมูลตรวจวัดฝนจากสถานีวัดน้ำฝนของ กรมฝนหลวงและการบินเกษตร ในวันที่มีฝนตก ระหว่างเดือนมีนาคม ถึง สิงหาคม พ.ศ. ๒๕๕๗ จำนวน ๑๐๕ เหตุการณ์

๒). กลุ่มที่สอง คือ ข้อมูลเหตุการณ์ฝนที่นำมาใช้ในการทวนสอบ (Verification) เพื่อนำมา ทวนสอบความเชื่อมั่นในการประยุกต์ใช้สมการการประเมินฝนจากข้อมูลในกลุ่มแรกข้อมูลเหตุการณ์ฝนที่เลือก ได้แก่ เหตุการณ์ฝนทั้งหมดของข้อมูลค่าการสะท้อนกลับ (Z) ที่สอดคล้องกับข้อมูลตรวจวัดฝนจากสถานีวัดน้ำฝน ของกรมอุตุนิยมวิทยาในวันที่มีฝนตก ระหว่างเดือนมีนาคม ถึง สิงหาคม พ.ศ. ๒๕๕๗ จำนวน ๑๐๖ เหตุการณ์ โดยสมการความสัมพันธ์ระหว่างความเข้มฝนและค่าการสะท้อนกลับของเรดาร์ในวันที่มีฝนตก สำหรับสถานีเรดาร์สัตหินได้แก่สมการ R(Z) คือ $Z = 200R^{0.1}$ โดยในการวิเคราะห์หาสมการความสัมพันธ์จาก การกำหนดเมื่อไหร่ในการพิจารณา ดังนี้

- ค่าการสะท้อนกลับของเรดาร์ (Z) มีค่าอยู่ในช่วง ๑๕ dBZ < Z < ๕๓ dBZ โดยถ้า $Z > ๕๓$ dBZ จะถูกกำหนดให้เท่ากับ ๕๓ dBZ

- ความเข้มฝน (R) ที่ตรวจจับได้จากสถานีวัดน้ำฝนต้องมีค่ามากกว่าหรือเท่ากับ Gauge Resolution คือ $R \geq 0.1 \text{ mm/hr}^{-1}$

๑๐.๒. การศึกษาความคลาดเคลื่อนของการประเมินฝนที่ได้จากสมการความสัมพันธ์ระหว่างความเข้มฝน และค่าการสะท้อนกลับของเรดาร์ พนว่าการประเมินฝนโดยใช้สมการ R(Z) หรือ $Z = 200R^{0.1}$ ให้ค่า ความคลาดเคลื่อนในการประเมินฝนน้อยกว่าการประเมินฝนโดยใช้สมการ $Z = 600R^{0.1}$ และ $Z = 300R^{0.1}$ ที่กรมฝนหลวงและการบินเกษตรใช้อยู่ในปัจจุบัน โดยมีค่า RMSE น้อยที่สุดและค่า G/R ใกล้เคียง ๑ มากที่สุด ทั้งเหตุการณ์สอนเทียนและเหตุการณ์ทวนสอบ

๑๐.๓. การคัดเลือกสมการการประเมินฝนที่เหมาะสมสำหรับสถานีเรดาร์ฝนหลวงสัตหินให้พิจารณา จากค่า Root Mean Square Error (RMSE) ของการประเมินฝนเรดาร์จากสมการ R(Z) สำหรับเหตุการณ์ฝน ที่ใช้ในการสอบเทียนและทวนสอบที่น้อยที่สุด ซึ่งมีรายละเอียดของผลการศึกษาดังนี้

๑). การประเมินฝนโดยใช้สมการ R(Z) ให้ผลการประเมินฝนที่มีความถูกต้องมากกว่าการ ประเมินฝนด้วยสมการ $Z = 600R^{0.1}$ และ $Z = 300R^{0.1}$ ที่กรมฝนหลวงและการบินเกษตรใช้อยู่ในปัจจุบัน เมื่อจากค่า RMSE ที่ได้จากการประเมินฝน โดยใช้สมการ R(Z) สำหรับเหตุการณ์สอนเทียนและเหตุการณ์ ทวนสอบมีค่าน้อยกว่าการประเมินฝนด้วย $Z = 200R^{0.1}$ และ $Z = 300R^{0.1}$

๒). เปอร์เซ็นต์ความถูกต้องที่เพิ่มขึ้นในการประเมินฝนจากเรดาร์โดยใช้ สมการ R(Z) มี เปอร์เซ็นต์ความถูกต้องที่เพิ่มขึ้นสูงสุดเมื่อเทียบกับการประเมินฝนจากเรดาร์ด้วยสมการ $Z = 200R^{0.1}$ และ $Z = 300R^{0.1}$

๑๑. ข้อเสนอแนะ

๑๑.๑. ระบบเรดาร์ตรวจอากาศที่ใช้งานควรมีการนำร่องรักษาและน้อมย่างเป็นระบบ เปิดใช้งานอย่าง ต่อเนื่อง ๒๔ ชั่วโมง และมีความเป็นมาตรฐานในการปฏิบัติงาน ทั้งนี้เพื่อสร้างความต่อเนื่องในการพัฒนาระบบ การประเมินน้ำฝน และการใช้ประโยชน์จากการพยากรณ์ฝนทั้งการพยากรณ์แบบระยะสั้น และการพยากรณ์ แบบระยะปัจจุบัน (Nowcasting) ซึ่งจะเกิดประโยชน์ต่อการวางแผนปฎิบัติงาน และการประเมินผลกระทบ

ปฏิบัติการฝนหลวง เช่นพื้นที่ได้รับประโยชน์จากการปฏิบัติการฝนหลวง รวมทั้งการเตือนภัยน้ำท่วมเนน ฉับพลัน (Flash flooding) และการเตือนภัยสำหรับอากาศยานฝนหลวงในพื้นที่ภาคตะวันออก.....

๑๑.๒ กรมฝนหลวงและการบินเกษตรครัวดิตั้งระบบตรวจวัดปริมาณน้ำฝนด้วย Rain gauge แบบส่งข้อมูลอัตโนมัติ (Automatic telemetry system) เพื่อให้ข้อมูลมีความเป็นปัจจุบันและมีความต่อเนื่องเพื่อนำไปใช้ในการพัฒนาระบบการประเมินปริมาณน้ำฝน (Quantitative precipitation estimation; QPE) แบบ Real-time หากขึ้นรวมทั้งการนำปริมาณฝนที่ประเมินโดยเรดาร์มาใช้กับแผนจำลองทางอุทกวิทยาเพื่อใช้เป็นแนวทางในการประเมินปริมาณน้ำท่าโดยใช้ฝนจากเรดาร์ต่อไป.....

๑๑.๓ กรมฝนหลวงและการบินเกษตรมีแนวทางในการพัฒนาระบบการประเมินปริมาณน้ำฝน (Quantitative precipitation estimation; QPE) แบบ Real-time เพื่อการนำไปใช้ประโยชน์สำหรับการประเมินปริมาณน้ำฝนการกระจายตัวเชิงพื้นที่รวมทั้งใช้สำหรับการพยากรณ์อากาศเพื่อช่วยในการปฏิบัติการฝนหลวงได้อย่างมีประสิทธิภาพต่อไป.....

๑๑.๔ ข้อมูลสภาพเรดาร์ที่เก็บอยู่ในระบบฐานข้อมูลของกรมสามารถนำมาใช้ในการศึกษาพัฒนาระบบของสภาพอากาศในแต่ละพื้นที่ทำการตรวจวัดและใช้การศึกษาคุณลักษณะของกลุ่มฝนที่เกิดขึ้นในแต่ละท้องถิ่นเพื่อใช้เป็นแนวทางในการช่วยในการวางแผนและการประเมินผลการปฏิบัติการฝนหลวงได้.....

๑๒. ประโยชน์ที่ได้รับ

๑๒.๑ การพัฒนาแบบจำลองการคาดการณ์ปริมาณน้ำฝนด้วยเรดาร์ตรวจอากาศ (Z-R Relationship) สามารถเพิ่มความถูกต้องของการคาดการณ์ปริมาณน้ำฝนจากการปฏิบัติการฝนหลวงเชิงพื้นที่ในพื้นที่ภาคตะวันออกของประเทศไทยและเพิ่มประสิทธิภาพระบบประเมินผลพื้นที่รับประโยชน์จากการปฏิบัติการฝนหลวงของกรมฝนหลวงและการบินเกษตร ที่สามารถแสดงและเข้าถึงประมาณผลได้ผ่านทางระบบเครือข่ายอินเทอร์เน็ต.....

๑๒.๒ ได้องค์ความรู้ด้านเมฆฟิสิกส์ (Cloud Macrophysics) และพัฒนาระบบที่สำคัญของกลุ่มเมฆฝน พายุฝนในพื้นที่ภาคตะวันออกของประเทศไทย ซึ่งเป็นข้อมูลพื้นฐานเชิงพื้นที่ที่สำคัญในการเพิ่มประสิทธิภาพของกระบวนการปฏิบัติการฝนหลวงประจำวัน ได้แก่ การวางแผน การปฏิบัติการ และการติดตามประเมินผลการปฏิบัติการฝนหลวงประจำวัน.....

ขอรับรองว่าผลงานดังล่าข้างต้นเป็นความจริงทุกประการ

ลงชื่อ.....



(นายภักดี จันทร์กษิ)

ผู้เสนอผลงาน

๒๒ / สิงหาคม / ๒๕๖๐

ขอรับรองว่าสัดส่วนหรือลักษณะงานในการดำเนินการของผู้เสนอข้างต้นถูกต้องตรงกับความเป็นจริงทุกประการ

ลงชื่อ.....



ลงชื่อ.....

(นายฉันติ เดชโยธิน.)

(.....)

ผู้ร่วมดำเนินการ

ผู้ร่วมดำเนินการ

๒๒ / สิงหาคม / ๒๕๖๐

...../...../.....

ลงชื่อ..... ลงชื่อ.....
(.....) (.....)
ผู้ร่วมดำเนินการ ผู้ร่วมดำเนินการ
...../...../...../...../.....

ได้ตรวจสอบแล้วขอรับรองว่าผลงานดังกล่าวข้างต้นถูกต้องตรงกันกับความเป็นจริงทุกประการ

ลงชื่อ..... ลงชื่อ.....
(.....) (.....)
ตำแหน่ง..... ผู้อำนวยการกองปฏิบัติการฝันหวาน
...../...../..... นายปนิธิ เสนอวงศ์
...../...../..... ๒๖ สค. ๒๕๖๐

(ผู้บังคับบัญชาที่ควบคุมดูแลการดำเนินการ)

หัวข้อเด้าโครงเรื่องของงานที่เสนอในขั้นตอนการพิจารณาคัดเลือกบุคคลเพื่อส่งผลงานประมีน
ในตำแหน่งนักวิทยาศาสตร์เชี่ยวชาญ
(กรณีลักษณะงานวิชาการ)
เรื่องที่ ๒

๑. ชื่อผลงาน การวิเคราะห์คุณลักษณะของพายุลูกเห็บในช่วงฤดูร้อนของประเทศไทย (Characteristics of Hailstorm over Northern Thailand during Summer Season).....

๒. บทคัดย่อ

การวิจัยฯ นี้มีวัตถุประสงค์ เพื่อศึกษาค่าดัชนีเสถียรภาพของอากาศ (Stability Indices) และตัวแปรทางอุตุนิยมวิทยาจากการตรวจอากาศประจำวัน คุณลักษณะของพายุลูกเห็บเปรียบเทียบกับคุณลักษณะของพายุฝน/กลุ่มฝน ค่าตัวแปรที่ได้จากการตรวจด้วยเรดาร์แนวโพราไรเซชันคู่ (Dual Polarization) ที่บังคับใช้ เหตุการณ์เกิดพายุลูกเห็บในช่วงฤดูร้อนบริเวณภาคเหนือประเทศไทย ระหว่างเดือนเมษายน ถึงพฤษภาคม พ.ศ. 2555 อันนำไปสู่การสร้างกระบวนการเรียนรู้คุณสมบัติและพฤติกรรมของพายุฝน และการเกิดพายุลูกเห็บ รวมทั้งการพัฒนาการดัดแปลงสภาพอากาศเพื่อการยับยั้งพายุลูกเห็บในพื้นที่ภาคเหนือ ซึ่งมักประสบปัญหาการเกิดพายุลูกเห็บในช่วงฤดูร้อนจนทำให้เกิดความเสียหายต่อน้ำเรือนในชุมชน รวมทั้งพื้นที่เกษตรกรรมเป็นประจำทุกปี ใน การศึกษาครั้งนี้ได้ใช้ข้อมูลจากเรดาร์ตรวจอากาศผ่านหลังอมกอย และสถานีตรวจอากาศชั้นบน อำเภออมกอย จังหวัดเชียงใหม่ จากการศึกษาความสัมพันธ์ระหว่างค่าดัชนีเสถียรภาพของอากาศ (Stability Indices) และตัวแปรทางอุตุนิยมวิทยา จำนวน 43 วัน โดยแบ่งเป็นเหตุการณ์วันที่เกิดพายุลูกเห็บ (7 วัน) เปรียบเทียบกับค่าเฉลี่ยตัวแปรคุณลักษณะของวันที่ไม่มีเหตุการณ์ลูกเห็บ (36 วัน) พนวณว่า ตัวแปรที่เหมาะสมสำหรับใช้ในการพยากรณ์สภาพอากาศของการเกิดพายุลูกเห็บ ประกอบด้วย ค่าเสถียรภาพของชั้นบรรยากาศระดับต่ำ (LI) และค่าเสถียรภาพของชั้นบรรยากาศระดับกลาง (SI) และค่าพลังงานในการยกตัวของอากาศ (CAPE) จากการเปรียบเทียบข้อมูลของเหตุการณ์ที่เกิดพายุลูกเห็บเปรียบเทียบกับวันที่เกิดพายุฝน หรือพายุฝนฟ้าคะนองโดยทั่วไปในช่วงฤดูร้อน ระหว่างเดือนเดือนเมษายน และพฤษภาคม 2555 ในพื้นที่ภาคเหนือ พนวณว่า ค่า LI SI และ CAPE ในวันที่เกิดพายุลูกเห็บมีค่าสูงกว่าค่าเฉลี่ยของวันที่เกิดพายุฝนปกติในทุกเหตุการณ์ โดยค่า LI และ SI มีค่าอยู่ระหว่าง -1 ถึง -4 และค่า CAPE มีค่ามากกว่า 2,500 J/kg

การศึกษาคุณลักษณะของพายุลูกเห็บเปรียบเทียบกับคุณลักษณะของพายุฝน/กลุ่มฝน โดยใช้ TITAN (Thunderstorm Identification and Tracking Analysis and Nowcasting) เพื่อวิเคราะห์คุณลักษณะของพายุลูกเห็บและพายุฝนในวันที่เกิดเหตุการณ์ลูกเห็บ จำนวน 7 ตัวแปร ได้แก่ ช่วงอายุ ความเร็ว นริมาตร มวลขนาด ค่าการสะท้อนเฉลี่ย/สูงสุด และความเร็วในการเคลื่อนที่จากชุดเหตุการณ์ที่คัดเลือกเพื่อใช้ในการวิเคราะห์ จำนวน 7 วัน แบ่งเป็น เหตุการณ์ที่เกิดพายุฝน/กลุ่มฝน จำนวน 1,129 เหตุการณ์ และเหตุการณ์ที่เกิดพายุลูกเห็บ จำนวน 12 เหตุการณ์ พนวณว่า ตัวแปรของเหตุการณ์ที่เกิดพายุลูกเห็บมีค่ามากกว่าเหตุการณ์พายุฝนปกติในทุกเหตุการณ์ ยกเว้นตัวแปรค่าการสะท้อนเฉลี่ยไม่มีความแตกต่างกันอย่างมีนัยสำคัญ และกรณีศึกษาค่าตัวแปรที่ได้จากการตรวจด้วยเรดาร์แนวโพราไรเซชันคู่ (Dual Polarization) กับเหตุการณ์เกิดพายุลูกเห็บของเหตุการณ์การเกิดพายุลูกเห็บ ณ อำเภอเชียงม่วน จังหวัดพะเยา เมื่อวันที่ 27 เมษายน 2555 จากการศึกษาค่าตัวแปรต่างๆ พนวณว่า ตัวแปรสำคัญที่บ่งชี้คุณลักษณะของการเกิดพายุลูกเห็บ ได้แก่ ค่าความนำจะเป็นในการเกิดลูกเห็บ (Hail Prob) มีค่า 100% ค่าบริมาตรน้ำทางแนวตั้ง (VIL) มีค่ามากกว่า 100 kg/m² ค่าการสะท้อนกลับของกลุ่มฝนในแนวระดับ (ZDR) มีค่าเข้าใกล้ศูนย์ ความสูงยอดเมฆมากกว่า 17 กิโลเมตร ค่า

Correlation Coefficient (CC) มีค่าอยู่ระหว่าง 0.988 ถึง 0.996 และค่า Specific Differential Phase (KDP) อยู่ระหว่าง 2.1 ถึง 3.2 deg/km

จากการศึกษาดังกล่าว กรมฝนหลวงและการบินเกษตรจึงใช้เป็นกรอบในการกำหนดแนวทางการปฏิบัติสำหรับการพยากรณ์การเกิดลูกเห็บเพื่อการวางแผนตัดสินใจในการกิจกรรมปฏิบัติการฝนหลวงในการยันยั้งพายุลูกเห็บประจำวันของพื้นที่ภาคเหนือในช่วงฤดูร้อน ได้ดังนี้ การพยากรณ์การเกิดพายุลูกเห็บประจำวัน สามารถแบ่งได้เป็น ๒ ระดับ ได้แก่ (๑) การพยากรณ์ศักยภาพของการเกิดลูกเห็บประจำวันโดยใช้ค่าดัชนีเสถียรภาพของอากาศ และตัวแปรทางอุตุนิยมวิทยาจากข้อมูลการตรวจอากาศชั้นบนประจำวันที่เวลา ๐๐ UTC (๗.๐๐ น. เวลาท้องถิ่น) และ (๒) การพยากรณ์ศักยภาพและคุณสมบัติของกลุ่มเมฆทางแนวตั้งที่มีโอกาสในการเกิดลูกเห็บในระยะปัจจุบัน (Nowcasting) โดยใช้ตัวแปรสำคัญที่มีชี้ลักษณะของการเกิดพายุลูกเห็บจากข้อมูล雷达ที่ตรวจอากาศแบบพร่าวไปเรื่อยๆ

(ภาษาอังกฤษ)

This study focused on the potential parameters, as a result of the upper-air sounding with radiosonde and of the dual polarization radar for detecting hailstorms. The data were collected during the 2012 summer, consisting of 12 hail and 1129 no-hail rainstorms of seven studied dates from April to May, 2012. They were analyzed to discern the character of hail and use them as data for detecting hail echoes and for severe weather forecast in upper Thailand. On the day of hail, the instability indices were high enough to contribute to its formation. The following indices include Lifted Index (LI), Showalter Index (SI) and Convective Available Potential Energy (CAPE). LI and SI displayed the marginally instability ranged -1 to -4. In the case of CAPE, it could reach the extreme instability (CAPE $> 2500 \text{ J/kg}$) and also came with the large updraft speed.

TITAN software (Thunderstorm Identification, Tracking, Analysis and Nowcasting) was also applied for comparing rainstorms with hailstorms. The significant seven echo characteristics included storm period, speed, mean-maximum reflectivity in the horizontal polarization (ZH), area, volume and mass. Based on the character and frequency distributions in summer, hailstorms had greater values of storm duration, area, volume, mass, speed and highest reflectivity than individual rainstorms. Besides, the mean reflectivity of the storms was a negligible factor to identify the type of storm.

For the case study on hail by determining polarimetric radar measurement at S-band across Chiang Mai, Northern Thailand, radar signatures with EDGE software showed that the hail was detected 100% during its falling. It also presented as followings: Vertically integrated liquid (VIL) exceeding 100 kg/m^2 , ZH over 60 dBZ near the surface and ETOP greater than 17 km. Differential reflectivity (ZDR) of rain-hail mixtures almost reached zero. In addition, the coincidental values of correlation coefficient (CC) were ranged 0.988 and 0.996, and specific differential phase (KDP) was ranged 2.1 and 3.2 deg/km.

According to the study, the department of royal rainmaking and agricultural aviation can use the results to provide a framework for establishing guidelines for hailstorm

forecasting in order to make a decision to carry out the rainmaking mission for the prevention of hail occurrences in northern Thailand during the summer. The hail storm forecasting for daily rainmaking operation can be divided into 2 steps as followed: (1) Forecasting of daily hail occurrences using atmospheric stability indices and the meteorological variables from daily upper air observation data at 00 UTC (or 7 am Local time). (2) Nowcasting of potential and properties of convective clouds using key variables that characterize hail storms from dual polarized radar data.

๓. หลักการและเหตุผล

พายุลูกเห็นเป็นภัยธรรมชาติที่มักเกิดขึ้นในช่วงฤดูร้อนของประเทศไทย โดยเฉพาะภาคเหนือและภาคตะวันออกเฉียงเหนือ ระหว่างเดือนมีนาคมถึงช่วงก่อนเริ่มต้นฤดูฝน (ประมาณกลางเดือนพฤษภาคม) ของทุกปี ซึ่งจะสร้างความเสียหายแก่ทรัพย์สิน อาคารบ้านเรือน ที่อยู่อาศัยต่างๆ ต้นไม้โคนล้ม รวมทั้งความเสียหายต่อพื้นที่การเกษตรต่างๆ พายุลูกเห็นจะเริ่มจากการพัฒนาตัวจากเมฆฝนทางแนวตั้ง (Cumulonimbus) มีการหมุนเวียนของอากาศแปรปรวนอย่างรวดเร็ว จนมีลักษณะเป็นพายุฝนฟ้าคะนอง (Thunderstorms) มีลมพายุพัดแรง จนทำให้เกิดลูกเห็นในพายุฝนด้วย จากการทบทวนวรรณกรรมในเรื่องนี้ สำหรับสาเหตุของการเกิดพายุลูกเห็นในประเทศไทย รวมทั้งตัวแปรทางสภาพอากาศที่นั่งนี้ลักษณะหรือพฤติกรรม และการคาดการณ์ลูกเห็นในประเทศไทยนั้น พนักงานศึกษาโดยการใช้ข้อมูลดังนี้เสถียรภาพของอากาศ (Stability Indices) และตัวแปรทางอุตุนิยมวิทยาต่างๆ จากการตรวจสอบอากาศชั้นบนเพื่อหาความสัมพันธ์กับการเกิดลูกเห็น และการศึกษาคุณสมบัติและพฤติกรรมของพายุลูกเห็นโดยใช้คุณสมบัติการสะท้อนกลับของเรดาร์ในประเทศไทย ยังคงไม่ปรากฏ อาจเป็นเพราะจำนวนครั้งของการเกิดพายุลูกเห็นของประเทศไทยในแต่ละปียังมีความน้อยและค่อนข้างผันแปร เมื่อเทียบกับประเทศทางโซน Mid-latitude เช่น ประเทศสาธารณรัฐประชาชนจีน สาธารณรัฐเชก หรือประเทศไทย เป็นต้น ปัจจัยโดยรวมทางสภาพอากาศในระดับ Synoptic Scale ที่เป็นสาเหตุของการเกิดพายุลูกเห็นในประเทศไทยเนื่องจากการแผลงของความกดอากาศสูงจากประเทศไทยลงมาบริเวณภาคเหนือและภาคตะวันออกเฉียงเหนือ ขณะที่ประเทศไทยตอนบนมีอากาศร้อนและมีความชื้นสูง รวมถึงการยกตัวของมวลอากาศ จึงทำให้มวลอากาศร้อนยกตัวขึ้นอย่างรวดเร็วทางแนวตั้งจนเกิด-men-micrometeorological conditions ให้เกิดลูกเห็นได้

กรมฝนหลวงและการนิเวศทร มีการกิจหลักที่สำคัญในการบริหารจัดการน้ำในชั้นบรรยายอากาศและการบรรเทาปัญหาภัยพิบัติ (หมอกควันและไฟป่าและการยับยั้งพายุลูกเห็น) ดังนั้นจึงต้องมีเครื่องมือตรวจอากาศแบบต่างๆ เพื่อใช้สนับสนุนการปฏิบัติงาน ประกอบด้วย เครื่องตรวจอากาศชั้นบน และเรดาร์ตรวจอากาศ เพื่อใช้ในการตรวจวัด ติดตาม และประเมินสถานการณ์สภาพอากาศอย่างต่อเนื่อง สำหรับการวางแผน ติดตาม และประเมินผลกระทบปฎิบัติการฝนหลวงประจำวัน กรมฝนหลวงและการนิเวศทรได้มีการใช้งานระบบการตรวจอากาศอย่างเป็นระบบ มาตั้งแต่ปี ๒๕๓๕ จนถึงปัจจุบัน ในการศึกษาได้ใช้ข้อมูลการตรวจอากาศชั้นบน (Atmospheric sounding) ด้วยวิทยุห้องอากาศ (Radiosonde) ที่ติดไปพร้อมกับนอลลูนตรวจอากาศเพื่อตรวจวัดสภาพอากาศในแนวตั้ง และการศึกษาprofile ของค่าตัวแปรต่างๆ ได้แก่ค่า อุณหภูมิ ความชื้น ความกดอากาศ ทิศทางและความเร็ว ลม โดยปกติจะทำการตรวจวัดตั้งแต่ระดับผิวน้ำถึงระดับประมาณ ๑๐,๘๐๐ มิลลิเมตร หรือประมาณ ๖๐,๐๐๐ ฟุต ค่าการตรวจวัดที่ได้ในระดับต่างๆ สามารถแปลงค่าเป็นดัชนีเสถียรภาพของอากาศ (Stability Indices) และตัวแปรทางอุตุนิยมวิทยาต่างๆ ที่สามารถใช้ในการพยากรณ์สภาพอากาศ เสถียรภาพของอากาศ และโอกาสการเกิดพายุฝนฟ้าคะนองได้ นอกจากนี้ยังมีการใช้ข้อมูลเรดาร์ตรวจอากาศแบบโพลาไรเซชันคู่ ซึ่งเป็นระบบการตรวจสภาพอากาศที่ได้รับความนิยมอย่างแพร่หลาย และมีความแม่นยำเพื่อใช้ในการตรวจสภาพอากาศ อีกที่ การตรวจวัดการเกิดกลุ่มฝนเมฆฝน พายุฝนฟ้าคะนอง และการตรวจวัดพายุลูกเห็นเพื่อใช้สำหรับ

ศึกษาลักษณะทางกายภาพ คุณสมบัติและพฤติกรรมของพายุฝน การพัฒนาตัวของกลุ่มฝน ช่วงอายุ ขนาด และลักษณะการเคลื่อนที่

การศึกษาและทำความเข้าใจและตัวแปรทางอุตุนิยมวิทยาต่าง ๆ และการพยากรณ์สภาพอากาศ สำหรับการเกิดภัยพิบัติ รวมทั้งการเข้าใจถึงคุณสมบัติและพฤติกรรมที่สำคัญของพายุฝนและพายุลูกเห็บ คุณสมบัติทาง Cloud Macrophysics ในประเทศไทยเป็นสิ่งสำคัญยิ่ง ส่งผลต่อการทำความเข้าใจ กระบวนการธรรมชาติที่เกี่ยวเนื่องกับกระบวนการเกิดเมฆฝน และการเกิดลูกเห็บ และมีส่วนสำคัญยิ่งต่อการนำไปพัฒนาประสิทธิภาพของการปฏิบัติการตัดแปลงสภาพอากาศเพื่อให้การบรรเทาปัญหาภัยพิบัติการยังยั่ง พายุลูกเห็บเป็นไปอย่างมีประสิทธิภาพและสามารถลดพายุกรณ์ และตรวจจับข้อมูลนี้ในการเกิดพายุให้ได้ข้อมูลที่ สามารถคาดการณ์เหตุการณ์พายุฝนฟ้าคะนอง และพายุลูกเห็บ สำหรับการปฏิบัติการกิจการยังลูกเห็บ มี ความถูกต้อง และแม่นยำยิ่งขึ้น ดังนั้นจึงมีความจำเป็นอย่างเร่งด่วนในการศึกษาวิจัยการวิเคราะห์คุณลักษณะ ของพายุลูกเห็บโดยใช้ข้อมูลการตรวจสอบอากาศชั้นบนประจำวันเพื่อในการพยากรณ์ลักษณะอากาศประจำวัน (Very Short-range Forecast) ร่วมกับลักษณะของการเปลี่ยนแปลงสภาพอากาศในระดับ Synoptic Scale รวมทั้งการใช้ข้อมูล雷达รูปแบบโพลาไรซ์ชั้นคู่ เพื่อคาดการณ์และประเมินสภาพอากาศระยะปัจจุบัน หรือ Nowcasting การศึกษานี้จะเกิดประโยชน์อย่างมากต่อการรวมของการจัดทำแผนภูมิติดตามประจำปี ในการ บรรเทาปัญหาภัยพิบัติได้อย่างเป็นรูปธรรม ทำให้เกิดความคุ้มค่าต่อการปฏิบัติการฝนหลวงและการตัดแปลง สภาพอากาศประจำวัน ตลอดจนสามารถการการริหารจัดการด้านภัยพิบัติพายุลูกเห็บกันหน่วยงาน อื่นๆ ที่เกี่ยวข้อง อาทิ กรมป้องกันและบรรเทาสาธารณภัย และกรมอุตุนิยมวิทยาในการประเมินสถานการณ์ เป็นต้น

๔. วัตถุประสงค์

- ๔.๑ เพื่อศึกษาความสัมพันธ์ระหว่างค่าดัชนีเสถียรภาพของอากาศ (Stability Indices) และตัวแปร ทางอุตุนิยมวิทยา ในวันที่เกิดพายุลูกเห็บในพื้นที่ภาคเหนือของประเทศไทยในช่วงฤดูร้อน
- ๔.๒ เพื่อศึกษาคุณลักษณะของพายุลูกเห็บเปรียบเทียบกับลักษณะของพายุฝน/กลุ่มฝน ในช่วงฤดูร้อน บริเวณภาคเหนือประเทศไทย โดยใช้ค่าการสะท้อนกลับของเรดาร์ (Radar Reflectivity)
- ๔.๓ เพื่อศึกษาค่าตัวแปรที่ได้จากการตรวจจับด้วย雷达รูปแบบโพลาไรซ์ชั้นคู่ (Dual Polarization) กับ เหตุการณ์เกิดพายุลูกเห็บในพื้นที่ภาคเหนือของประเทศไทยในช่วงฤดูร้อน
- ๔.๔ เพื่อนำผลการศึกษาไปประยุกต์ใช้การพยากรณ์การเกิดลูกเห็บ และการวางแผนตัดสินใจใน การกิจการปฏิบัติการฝนหลวงเพื่อการยับยั้งลูกเห็บในพื้นที่ภาคเหนือของประเทศไทยในช่วงฤดูร้อน

๕. ระยะเวลาและสถานที่ดำเนินการ

- ๕.๑ ระยะเวลาดำเนินการ ปี พ.ศ. ๒๕๕๕ – ๒๕๕๖
- ๕.๒ สถานที่ดำเนินการ กลุ่มวิชาการปฏิบัติการฝนหลวง กรุงเทพมหานคร, สถานีเรดาร์ฝนหลวง อุบลราชธานี เชียงใหม่ และ ศูนย์ฝนหลวงหัวหิน จ. ประจวบคีรีขันธ์

๖. ผู้ร่วมดำเนินการ (ถ้ามี)

- ๖.๑ นายฉันติ เดชโยธิน นักวิทยาศาสตร์ชำนาญการพิเศษ สัดส่วนผลงาน ร้อยละ ๕
- ๖.๒ นายสุกฤษณ์ กิตแสง นักอุตุนิยมวิทยาชำนาญการพิเศษ สัดส่วนผลงาน ร้อยละ ๕
- ๖.๓ นางสาวอริศรา นาคบุรี นักวิทยาศาสตร์ปฏิบัติงาน สัดส่วนผลงาน ร้อยละ ๕
- ๖.๔ นายไกษม มงคล นายช่างไฟฟ้าปฏิบัติงาน สัดส่วนผลงาน ร้อยละ ๕

๗. อุปกรณ์การทดลอง
- ๗.๑ ระบบเรดาร์ตรวจอากาศแบบดอพเพลอร์ โพราไรเซชั่นคู่ ความถี่ S Band ยี่ห้อ EEC โมเดล ๘๕๐๑R SIDPOL และโปรแกรม EDGE
- ๗.๒ โปรแกรม Thunderstorm Identification and Tracking Analysis and Nowcasting / the Cartesian Interactive Data Display (TITAN / CIDD)
- ๗.๓ เครื่องตรวจอากาศชั้นน้ำ ยี่ห้อ Vaisala โมเดล RT90A และเครื่องวิทยุที่อยู่บนอากาศ ยี่ห้อ Vailas โมเดล RS ๙๒-DL
- ๗.๔ โปรแกรม ArcGIS ๑๐.๕ for Desktop Version ๑๐.๕.๔๕๒๔

๘. ขั้นตอนและวิธีการดำเนินงาน

- ๘.๑ ศึกษางานวิจัยที่เกี่ยวข้องกับการศึกษาคุณลักษณะของพายุลูกเห็บโดยใช้ข้อมูลจากการตรวจสภาพอากาศชั้นน้ำด้วยวิทยุที่อยู่บนอากาศ และคุณสมบัติการสะท้อนกลับของ雷达ฯ จ้าวารสสารวิชาการที่ตีพิมพ์ทั่วไปและต่างประเทศ
- ๘.๒ รวมรวมข้อมูลเหตุการณ์ของการเกิดพายุลูกเห็บที่เกิดขึ้นระหว่างเดือนเมษายน ถึงพฤษภาคม พ.ศ. ๒๕๕๕ ของพื้นที่ภาคเหนือ ภายใต้รัศมีการตรวจวัดโดย雷达ฟันคลวงคอมก่ออย จังหวัดเชียงใหม่
- ๘.๓ รวมรวมข้อมูลค่าการสะท้อนกลับของ雷达ร.(Z) ที่ตรวจวัดได้จากสถานีเรดาร์ฟันคลวงคอมก่ออย ช่วงฤดูร้อน ระหว่างเดือนเมษายน ถึงพฤษภาคม พ.ศ. ๒๕๕๕ ในรูปแบบ Volume files (Universal volume file format; UF files)
- ๘.๔ การแปลงข้อมูล雷达ร. Volume files ด้วยโปรแกรม TITAN เป็นรูปแบบ Meteorological Data Volume (MDV) บนระบบพิกัดแนวค่าที่เพียง
- ๘.๕ ทำการแปลงข้อมูล MDV เป็น TITANStorm/Track files เพื่อใช้ในการศึกษาคุณสมบัติของพายุ ฝนและพายุลูกเห็บ
- ๘.๖ การประมวลผลค่าดัชนีเสถียรภาพของอากาศมาตรฐาน และตัวแปรทางอุตุนิยมวิทยาที่เกี่ยวข้อง กับการเกิดพายุลูกเห็บ
- ๘.๗ การตรวจสอบความถูกต้องของข้อมูลพายุฟันคลวงพายุลูกเห็บดัชนีเสถียรภาพและตัวแปรทางอุตุนิยมวิทยา
- ๘.๘ การวิเคราะห์ข้อมูลคุณสมบัติและค่าดัชนีเสถียรภาพของอากาศได้ในเนื้อต้น
- ๘.๙ การคัดเลือกเหตุการณ์วันที่เกิดพายุลูกเห็บในวันที่มีข้อมูล雷达ร. ค่าดัชนีเสถียรภาพและตัวแปรทางอุตุนิยมวิทยาจากการตรวจอากาศชั้นน้ำที่มีความสมบูรณ์
- ๘.๑๐ การวิเคราะห์หาความสัมพันธ์กับค่าดัชนีเสถียรภาพของอากาศ (Stability Indices) ตัวแปรทางอุตุนิยมวิทยาที่สำคัญ ในวันที่เกิดพายุลูกเห็บในช่วงฤดูร้อน พื้นที่ภาคเหนือของประเทศไทย
- ๘.๑๑ การวิเคราะห์เรียนเทียนคุณลักษณะหรือพฤติกรรมของพายุลูกเห็บที่สำคัญกับคุณลักษณะของพายุฝนในวันที่เกิดเหตุการณ์พายุลูกเห็บ ในช่วงฤดูร้อน พื้นที่ภาคเหนือของประเทศไทย
- ๘.๑๒ ทำกรณ์ศึกษาของวิเคราะห์ความสำคัญระหว่างค่าตัวแปรที่ได้จากการตรวจวัดด้วย雷达ร. แบบโพราไรเซชั่นคู่ (Dual Polarization) กับวันที่เกิดพายุลูกเห็บ ของอำเภอเชียงม่วน จังหวัดพะเยา วันที่ ๒๗ เมษายน พ.ศ. ๒๕๕๕
- ๘.๑๓ สรุปผลการศึกษาและเสนอข้อคิดเห็น
- ๘.๑๔ จัดทำบทวิจัยเผยแพร่
- ๘.๑๕ การประยุกต์ใช้ผลงานวิจัย

๔. ผลการการศึกษา

๔.๑. การศึกษาความสัมพันธ์ระหว่างค่าดัชนีเสถียรภาพของอากาศ (Stability Indices) และตัวแปรทางอุตุนิยมวิทยา ในวันที่เกิดพายุลูกเห็บในพื้นที่ภาคเหนือของประเทศไทยในช่วงฤดูร้อน.....

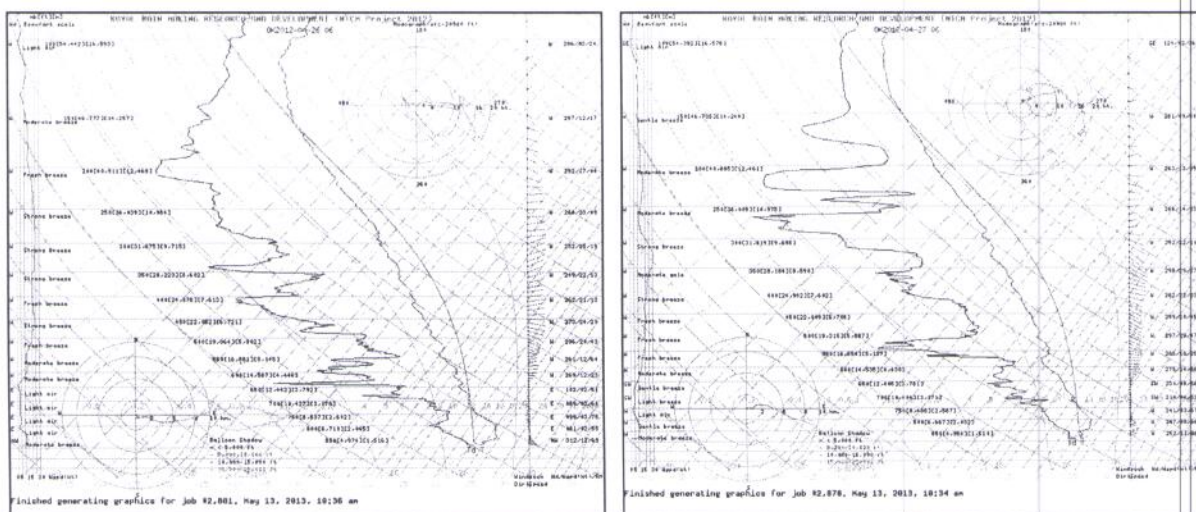
จากการศึกษางานวิจัยที่เกี่ยวข้องกับการศึกษาคุณลักษณะของพายุลูกเห็บโดยใช้ข้อมูลจาก การตรวจสอบอากาศชั้นบนด้วยวิธีหยุดยั้งอากาศ พบว่า ค่าดัชนีเสถียรภาพของอากาศ (Stability Indices) ที่ใช้ในการพยากรณ์หรืออ่านชี้กรเกิดพายุลูกเห็บ จำนวน ๙ ตัวแปร (Robert, ๒๐๐๘; Brimelow, et al., ๒๐๐๗). ได้แก่ (๑) ปริมาณน้ำในบรรยากาศ (Precipitable Water; PW) (๒) ค่าดัชนีเสถียรภาพของชั้นบรรยากาศด้านต่ำ (Lift Index; LI) (๓) ค่าดัชนีเสถียรภาพของชั้นบรรยากาศด้านกลาง (Showalter Index; SI) (๔) Total totals Index (TTI) (๕) ค่าดัชนีศักยภาพการก่อตัวในแนวตั้ง (K Index; KI) (๖) คาดพังงานในการยกตัวของมวลอากาศ (Convective Available Potential Energy; CAPE) (๗) ค่าพังงานในการยับยั้งการยกตัวของมวลอากาศ (Convective Inhibition) (๘) ดัชนีโอกาสเกิดพายุฝนฟ้าคะนอง (Severe Weather Threat Index; SWEAT) และตัวแปรทางอุตุนิยมวิทยาที่สำคัญ จำนวน ๑๐ ตัวแปร (Xie, et al., ๒๐๐๗) ได้แก่ ระดับความสูงของจุดเยือกแข็ง ความชื้นเฉลี่ยที่ระดับต่างๆ จำนวน ๕ ระดับ ความความเร็วลมที่ระดับต่างๆ จำนวน ๕ ระดับ และค่า Wind Shear ที่ระดับความสูง ๙ กิโลเมตร.....

การศึกษานี้ได้ทำการวิเคราะห์ค่าดัชนีเสถียรภาพของอากาศ และตัวแปรทางอุตุนิยมวิทยาที่สำคัญ รวม ๑๔ ตัวแปร จากข้อมูลการตรวจอากาศชั้นบนในช่วงฤดูร้อน ของพื้นที่ภาคเหนือ ระหว่างเดือนเมษายน ถึงพฤษภาคม ๒๕๕๕ ที่มีความสมบูรณ์ จำนวน ๔๓ วัน ข้อมูลการวิเคราะห์ทางสถิติของค่าดัชนีเสถียรภาพของอากาศ และตัวแปรทางอุตุนิยมวิทยาที่สำคัญ จำนวน ๑๔ ตัวแปร แสดงรายละเอียดตามตารางที่ ๔.๑.๑

ตารางที่ ๔.๑.๑ แสดงตัวแปรที่สำคัญที่ได้จากการตรวจอากาศชั้นบนด้วยวิธีหยุดยั้งอากาศ ของเดือนเมษายน ๒๕๕๕ (๒๐ วัน) และเดือนพฤษภาคม ๒๕๕๕ (๒๓ วัน) โดยเป็นเหตุการณ์วันที่เกิดพายุลูกเห็บ (๗ วัน) เปรียบเทียบกับค่าเฉลี่ยตัวแปรคุณลักษณะของวันที่ไม่มีเหตุการณ์ลูกเห็บ (๓๖ วัน).....

อากาศ	ตัวแปรที่สำคัญที่ได้จากการตรวจอากาศชั้นบนด้วยวิธีหยุดยั้ง	วันที่ไม่เกิดพายุลูกเห็บ	วันที่เกิดพายุลูกเห็บ				ตัวแปรที่สำคัญที่ได้จากการตรวจอากาศชั้นบนด้วยวิธีหยุดยั้ง	วันที่ไม่เกิดพายุลูกเห็บ	วันที่เกิดพายุลูกเห็บ		
			ค่าเฉลี่ยในเดือนเมษายน ๒๕๕๕	20-เม.ย.	24-เม.ย.-	27-เม.ย.	28-เม.ย.	ค่าเฉลี่ยในเดือนพฤษภาคม ๒๕๕๕	2-พ.ค.	3-พ.ค.	4-พ.ค.
Precipitation Water SFC-850 (cm)	0.5	0.5	0.5	0.6	0.5	0.5	0.5	0.5	0.5	0.5	0.5
Lifted Index (°C)	-2.1	-3.2	-2.1	-3.0	-3.4	-0.8	-1.5	-2.1	-2.3		
Showalter Index	-0.9	-2.7	-1.5	-2.8	-2.8	-0.3	-1.0	-1.2	-1.8		
Total of Totals Index	45.5	47.6	45.1	46.6	47.5	42.8	44.1	44.8	45.7		
K Index	29.3	32.8	31.2	32.5	25.0	33.4	32.5	33.2	29.8		
CAPE (J/kg)	3924.8	5028.0	3930.0	5526.0	4786.0	1225.7	2918.0	4108.0	3827.0		
CIN (J/Kg)	-889.7	-873.0	-992.0	-677.0	-745.0	-697.2	-462.0	-501.0	-651.0		
SWEAT Index	219.2	209.6	246.6	248.0	246.6	231.8	242.0	211.4	211.2		
Freezing level (m)	4941	5118	5042	5058	4942	5168	4906	4835	5145		
RH SFC-5 kft	73.1	75.0	84.0	89.0	86.0	88.4	84.0	78.0	80.0		
RH 5 - 10 kft	52.7	60.0	57.0	68.0	61.0	75.8	72.0	63.0	62.0		
RH 10 - 15 kft	39.9	49.0	45.0	56.0	52.0	68.6	58.0	62.0	52.0		
RH 20 - 25 kft	21.6	11.0	20.0	42.0	63.0	61.0	60.0	41.0	56.0		
Wind Speed SFC-5 kft (m/s)	6.1	6.2	5.1	5.1	4.1	4.8	5.1	7.2	5.1		
Wind Speed 5 - 10 kft (m/s)	4.4	3.6	5.1	2.6	2.6	4.1	4.6	3.1	1.5		
Wind Speed 10 - 15 kft (m/s)	5.15	3.6	7.2	4.1	7.7	3.6	6.7	3.1	2.1		
Wind Speed 20 - 25 kft (m/s)	13.0	11.3	12.9	10.3	14.4	4.2	7.2	4.1	4.1		
Wind shear SFC-6 km (m/s)	6.0	4.1	7.2	5.1	7.7	3.8	6.7	5.6	1.5		

การคัดเลือกตัวแปรที่สำคัญที่ได้จากการตรวจสอบอากาศชั้นบนด้วยวิทยาห้องอากาศ จะพิจารณาค่าตัวชนีเสถียรภาพของอากาศและตัวแปรทางอุตุนิยมวิทยาในวันที่เกิดเหตุการณ์พายุลูกเห็บที่มีค่าเฉลี่ยสูงกว่าในวันที่ไม่เกิดเหตุการณ์พายุลูกเห็บ พน.ว่า ค่าตัวชนีเสถียรภาพของอากาศและตัวแปรทางอุตุนิยมวิทยาที่ตรงตามเงื่อนไขในทุกเหตุการณ์ที่เกิดพายุลูกเห็บ จำนวน ๓ ตัวแปร ได้แก่ (๑) ค่าตัวชนีเสถียรภาพของชั้นบรรยากาศระดับต่ำ (L), (๒) ค่าตัวชนีเสถียรภาพของชั้นบรรยากาศระดับกลาง (S), (๓) ค่าพลังงานในการยกตัวของมวลอากาศ (CAPE). ซึ่งสอดคล้องกับผลการศึกษาการพยากรณ์การเกิดพายุที่ผ่านมาของประเทศไทยและสหราชอาณาจักร (Ceperuelo et al., ๒๐๐๖; Geoenemeijer et al., ๒๐๐๗; Robert, ๒๐๐๘; และ Sanchez et al., ๒๐๐๙) ตัวอย่าง Skew-T diagram ของวันที่ไม่เกิดเหตุการณ์พายุลูกเห็บ วันที่ ๒๙ เมษายน พ.ศ. ๒๕๕๕ และวันที่เกิดพายุลูกเห็บ วันที่ ๒๗ เมษายน พ.ศ. ๒๕๕๕ แสดงได้ดังรูปที่ ๕.๑.๑



รูปที่ ๕.๑.๑ แสดงตัวอย่าง Skew-T diagram ของวันที่ไม่เกิดพายุลูกเห็บ (๒๙ เมษายน พ.ศ. ๒๕๕๕ เวลา ๐๐ UTC) และวันที่เกิดพายุลูกเห็บ (๒๗ เมษายน พ.ศ. ๒๕๕๕ เวลา ๐๐ UTC) (ขวา)

๕.๒ การศึกษาเปรียบเทียบคุณลักษณะของพายุลูกเห็บกับลักษณะของพายุฝน/กลุ่มฝน โดยใช้ค่าการสะท้อนกลับของเรดาร์ (Radar Reflectivity)

การศึกษานี้ได้ทำการวิเคราะห์ข้อมูลพายุฝนโดยใช้คุณสมบัติการสะท้อนกลับของเรดาร์ฝน หลวงออมก่ออย. จำเภออมก่อ จังหวัดเชียงใหม่ ซึ่งมีรัศมีการตรวจวัดห่วงผลของเรดาร์ ๒๔๐ กิโลเมตร ครอบคลุมพื้นที่ภาคเหนือ อ.อุตรดิตถ์ จังหวัด น่าน ในเขตภาคเหนือ ได้แก่ จังหวัดแม่ฮ่องสอน, ลำพูน, ลำปาง, แพร่, สุโขทัย, เชียงใหม่, ตาก, กำแพงเพชร และบางส่วนของจังหวัดอุตรดิตถ์ เชียงราย, พะเยา, น่าน และพิษณุโลก ในช่วงฤดูร้อน ระหว่างเดือนเมษายน ถึง เดือนพฤษภาคม พ.ศ. ๒๕๕๕ จากข้อมูลการณ์ที่คัดเลือกเพื่อใช้ในการวิเคราะห์ จำนวน ๗ วัน แบ่งเป็นเหตุการณ์ที่เกิดพายุฝน/กลุ่มฝน จำนวน ๑,๑๒๒ เหตุการณ์ และเหตุการณ์ที่เกิดพายุลูกเห็บ จำนวน ๑๒ เหตุการณ์

การศึกษานี้ ได้ทำการวิเคราะห์คุณลักษณะของพายุลูกเห็บกับลักษณะของพายุฝนที่สำคัญ รวม ๗ ตัวแปร จากค่าการสะท้อนกลับของเรดาร์ ได้แก่ (๑) ช่วงอายุ (๒) ความเร็วการเคลื่อนที่ (๓) ค่าการสะท้อนกลับ (๔) พื้นที่ (๕) ปริมาตร (๖) มวล และ (๗) ความสูงยอดเมฆ ข้อมูลการวิเคราะห์ทางสถิติของคุณลักษณะของพายุลูกเห็บกับลักษณะของพายุฝนที่สำคัญ จำนวน ๗ ตัวแปร แสดงรายละเอียดตามตารางที่ ๕.๒.๑

ตารางที่ ๘.๒.๑ แสดงคุณลักษณะของพายุลูกเห็บกับคุณลักษณะของพายุฝน โดยใช้ค่าการสะท้อนกลับของเรดาร์ (Radar Reflectivity) ในช่วงครึ่งวัน ระหว่างเดือนเมษายน ถึง พฤษภาคม พ.ศ. ๒๕๕๕ นริเวณภาคเหนือของประเทศไทย

คุณลักษณะของพายุ	เหตุการณ์ที่เกิดพายุฝน/กลุ่มฝน * (1,129 เหตุการณ์)						เหตุการณ์ที่เกิดพายุลูกเห็บ (12 เหตุการณ์)					
	Mean	Min	Q1	Median	Q3	Max	Mean	Min	Q1	Median	Q3	Max
	ช่วงอายุ Mean Duration (hrs)	0.71±0.55	0.30	0.31	0.51	0.84	2.76	2.86±1.25	1.20	1.83	2.80	3.60
ความเร็วการเคลื่อนที่ Mean Speed (km/hr)	8.70±7.86	0.09	2.17	6.40	14.24	32.85	17.45±8.93	1.51	12.95	17.12	23.23	29.82
ค่าการสะท้อนกลับของเรดาร์เฉลี่ย Mean ZH (dBZ)	40.34±5.29	31.60	36.41	39.55	44.06	50.78	40.79±1.33	38.22	40.30	40.65	41.46	42.93
ค่าการสะท้อนกลับของเรดาร์สูงสุด Maximum ZH (dBZ)	52.82±9.50	34.36	45.79	51.93	59.95	75.86	64.33±2.28	60.50	62.88	64.50	65.63	68.00
พื้นที่เฉลี่ย Mean Area (km^2)	26.13±29.86	5.60	10.63	15.80	26.87	221.33	180.76±44.62	116.64	152.77	170.42	221.00	258.26
ปริมาตร Mean Volume (km^3)	87.70±123.98	15.58	24.56	43.67	94.47	945.72	762.62±193.18	530.07	602.63	758.83	880.83	1162.31
มวล Mean mass (kTon)	61.40±100.80	5.36	19.08	32.36	53.43	744.43	798.32±251.80	446.58	574.25	783.77	895.37	1287.25
ความสูงยอดเมฆ Maximum storm-top height (km)	5.33±2.04	2.09	3.70	4.88	6.83	9.27	8.56±1.03	6.38	7.88	9.00	9.38	9.38

* เหตุการณ์ที่เกิดพายุฝน/กลุ่มฝนทั้งหมดที่เกิดขึ้นของวันเดียวกันที่เกิดเหตุการณ์พายุลูกเห็บ

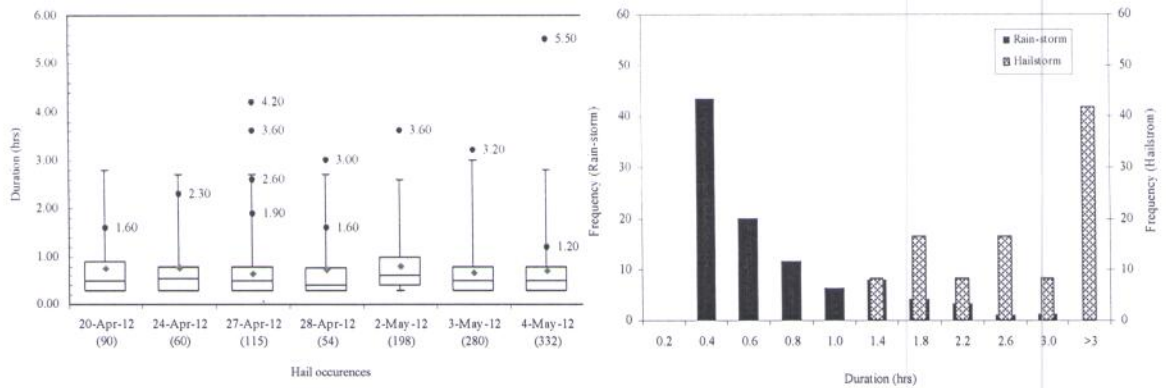
๘.๒.๑ ช่วงอายุของพายุฝนและพายุลูกเห็บ

ทำการศึกษาช่วงอายุของเหตุการณ์พายุฝน โดยการติดตามพายุฝนและพายุลูกเห็บเมื่อเริ่มพนค่าการสะท้อนกลับของเรดาร์ (First echoes) ในครั้งแรกที่ระดับความเข้ม ๓๐ dBZ และติดตามไปจนกว่าพายุฝนหรือพายุลูกเห็บจะถล่มตัวไป พบว่า

(๑). เหตุการณ์พายุฝน ช่วงอายุของพายุฝนเฉลี่ย อよู่ที่ประมาณ ๔๗ นาที และมีลักษณะการช่วงอายุกระจายตัวของช่วงอายุส่วนมาก อよู่ระหว่าง ๒๔ - ๔๙ นาที

(๒). เหตุการณ์พายุลูกเห็บ ช่วงอายุของพายุลูกเห็บ อよู่ที่ประมาณ ๑๗๐ นาที และมีลักษณะการกระจายตัวของช่วงอายุส่วนมาก มากกว่า ๔๙ นาที

ผลการศึกษานี้แสดงให้เห็นว่า ช่วงอายุเฉลี่ยของเหตุการณ์พายุลูกเห็บมีความยาวนานกว่าช่วงอายุของพายุฝนปกติ ซึ่งสอดคล้องกับลักษณะทางกายภาพของพายุลูกเห็บที่มีลักษณะเป็นแบบ Multi - convective cells จึงทำให้มีช่วงอายุที่มากกว่าพายุฝนหรือกลุ่มฝนโดยทั่วไป รายละเอียดลักษณะการกระจายตัวของช่วงอายุในวันที่เกิดเหตุการณ์พายุลูกเห็บ เนริยนเทียบกับเหตุการณ์พายุฝน แสดงได้ดังรูปที่ ๘.๒.๑



รูปที่ ๕.๒.๑ แสดง (ซ้าย) Box and whisker plot ของช่วงอายุในวันที่เกิดเหตุการณ์พายุลูกเห็บ; จำนวนเหตุการณ์ที่เกิดพายุฝน (แสดงค่าในวงเล็บ), ค่าเฉลี่ยช่วงอายุของเหตุการณ์พายุฝน (จุดสีเทา), ช่วงอายุของเหตุการณ์พายุลูกเห็บ (จุดสีดำ) และ (ขวา) แสดงลักษณะการกระจายตัวและความถี่ของช่วงอายุของเหตุการณ์พายุฝนเบรียบเทียนกับเหตุการณ์พายุลูกเห็บ ในช่วงฤดูร้อน ระหว่างเดือนเมษายน – พฤษภาคม ๒๕๕๕ จำนวน ๗ วัน นริเวณพื้นที่ภาคเหนือของประเทศไทย

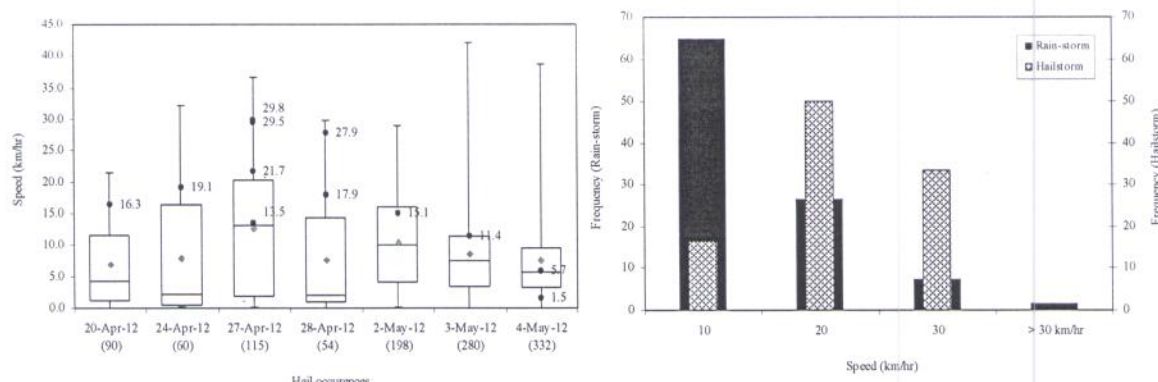
๕.๒.๒ ความเร็วการเคลื่อนที่ของพายุฝนและพายุลูกเห็บ

การศึกษาความเร็วการเคลื่อนที่ของพายุฝนและพายุลูกเห็บ โดยพิจารณาจากเวกเตอร์ลัพธ์ใน การเคลื่อนที่ของจุด Centroid พายุฝนหรือพายุลูกเห็บ ที่เปลี่ยนแปลงไปตามช่วงเวลา พนว่า

(๑) เหตุการณ์พายุฝน ความเร็วการเคลื่อนที่ของพายุฝน เฉลี่ยอยู่ที่ประมาณ ๘.๗ km/hr และมีลักษณะการกระจายตัวส่วนมาก ที่ระดับความเร็ว ระหว่าง ๑๐ - ๒๐ km/hr

(๒) เหตุการณ์พายุลูกเห็บ ความเร็วการเคลื่อนที่ของพายุลูกเห็บ เฉลี่ยอยู่ที่ประมาณ ๑๗.๕ km/hr และมีลักษณะการกระจายตัวส่วนมาก ที่ระดับความเร็ว ระหว่าง ๑๐ - ๓๐ km/hr

ผลจากการศึกษานี้แสดงให้เห็นว่า ความเร็วการเคลื่อนที่ของเหตุการณ์พายุลูกเห็บมีค่าสูงกว่า ความเร็วการเคลื่อนที่ของเหตุการณ์พายุฝนปกติอย่างเห็นได้ชัด รายละเอียดลักษณะการกระจายตัวของ ความเร็วการเคลื่อนที่ในวันที่เกิดเหตุการณ์พายุลูกเห็บเบรียบเทียนกับเหตุการณ์พายุฝน แสดงได้ดังรูปที่ ๕.๒.๒



รูปที่ ๕.๒.๒ แสดง (ซ้าย) Box and whisker plot ของความเร็วการเคลื่อนที่ในวันที่เกิดเหตุการณ์พายุลูกเห็บ; จำนวนเหตุการณ์ที่เกิดพายุฝน (แสดงค่าในวงเล็บ), ค่าเฉลี่ยความเร็วการเคลื่อนที่ของเหตุการณ์พายุฝน (จุดสีเทา), ความเร็วการเคลื่อนที่ของเหตุการณ์พายุลูกเห็บ (จุดสีดำ) และ (ขวา) แสดงลักษณะการกระจายตัวและความถี่ของความเร็วการเคลื่อนที่ของเหตุการณ์พายุฝนเบรียบเทียนกับเหตุการณ์พายุลูกเห็บ ในช่วงฤดูร้อน ระหว่างเดือนเมษายน – พฤษภาคม ๒๕๕๕ จำนวน ๗ วัน นริเวณพื้นที่ภาคเหนือของประเทศไทย

๕.๑.๓ ค่าการสะท้อนกลับของพายุฝนและพายุลูกเห็บ

การศึกษาค่าการสะท้อนกลับเฉลี่ย/สูงสุดของพายุฝนและพายุลูกเห็บ ที่ระดับความเข้ม First echoes ตั้งแต่ ๓๐ dBZ ขึ้นไป พนว่า

(๑). เหตุการณ์พายุฝน

- ค่าการสะท้อนกลับสูงสุดของพายุฝนเฉลี่ย อุyuที่ประมาณ ๔๒ dBZ และมีลักษณะการกระจายตัวของค่าการสะท้อนกลับสูงสุดของพายุฝน ระหว่าง ๓๔ - ๔๕ dBZ

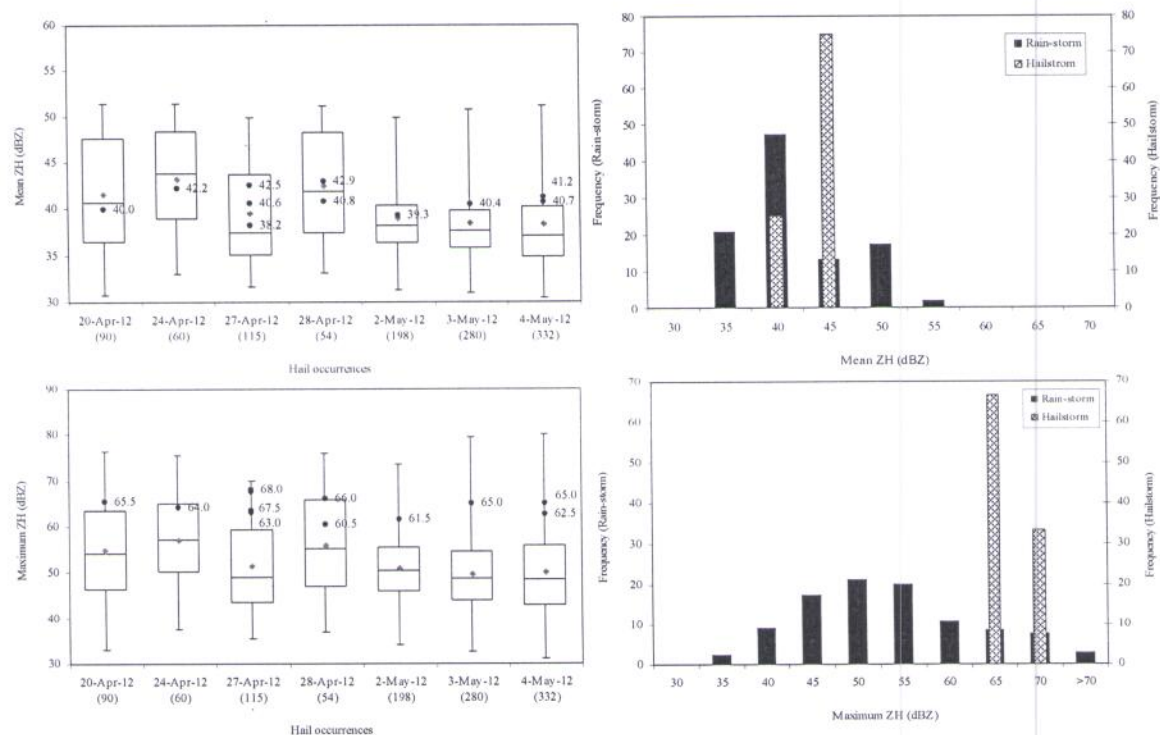
- ค่าการสะท้อนกลับเฉลี่ยของพายุฝนเฉลี่ย อุyuที่ประมาณ ๔๐ dBZ และมีลักษณะการกระจายตัวของค่าการสะท้อนกลับเฉลี่ยของพายุฝน ระหว่าง ๓๑ - ๔๐ dBZ

(๒). เหตุการณ์พายุลูกเห็บ

- ค่าการสะท้อนกลับสูงสุดของพายุลูกเห็บเฉลี่ย อุyuที่ประมาณ ๖๔ dBZ และมีลักษณะการกระจายตัวของค่าการสะท้อนกลับสูงสุดของพายุฝน ระหว่าง ๖๐ - ๖๘ dBZ

- ค่าการสะท้อนกลับเฉลี่ยของพายุลูกเห็บเฉลี่ย อุyuที่ประมาณ ๔๐ dBZ และมีลักษณะการกระจายตัวของค่าการสะท้อนกลับเฉลี่ยของพายุฝน ระหว่าง ๓๔ - ๔๗ dBZ

ผลจากการศึกษานี้แสดงให้เห็นว่า ค่าการสะท้อนกลับสูงสุดของเหตุการณ์พายุลูกเห็บมีค่าสูงกว่าค่าเฉลี่ยของพายุฝนปกติในทุกเหตุการณ์ ซึ่งแสดงให้เห็นศักยภาพและบริมาณเม็ดน้ำในก้อนเมฆของภาระเกิดพายุลูกเห็บ ส่วนการพิจารณาค่าการสะท้อนกลับเฉลี่ยในเหตุการณ์พายุลูกเห็บเปรียบเทียบกับเหตุการณ์พายุฝน พนว่าไม่มีความแตกต่างกันอย่างมีนัยสำคัญ รายละเอียดลักษณะการกระจายตัวค่าการสะท้อนกลับ ในวันที่เกิดเหตุการณ์พายุลูกเห็บเปรียบเทียบกับเหตุการณ์พายุฝน แสดงได้ดังรูปที่ ๕.๒.๓



รูปที่ ๕.๒.๓ แสดง (ซ้าย) Box and whisker plot ของค่าการสะท้อนกลับในวันที่เกิดเหตุการณ์พายุลูกเห็บ; จำนวนเหตุการณ์ที่เกิดพายุฝน (แสดงค่าในวงเล็บ), ค่าเฉลี่ยการสะท้อนกลับของเหตุการณ์พายุฝน (จุดสีเทา), ค่าการสะท้อนกลับของเหตุการณ์พายุลูกเห็บ (จุดสีดำ) และ (ขวา) แสดงลักษณะการกระจายตัวและความถี่ของค่าการสะท้อนกลับของเหตุการณ์พายุฝนเบรียบกับเหตุการณ์พายุลูกเห็บ ในช่วงฤดูร้อน ระหว่างเดือนเมษายน – พฤษภาคม ๒๕๕๕ จำนวน ๗ วัน นริเวณพื้นที่ภาคเหนือของประเทศไทย

๔.๑.๔ พื้นที่ บริมาตร และมวลของพายุฝนและพายุลูกเห็บ

การศึกษาพื้นที่ บริมาตร และมวลของพายุฝนและพายุลูกเห็บ จากข้อมูลเชิงบริมาตร (Volume scan data) พบว่า

(๑) เหตุการณ์พายุฝน

- พื้นที่พายุฝนเฉลี่ย อุญที่ประมาณ 22 km^2 และมีลักษณะการกระจายตัวของพื้นที่พายุฝน ส่วนมาก อุญระหว่าง $20 - 80 \text{ km}^2$

- บริมาตรของพายุฝน มีค่าเฉลี่ยอุญที่ประมาณ 87 km^3 มีลักษณะการกระจายตัวของ บริมาตรพายุฝนส่วนมาก อุญระหว่าง $50 - 140 \text{ km}^3$

- ค่าวมวลของพายุฝน มีค่าเฉลี่ยอุญที่ประมาณ 61 kt ons (กิโลตัน) มีลักษณะการกระจายตัว ของมวลพายุฝนส่วนมาก อุญระหว่าง $50 - 100 \text{ kt ons}$

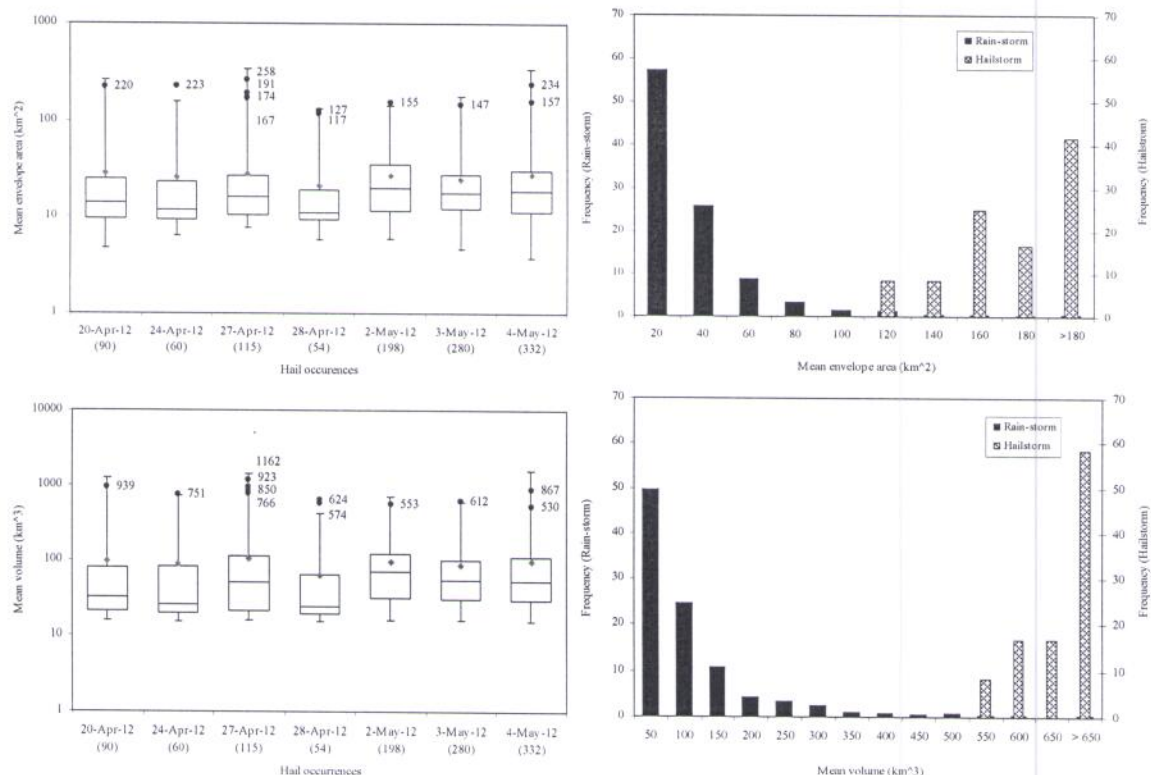
(๒) เหตุการณ์พายุลูกเห็บ

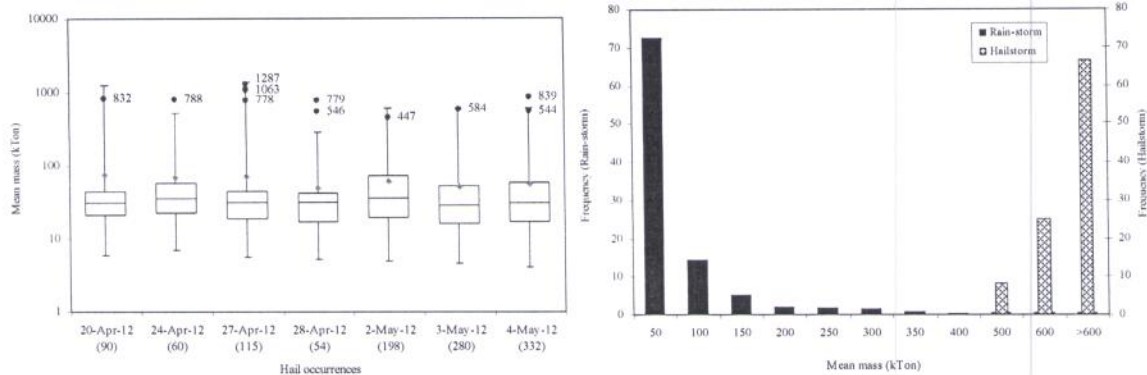
- พื้นที่พายุลูกเห็บเฉลี่ย อุญที่ประมาณ 180 km^2 และมีลักษณะการกระจายตัวของพื้นที่ พายุลูกเห็บส่วนมาก ตั้งแต่ 120 km^2

- บริมาตรของพายุลูกเห็บ มีค่าเฉลี่ย อุญที่ประมาณ 192 km^3 มีลักษณะการกระจายตัวของ บริมาตรพายุลูกเห็บส่วนมาก ตั้งแต่ 120 km^3

- ค่าวมวลของพายุลูกเห็บ มีค่าเฉลี่ยอุญที่ประมาณ 77 kt ons (กิโลตัน) มีลักษณะการ กระจายตัวของมวลพายุลูกเห็บส่วนมาก ตั้งแต่ 60 kt ons

ผลจากการศึกษานี้แสดงให้เห็นว่า พื้นที่ บริมาตร และมวลของเหตุการณ์พายุลูกเห็บมีค่า มากกว่าพายุฝนปกติในช่วงฤดูร้อนอย่างเห็นได้ชัดในทุกๆ เหตุการณ์ ซึ่งแสดงให้เห็นถึงศักยภาพของ คุณลักษณะพายุลูกเห็บที่ไม่ใช่ขนาดและปริมาณได้เป็นอย่างดี รายละเอียดลักษณะการกระจายตัวเชิงพื้นที่ บริมาตร และมวลพายุในวันที่เกิดเหตุการณ์พายุลูกเห็บเปรียบเทียบกับเหตุการณ์พายุฝน แสดงได้ดังรูปที่ ๔.๑.๕





รูปที่ ๕.๒.๔ แสดง (ซ้าย) Box and whisker plot ของพื้นที่ ปริมาตร และมวลของพายุฝนในวันที่เกิดเหตุการณ์พายุลูกเห็บ (บนลงล่าง ตามลำดับ); จำนวนเหตุการณ์ที่เกิดพายุฝน (แสดงค่าในวงเล็บ), ค่าเฉลี่ยพื้นที่ ปริมาตร และมวลของเหตุการณ์พายุฝน (จุดสีเทา), พื้นที่ ปริมาตร และมวลของเหตุการณ์พายุลูกเห็บ (จุดสีดำ), และ (ขวา) แสดงลักษณะการกระจายตัวและความถี่ของพื้นที่ ปริมาตร และมวลของพายุของเหตุการณ์พายุฝนเปรียบเทียบกับเหตุการณ์พายุลูกเห็บ ในช่วงฤดูร้อน ระหว่างเดือนเมษายน – พฤษภาคม ๒๕๕๕ จำนวน ๗ วัน นริเวณพื้นที่ภาคเหนือของประเทศไทย

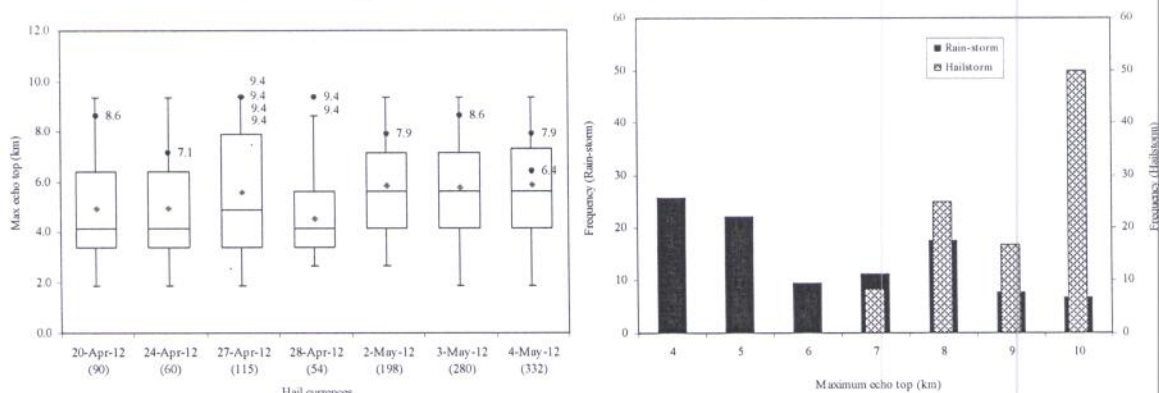
๕.๑.๕ ความสูงของพายุฝนและพายุลูกเห็บ

การศึกษาความสูงยอดเมฆของพายุฝนและพายุลูกเห็บ โดยกำหนด Minimum threshold ของค่าการสะท้อนกลับของเรดาร์ที่ระดับมากกว่าหรือเท่ากับ ๓๐ dBZ พนわ่

(๑) เหตุการณ์พายุฝน ความสูงยอดเมฆเฉลี่ย อยู่ที่ประมาณ ๕.๓ กิโลเมตร และมีลักษณะการกระจายตัวส่วนมาก อยู่ในระดับความสูง ระหว่าง ๔ - ๕ กิโลเมตร

(๒) เหตุการณ์พายุลูกเห็บ ความสูงยอดเมฆอยู่ที่ประมาณ ๘.๖ กิโลเมตร และมีลักษณะการกระจายตัวส่วนมาก อยู่ในระดับความสูง ระหว่าง ๗ - ๑๐ กิโลเมตร

ผลการศึกษาแสดงให้เห็นว่า ค่าเฉลี่ยของความสูงยอดเมฆของเหตุการณ์พายุลูกเห็บมีค่าสูงกว่าความสูงยอดเมฆในเหตุการณ์พายุฝนปกติในช่วงฤดูร้อน มากกว่า ๓ กิโลเมตร ซึ่งสามารถอนุมานได้ว่าการก่อตัวของเมฆในการเกิดพายุลูกเห็บจะต้องพลังงานอย่างมากในการยกตัวของเม็ดน้ำในก้อนเมฆทางด้านสอดคล้องกับวันที่เกิดเหตุการณ์พายุลูกเห็บซึ่งจะพบว่าค่า CAPE ซึ่งเป็นพลังงานในการยกตัวของมวลอากาศทางแนวตั้ง มีค่าสูงมากตามไปด้วย (รายละเอียด หัวข้อที่ ๕.๑) รายละเอียดลักษณะการกระจายตัวความสูงยอดเมฆในวันที่เกิดเหตุการณ์พายุลูกเห็บเปรียบเทียบกับเหตุการณ์พายุฝน แสดงดังรูปที่ ๕.๒.๕



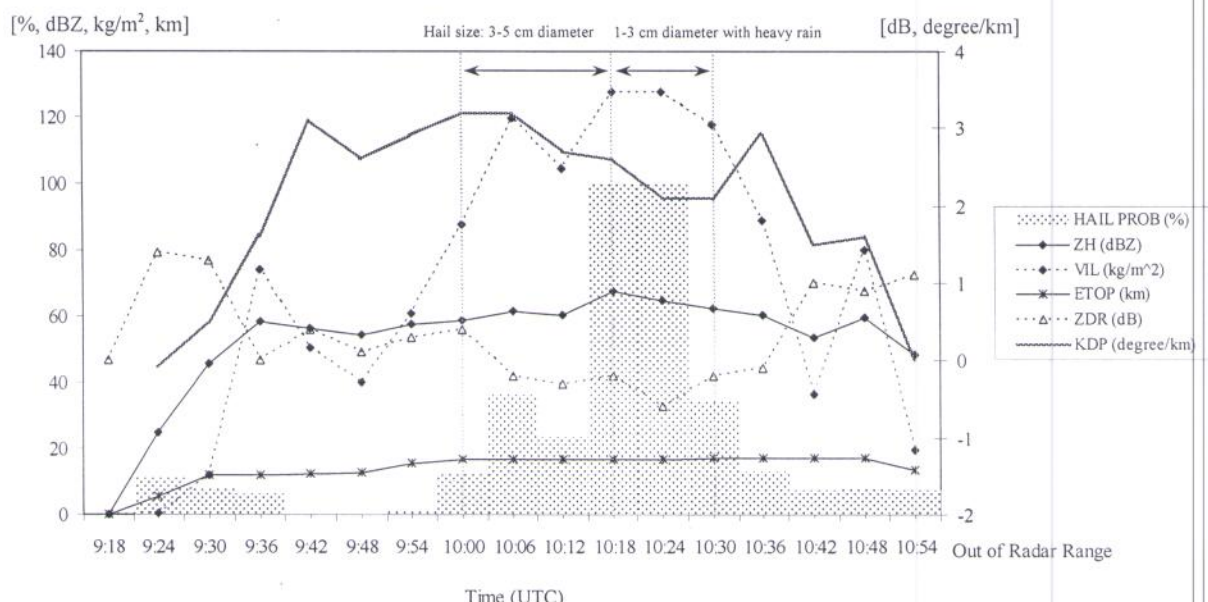
รูปที่ ๕.๒.๕ แสดง (ซ้าย) Box and whisker plot ของความสูงพายุฝนในวันที่เกิดเหตุการณ์พายุลูกเห็บ จำนวนเหตุการณ์ที่เกิดพายุฝน (แสดงค่าในวงเล็บ), ค่าเฉลี่ยความสูงยอดเมฆของเหตุการณ์พายุฝน (จุดสีเทา), ความสูงยอดเมฆของเหตุการณ์พายุลูกเห็บ (จุดสีดำ) และ (ขวา) แสดงลักษณะการกระจายตัวและความถี่ของ

ความสูงพายุฝนของเหตุการณ์พายุฝนเบรี่ยนเทียนกับเหตุการณ์พายุลูกเห็บ ในช่วงฤดูร้อน ระหว่างเดือน เมษายน - พฤษภาคม ๒๕๕๕ จำนวน ๓ วัน บริเวณพื้นที่ภาคเหนือของประเทศไทย

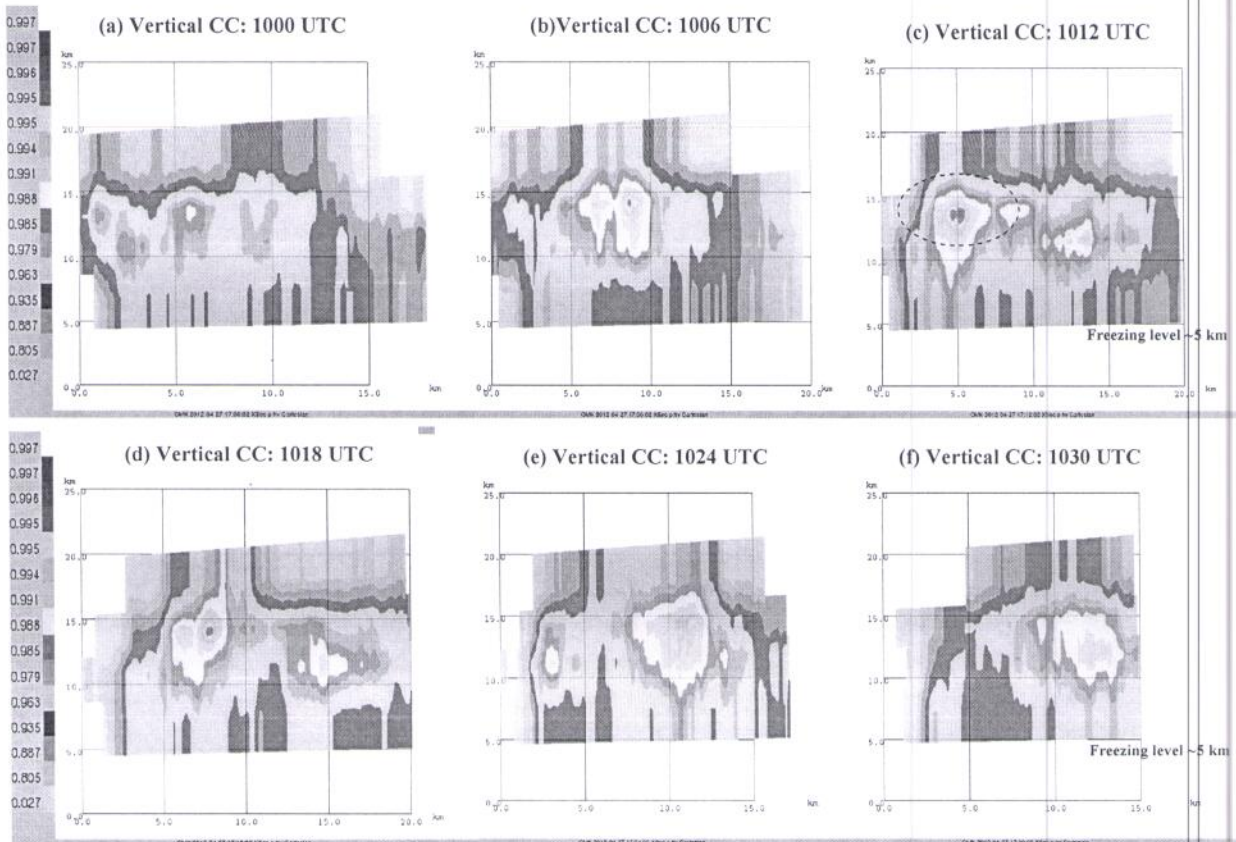
๙.๓. กรณีศึกษาการวิเคราะห์ตัวแปรการตรวจวัดด้วยเรดาร์แบบพาราไรซ์ชั้นคู่ (Dual Polarization) กับ เหตุการณ์เกิดพายุลูกเห็บในพื้นที่ภาคเหนือของประเทศไทยในช่วงฤดูร้อน

การศึกษาตัวแปรการตรวจวัดด้วยเรดาร์แบบพาราไรซ์ชั้นคู่ (Dual Polarization) ความถี่ S Band ของสถานีเรดาร์ฝนหลวง อำเภอองครักษ์ จังหวัดเชียงใหม่ กับเหตุการณ์วันที่เกิดพายุลูกเห็บในพื้นที่ภาคเหนือของประเทศไทยในช่วงฤดูร้อน กรณีศึกษา ณ อำเภอเชียงม่วน จังหวัดพะเยา วันที่ ๒๗ เมษายน พ.ศ. ๒๕๕๕ เวลา ๑๐:๐๘ UTC อุ่นภัยในรัศมีการตรวจวัด ๒๐๐ กิโลเมตร เพื่อวิเคราะห์หาตัวแปรจาก ตรวจวัดด้วยเรดาร์แบบพาราไรซ์ชั้นคู่ที่สามารถชี้และพยากรณ์ลักษณะของการเกิดพายุลูกเห็บในพื้นที่ภาคเหนือ โดยการศึกษาได้คัดเลือกตัวแปรจากการศึกษางานวิจัยที่เกี่ยวข้องกับการศึกษาคุณลักษณะของพายุลูกเห็บโดยใช้ข้อมูลจากการตรวจวัดด้วยเรดาร์ตรวจอากาศแบบพาราไรซ์ชั้นคู่ จำนวน ๖ ตัวแปร (Johns et al., ๑๙๗๗; Witt et al., ๑๙๗๔) ได้แก่ (๑) ค่าความน่าจะเป็นในการเกิดลูกเห็บ (Hail Prob) (๒) ค่าปริมาตรน้ำทางแนวตั้ง (VIL) (๓) ค่าการสะท้อนกลับของกลุ่มฝนในแนวระดับ (ZH) (๔) ค่าผลต่างการสะท้อนกลับของกลุ่มฝนในแนวระนาบกันแนวตั้ง (ZDR) (๕) ความสูงยอดเมฆ (๖) ค่า Correlation Coefficient (CC) และ (๗) ค่า Specific Differential Phase (KDP)

การวิเคราะห์ข้อมูลตัวแปรต่างๆ เชิงเวลา ตั้งแต่ระยะที่ไม่เริ่มก่อตัว เริ่มมีลูกเห็บตก (ขนาดที่แตกต่างกัน) จนพายุลูกเห็บສลายตัวไป แสดงได้ดังรูปที่ ๙.๓.๑ และรูปที่ ๙.๓.๒



รูปที่ ๙.๓.๑ แสดงการเปลี่ยนแปลงของค่าตัวแปรจากการตรวจวัดด้วยเรดาร์แบบพาราไรซ์ชั้นคู่ตามเวลา ตั้งแต่เมฆเริ่มก่อตัว เป้าสู่ระยะการพัฒนาตัวจนเกิดลูกเห็บขนาดต่างๆ และเริ่มสลายตัว จำนวน ๓ ตัวแปร ได้แก่ (๑) ค่าความน่าจะเป็นในการเกิดลูกเห็บ (Hail Prob) (๒) ค่าปริมาตรน้ำทางแนวตั้ง (VIL) (๓) ค่าการสะท้อนกลับของกลุ่มฝนในแนวระดับ (ZH) (๔) ค่าผลต่างการสะท้อนกลับของกลุ่มฝนในแนวระนาบกันแนวตั้ง (ZDR) (๕) ความสูงยอดเมฆ (๖) ค่า Specific Differential Phase (KDP) ของเหตุการณ์พายุลูกเห็บ อำเภอเชียงม่วน จังหวัดพะเยา วันที่ ๒๗ เมษายน พ.ศ. ๒๕๕๕



รูปที่ ๙.๓.๑ แสดงค่าการเปลี่ยนแปลงของตัวแปร CC ตามช่วงเวลาจากภาพตัดขวางของเมฆที่เกิดพายุลูกเห็บน ทางแนวตั้ง รูป (a) – (f) ค่า CC แสดงค่าสูงสุด ณ ระดับความสูงหนึ่งหรือระดับจุดเยือกแข็ง เวลา ๑๐๑๒ UTC ซึ่งเป็นช่วงเวลาที่มีลูกเห็บตกถึงพื้นของเหตุการณ์พายุลูกเห็บน อำเภอเชียงม่วน จังหวัดพะเยา วันที่ ๒๗ เมษายน พ.ศ. ๒๕๕๘

(๑) ค่าปริมาตรน้ำทางแนวตั้ง (VIL) มีค่ามากกว่า 120 kg/m^3 ขณะที่เมฆพัฒนาตัวจนเริ่มมีลูกเห็บตก ซึ่งสอดคล้องกับการศึกษาพายุลูกเห็บน Edwards et al., (๑๙๙๔) โดยใช้เรดาร์ตรวจวัดกระแส WSR-88D ประเทศสหรัฐอเมริกา และค่าความน่าจะเป็นในการเกิดลูกเห็บน (Hail Prob.) สามารถแสดงค่า ๑๐๐% ขณะที่เกิดเหตุการณ์พายุลูกเห็บน

(๒) ขณะที่เริ่มนีลูกเห็บตก ค่าการสะท้อนกลับของกลุ่มฝนในแนวระดับ (ZDR) มีค่ามากกว่า 0.5 dBZ ความสูงยอดเมฆ (Threshold ที่ 0.5 dBZ) มากกว่า 10 กิโลเมตร และค่าผลต่างการสะท้อนกลับของกลุ่มฝนในแนวระดับกับแนวตั้ง (ZDR) มีค่าระหว่าง -0.9 ถึง 0.5 dB (Houze, ๑๙๙๐; Aydin et al., ๑๙๙๐; Bringi et al., ๑๙๙๔; Bringi et al., ๑๙๙๖; Illingworth et al., ๑๙๙๖)

(๓) ขณะที่เริ่มนีลูกเห็บตก ค่า Correlation Coefficient (CC) มีค่าระหว่าง 0.888 ถึง 0.997 ที่ระดับความสูงหนึ่งหรือระดับจุดเยือกแข็ง (ประมาณ 10 กิโลเมตร) และค่า Specific Differential Phase (KDP) ซึ่งโดยปกติใช้สำหรับการตรวจวัดพื้นที่ฝนตกหนัก มีค่าระหว่าง 20 ถึง 30 deg/km (Angela et al., ๒๐๐๕; Smyth, et al., ๑๙๙๗)

๑๐. สรุปผลการการศึกษา

๑๐.๑. จากการศึกษาพบว่า ตัวแปรที่เหมาะสมสำหรับใช้ในการพยากรณ์สภาพอากาศของการเกิดพายุลูกเห็น ประกอบด้วย ค่าเสถียรภาพของขั้นบรรยายการตัดต่อ (PE), ค่าเสถียรภาพของขั้นบรรยายการตัดกางaroo (SI) และค่าพลังงานในการยกตัวของอากาศ (CAPE). จากการเปรียบเทียบข้อมูลของเหตุการณ์ที่เกิดพายุลูกเห็นเปรียบเทียบกันวันที่เกิดพายุฝนหรือพายุฝนฟ้าคะนองโดยทั่วไปในช่วงฤดูร้อน ระหว่างเดือนเมษายน และพฤษภาคม ๒๕๕๕ ในพื้นที่ภาคเหนือ พนว่า ค่า PE, SI และ CAPE ในวันที่เกิดพายุลูกเห็นมีค่าสูงกว่าค่าเฉลี่ยของวันที่เกิดพายุฝนปกติในทุกเหตุการณ์ โดยค่า PE และ SI มีค่าอยู่ระหว่าง ๑.๓๙-๔.๘ และค่า CAPE มีค่ามากกว่า ๒,๕๐๐ J/kg ซึ่งแสดงให้เห็นว่า ปัจจัยที่สำคัญในการพัฒนาตัวของกลุ่มฝนที่มีศักยภาพในการเกิดพายุลูกเห็น เกิดจากความไม่มีเสถียรภาพของขั้นบรรยายการในระดับต่างๆ และพลังงานในการยกตัวหรือกระแส Updraft เพื่อรองรับนวนการในการที่เมฆเจริญเติบโตในแนวตั้งและหนีบวนนำไปได้

๑๐.๒. การศึกษานี้ได้ทำการเปรียบเทียบคุณลักษณะของพายุลูกเห็นกับคุณลักษณะของพายุฝน/กลุ่มฝน โดยการวิเคราะห์ข้อมูลเรดาร์ โดยการใช้ข้อมูลค่าการสะท้อนกลับ (Radar reflectivity) ในการจำแนกพายุฝน และทำการนำเสนอด้วยคุณสมบัติของพายุฝนที่สำคัญ ระหว่างเมษายน และพฤษภาคม ๒๕๕๕ จำนวน ๗ วัน ในช่วงฤดูร้อนบริเวณภาคเหนือประเทศไทย แบ่งเป็น เหตุการณ์การเกิดพายุฝน ๑,๑๒๙ เหตุการณ์ และการเกิดพายุลูกเห็น จำนวน ๑๒ เหตุการณ์ โดยอาศัยการประมวลผลและการคัดเลือกข้อมูลพายุฝนด้วยโปรแกรม Thunderstorm Identification and Tracking Analysis and Nowcasting (TITAN) ในช่วงฤดูร้อน จำนวน ๗ ตัวแปร ประกอบด้วยช่วงอายุ ปริมาตร มวล ขนาด ค่าการสะท้อนเฉลี่ย/สูงสุด และความเร็วในการเคลื่อนที่ จากการวิเคราะห์ความผันแปรและการแจกแจงความถี่ของคุณลักษณะของเหตุการณ์พายุลูกเห็นและพายุฝนในแต่ละตัวแปรแสดงให้เห็นถึงข้อแตกต่างในพื้นที่ของพยากรณ์พายุลูกเห็น พนว่า ช่วงอายุของเหตุการณ์ที่เกิดพายุลูกเห็นมีช่วงอายุที่ยาวนานกว่า มีค่าการสะท้อนสูงสุด ความเร็วการเคลื่อนที่ ขนาด (พื้นที่และความสูง) มวลและปริมาตรของพายุมากกว่า เมื่อเทียบกับคุณลักษณะของเหตุการณ์พายุฝน/กลุ่มฝนที่เกิดขึ้นโดยทั่วไปในช่วงฤดูร้อนของพื้นที่ภาคเหนือ

๑๐.๓. กรณีศึกษาการวิเคราะห์ค่าตัวแปรที่ได้จากการตรวจวัดด้วยเรดาร์แบบโพลาไรเซชั่นคู่ (Dual Polarization) กับเหตุการณ์เกิดพายุลูกเห็นในพื้นที่ภาคเหนือของประเทศไทยในช่วงฤดูร้อน ของเหตุการณ์การเกิดพายุลูกเห็น ณ อำเภอเชียงใหม่ จังหวัดพะเยา เมื่อวันที่ ๒๗ เมษายน ๒๕๕๕ จากการศึกษาค่าตัวแปรต่างๆ พนว่า ตัวแปรสำคัญที่นับชี้ลักษณะของการเกิดพายุลูกเห็น ได้แก่ ค่าความน่าวจะเป็นในการเกิดลูกเห็น (Hail Prob) มีค่า ๑๐๐% ค่าปริมาตรน้ำทางแนวตั้ง (VIL) มีค่ามากกว่า ๑๐๐ kg/m³ ค่าการสะท้อนกลับของกลุ่มฝนในแนวระดับ (ZH) มีค่ามากกว่า ๖๐ dBZ ค่าผลต่างการสะท้อนกลับของกลุ่มฝนในแนวระดับกับแนวตั้ง (ZDR) มีค่าเข้าใกล้ศูนย์ ความสูงยอดเมฆมากกว่า ๑๗ กิโลเมตร ค่า Correlation Coefficient (CC) มีค่าอยู่ระหว่าง ๐.๘๘๘ ถึง ๐.๘๙๙ และค่า Specific Differential Phase (KDP) อยู่ระหว่าง ๒.๑ ถึง ๓.๒ deg/km.

๑๑. ข้อเสนอแนะ

๑๑.๑. ระบบเรดาร์ตรวจอากาศที่ใช้งานควรมีการนำร่องรักษาชนนอย่างเป็นระบบ เปิดใช้งานอย่างต่อเนื่อง ๒๔ ชั่วโมง และมีความเป็นมาตรฐานในการปฏิบัติงาน และกำหนดจุดติดตั้งระบบเรดาร์ตรวจอากาศให้มีพื้นที่การตรวจวัดครอบคลุมพื้นที่สี่แยกการเกิดพายุลูกเห็น ทั้งในภาคเหนือ และภาคตะวันออกเฉียงเหนือ เพื่อให้สามารถศึกษาลักษณะและโครงสร้างของพายุลูกเห็น ตรวจวัดและติดตามพายุลูกเห็นได้อย่างต่อเนื่อง รวมทั้ง การพัฒนาระบบเรดาร์ปัจจุบันให้เป็นแบบโพลาไรเซชั่นคู่ (Dual Polarization) เพื่อเพิ่มความแม่นยำในการตรวจวัดลูกเห็น และการบูรณาการข้อมูลเรดาร์ตรวจอากาศร่วมกับกรมอุตุนิยมวิทยาเพื่อใช้ในการฝ่ายระวัง ติดตาม และการเตือนภัยการเกิดพายุลูกเห็นในพื้นที่สี่แยกได้

.....๑๑.๒. กรมฝนหลวงและการบินเกษตรควรกำหนดแนวทางการวิจัยและพัฒนาระบวนการการเรียนรู้ และเข้าใจคุณสมบัติและพฤติกรรมของพายุฝน และการเกิดพายุลูกเห็นชิงพื้นที่ รวมทั้งการพัฒนาระบบการ พยากรณ์และการเฝ้าระวังการเกิดพายุลูกเห็นชิงพื้นที่ในพื้นที่เสี่ยงต่างๆ เช่น ในพื้นที่ภาคเหนือ และภาค ตะวันออกเฉียงเหนือ ทั้งการพยากรณ์ระยะสั้น (Short Range Forecast) ระยะสั้นมาก (Very Short Range Forecast) และระยะปัจจุบัน (Nowcasting) ให้สามารถคาดการณ์โอกาสของ การเกิดพายุลูกเห็นชิงพื้นที่ ประเมิน ประสิทธิภาพการดัดแปลงสภาพอากาศเพื่อยับยั้งลูกเห็นได้ตรงเป้าหมาย และทันต่อการเกิดพายุลูกเห็นชิงพื้นที่ ซึ่งมีการ พัฒนาตัวอย่างรวดเร็ว

.....๑๑.๓. ปัญหาที่สำคัญของการพัฒนาองค์ความรู้ด้านพฤติกรรมของพายุฝนและการเกิดพายุลูกเห็นชิง พื้นที่ มีสาเหตุสำคัญมาจากการขาดการอุปกรณ์และระบบฐานข้อมูล และการจัดเก็บข้อมูลและลักษณะสำคัญของ เหตุการณ์ภัยพิบัติในพื้นที่อย่างต่อเนื่องและเป็นระบบ โอกาสการเกิดพายุลูกเห็นในประเทศไทยมีค่อนข้างน้อย และมีการกระจายตัวในหลายพื้นที่ ดังนั้น การพัฒนาเครือข่ายอาสาสมัครฝนหลวงในพื้นที่ เพื่อช่วยในการเก็บ หรือบันทึกข้อมูลการเกิดลูกเห็น (หรือข้อมูลภัยพิบัติอื่นๆ ที่เกี่ยวข้อง) จะเป็นการบริหารและจัดการข้อมูลเชิง พื้นที่ให้เป็นระบบมากขึ้น และสามารถเพิ่มจำนวนข้อมูลของเหตุการณ์ภัยพิบัติเชิงพื้นที่ได้มากยิ่งขึ้น เป็น แหล่งข้อมูลที่สำคัญสำหรับนักวิจัย และนักวิทยาศาสตร์ในการพัฒนางานวิจัยในพื้นที่ได้ดียิ่งขึ้นต่อไป

๑๒. ประโยชน์ที่ได้รับ

.....๑๒.๑. กรมฝนหลวงและการบินเกษตรมีข้อกำหนดและแนวทางการปฏิบัติสำหรับการพยากรณ์การเกิด พายุลูกเห็นเพื่อการวางแผนตัดสินใจในการกิจกรรมปฏิบัติการฝนหลวงเพื่อการยับยั้งลูกเห็นประจำวันในพื้นที่ ภาคเหนือของประเทศไทยในช่วงฤดูร้อน โดยแบ่งการพยากรณ์การเกิดพายุลูกเห็นประจำวัน ออกรneen ๒ ระดับ ได้แก่ การพยากรณ์ศักยภาพของการเกิดลูกเห็นประจำวันจากข้อมูลการตรวจอากาศชั้นบนและการ พยากรณ์ศักยภาพและคุณสมบัติของกลุ่มเมฆทางแนวตั้งในระยะปัจจุบัน (Nowcasting) จากข้อมูลเรดาร์ตรวจ อากาศแบบໂprocäeze ชั้นคู่

.....๑๒.๒. ข้อมูลการตรวจวัดด้วยเรดาร์ตรวจอากาศ และข้อมูลการตรวจอากาศชั้นบน สามารถนำมา สร้างองค์ความรู้ด้านเมฆฟลิกส์ และพฤติกรรมที่สำคัญของการเกิดพายุลูกเห็นของภาคเหนือประเทศไทย ซึ่ง เป็นข้อมูลพื้นฐานเชิงพื้นที่ที่สำคัญในการเพิ่มประสิทธิภาพในการกิจกรรมระหว่างภัยพิบัติจากการเกิดลูกเห็น ของกรมฝนหลวงและการบินเกษตรได้

.....๑๒.๓. ขยายกรอบแนวคิดการดำเนินการ เพื่อเข้าใจคุณลักษณะ คุณสมบัติ และพฤติกรรมของพายุ ลูกเห็น ของพื้นที่ภาคเหนือให้มากยิ่งขึ้น รวมทั้งสามารถใช้เป็นต้นแบบในการดำเนินการในพื้นที่อื่นๆ ในแต่ละ ภูมิภาคของประเทศไทยได้ต่อไป

ขอรับรองว่าผลงานดังกล่าวข้างต้นเป็นความจริงทุกประการ

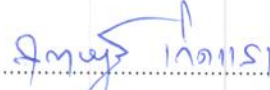
ลงชื่อ.....
(นายจันทร์ เกษ)

ผู้เสนอผลงาน
๒๒ / สิงหาคม / ๒๕๖๐

ขอรับรองว่าสัดส่วนหรือลักษณะงานในการดำเนินการของผู้เสนอข้างต้นถูกต้องตรงกับ
ความเป็นจริงทุกประการ

ลงชื่อ.....
(นายฉันติ ยอดโยยริน)

ผู้ร่วมดำเนินการ
๒๒ / สิงหาคม / ๒๕๖๐

ลงชื่อ.....
(นายสุกฤษฎี เกิดแสร้ง)

ผู้ร่วมดำเนินการ
๒๒ / สิงหาคม / ๒๕๖๐

ลงชื่อ.....
(นางสาวอริศรา นาคบุรี)

ผู้ร่วมดำเนินการ
๒๒ / สิงหาคม / ๒๕๖๐

ลงชื่อ.....
(นายเกษม มังคลา)

ผู้ร่วมดำเนินการ
๒๒ / สิงหาคม / ๒๕๖๐

ได้ตรวจสอบแล้วขอรับรองว่าผลงานดังกล่าวข้างต้นถูกต้องตรงกับความเป็นจริงทุก
ประการ

ลงชื่อ.....
()

ตำแหน่ง.....
/ /

(ผู้บังคับบัญชาที่ควบคุมดูแลการดำเนินการ)

ลงชื่อ.....
(นายปันธิ เสมอวงศ์)

ผู้อำนวยการกองปฏิบัติการฟันหลัง
๒๒ สค. ๒๕๖๐

แบบพิจารณาคุณสมบัติของบุคคล

ตอนที่ ๑ ข้อมูลส่วนบุคคล

๑. ชื่อ (ผู้ขอรับการประเมิน)	นายภักดี จันทร์เงช
๒. ตำแหน่ง (ปัจจุบัน)	นักวิทยาศาสตร์ชำนาญการพิเศษ	ตำแหน่งเลขที่	๑๔๗
กลุ่ม	วิชาการปฏิบัติการฝนหลวง
กอง	ปฏิบัติการฝนหลวง	กรม	ฝนหลวงและการบินเกษตร
ตำแหน่งนี้เมื่อ	๒๐ มิถุนายน ๒๕๕๗
อัตราเงินเดือนปัจจุบัน	๓๔,๗๖๐	บาท	อัตราเงินเดือนในปีงบประมาณที่แล้ว	๓๔,๖๐๐	บาท
๓. ขอประเมินเพื่อแต่งตั้งให้ดำรงตำแหน่ง	นักวิทยาศาสตร์เชี่ยวชาญ	ตำแหน่งเลขที่	๔
กลุ่ม	-
กอง	-	กรม	ฝนหลวงและการบินเกษตร
๔. ประวัติส่วนตัว (จาก ก.พ. ๗)						
เกิดเมื่อวันที่	๑	เดือน	กันยายน	พ.ศ.	๒๕๕๘
อายุราชการ	๑๙	ปี	-	เดือน
๕. ประวัติการศึกษา						
คุณวุฒิและวิชาเอก	ปีที่สำเร็จการศึกษา	สถาบัน				
(ปริญญา / ประกาศนียบัตร)						
วิศวกรรมศาสตรบัณฑิต	๒๕๕๑	มหาวิทยาลัยธรรมศาสตร์
(วิศวกรรมไฟฟ้า)						
วิศวกรรมศาสตรมหาบัณฑิต	๒๕๕๐	สถาบันเทคโนโลยีเจ้าคุณทหาร
(สาขาวิชาวิศวกรรมมหิดล)				ลาดกระบัง
๖. ในอนุญาตประกอบวิชาชีพ (ถ้ามี) (ชื่อ-ในอนุญาต ในอนุญาตเป็นผู้ประกอบวิชาชีพวิศวกรรมควบคุมเครื่อง ไฟฟ้า ๙๘๘๗๕๕)						
วันออกใบอนุญาต	๒๙ ตุลาคม ๒๕๕๘	วันหมดอายุ	๒๙ ตุลาคม ๒๕๖๑
๗. ประวัติการรับราชการ (จากเริ่มรับราชการจนถึงปัจจุบัน แสดงเฉพาะที่ได้รับแต่งตั้งให้ดำรงตำแหน่งในระดับสูง ขึ้นแต่ละระดับ และการเปลี่ยนแปลงในการดำรงตำแหน่งในสายงานต่างๆ)						
วันเดือนปี	ตำแหน่ง	อัตราเงินเดือน	สังกัด			
๒. ส.ค. ๒๕๕๒	นักวิทยาศาสตร์ ๓	๖,๓๖๐	สพช.
๒. ส.ค. ๒๕๕๔	นักวิทยาศาสตร์ ๔	๗,๓๘๐	สพช.
๑. ต.ค. ๒๕๕๖	นักวิทยาศาสตร์ ๕	๘,๐๔๐	สพช.
๑. ก.ย. ๒๕๕๘	นักวิทยาศาสตร์ ๖ว.	๑๓,๐๘๐	สพช.
๑. ธ.ค. ๒๕๕้	นักวิทยาศาสตร์ ๗ว.	๑๖,๗๒๐	สพช.
๑. ธ.ค. ๒๕๕๑	นักวิทยาศาสตร์ ๗ว.	๑๖,๗๒๐	สพช.
๑. ธ.ค. ๒๕๕๑	นักวิทยาศาสตร์ ชำนาญการ	๑๖,๗๒๐	สพช.
๑. ธ.ค. ๒๕๕๒	นักวิทยาศาสตร์ ชำนาญการ	๑๖,๗๒๐	กรมฝนหลวงฯ
๒. ธ.ค. ๒๕๕๗	นักวิทยาศาสตร์ ชำนาญการพิเศษ	๑๔,๗๖๐	กรมฝนหลวงฯ

ตอนที่ ๑ ข้อมูลส่วนบุคคล (ต่อ)

๔. ประวัติการฝึกอบรมหรือดูงาน

ปี	ระยะเวลา	หลักสูตร	สถานที่
๒๕๕๗	๑๙-๒๑ ม.ค. ๒๕๕๗	โครงการฝึกอบรมสูตร นักปฏิบัติการฝนหลวง	ศูนย์ฝนหลวงหัวหิน
๒๕๕๗	๒๐-๒๑ มี.ค. ๒๕๕๗	การปฏิบัติการฝนหลวงถังถังแมลง	ศูนย์ฝนหลวงหัวหิน
๒๕๕๗	๗-๑๘ มี.ย. ๒๕๕๗	DTEC Preparation Course	Bits.(Thailand)
๒๕๕๗	๑๓-๑๘ ก.ค. ๒๕๕๗	การปฏิบัติการทางเทคนิค ^๑ การทำฝนหลวง	สพช.
๒๕๕๘	๑๕-๑๖ ส.ค. ๒๕๕๗	วิธีการสร้างและดูแลเว็บเพจด้วย Bits.(Thailand) โปรแกรม Dreamweaver MX๒๐๐๕	
๒๕๕๘	๑๔-๑๖ พ.ย. ๒๕๕๘	ยุทธศาสตร์การพัฒนาฝนหลวง ^๒ ตามแนวพระราชดำริ ^๓ และการบริหารความเสี่ยง ^๔	สถานีเกษตรฯราชบุรี และเทคโนโลยีพระราชทาน
๒๕๕๘	๒-๔ ส.ค. ๒๕๕๘	อบรมนักวิทยาศาสตร์	สพช.
๒๕๕๐	๒๓-๓๐ ม.ค. ๒๕๕๐	การบริหารความเสี่ยง ^๕ (Risk Management)	กระทรวงการต่างประเทศ
๒๕๕๐	๑๓ พ.ย. ๒๕๕๘ ถึง ^๖ ๑๓ ม.ค. ๒๕๕๐	Enterprise Java for Professional Developer. ^๗ (นักพัฒนาโปรแกรม) ^๘ มืออาชีพด้วยภาษา ชุดวิชา JAVA Web Pro.๑๓๒ ชั่วโมง	คณะวิศวกรรมศาสตร์ มหาวิทยาลัยเกษตรศาสตร์
๒๕๕๑	๑๕-๑๖ ก.ย. ๒๕๕๑	International Training Course WMO Regional Training	
	๒๘-๓๑ ก.ค. ๒๕๕๑	on Satellite and Radar	Center (RTC) Nanjing สาธารณรัฐประชาชนจีน
๒๕๕๓	๑-๑๒ ก.พ. ๒๕๕๓	Preparation for the TICA Examination (Group ๒)	สถานีเกษตรฯราชบุรี จุฬาลงกรณ์มหาวิทยาลัย
๒๕๕๓	๓๐ พ.ย. ๒๕๕๓ ถึง ^๙ ๑๓ ธ.ค. ๒๕๕๓	การใช้งาน การบำรุงรักษา ^{๑๐} ระบบเรดาร์ (EEC Dual) ^{๑๑} Polarization) และระบบซอฟแวร์ ^{๑๒} TITAN/CIDD	Marwin Technologies Co., Ltd.
๒๕๕๕	๑๑-๓๐ ต.ค. ๒๕๕๕	การใช้งาน การบำรุงรักษา ^{๑๓} ระบบเรดาร์ (Gematronik) ^{๑๔} Rainbow และระบบซอฟแวร์ ^{๑๕} TITAN/CIDD	Genomach Co., Ltd.
๒๕๕๕	๒๐-๒๔ พ.ย. ๒๕๕๕	Mobile Radar Model ^{๑๖} DWSR-๓๕๐๑C (EEC)	Marwin Technologies Co., Ltd.
๒๕๕๕	๑๔ ก.พ. ๒๕๕๕ ถึง ^{๑๗} ๗ มี.ค. ๒๕๕๕	การใช้งาน การบำรุงรักษา ^{๑๘} Cloud Physics and Instrumentation	SPEC Incorporated Boulder CO, USA

ตอนที่ ๑ ข้อมูลส่วนบุคคล (ต่อ)

๒๕๕๔	๒-๔ มี.ค. ๒๕๕๔	PCASP and CCN	Droplet Measurement Technologies
๒๕๕๔	๑-๑๖ ก.ย. ๒๕๕๔	Cloud Physics and Instrumentation: Review And Installation in Thailand	SPEC Incorporated
๒๕๕๙	๒-๖ ธ.ค. ๒๕๕๙	การใช้งาน การนำร่องรักษา ระบบ Microwave Profiler	Scientific Research Co., Ltd.
๒๕๕๗	๒๑ เม.ย. ๒๕๕๗ ถึง ๓๐ พ.ค. ๒๕๕๗	Intensive English Language Course (ILC)	สถาบันต่างประเทศ เทวะวงศ์วิจัย กระทรวงต่างประเทศ
๒๕๕๙	๑๐-๑๓ พ.ค. ๒๕๕๙	Training Workshop on Application of Radar Observation Data for Numerical Weather Prediction	กรมอุตุนิยมวิทยา
๒๕๕๙	๓๐ พ.ค.-๓ มิ.ย. ๒๕๕๙	Training Workshop on Data Assimilation for Precipitation Nowcasting	กรมอุตุนิยมวิทยา
๒๕๕๙	๑๗-๑๙ ส.ค. ๒๕๕๙	ระบบพัฒนาศูนย์ปฏิบัติการ ตรวจสอบอากาศ	Scientific Research Co.,Ltd.
๒๕๕๙	๑๗-๑๔ ก.ย. ๒๕๕๙	ระบบประเมินปริมาณน้ำฝน และพยากรณ์ฝนล่วงหน้า โดยใช้ข้อมูล radar ตรวจอากาศ	สถาบันสารสนเทศ ทรัพยากรน้ำและการเกษตร (องค์การมหาชน)

๙. ประสบการณ์ในการปฏิบัติงาน (เคยปฏิบัติงานเกี่ยวกับอะไรบ้างที่นอกเหนือ จาก ข้อ ๗ เช่น เป็นหัวหน้าโครงการ หัวหน้างาน กรรมการ อนุกรรมการ วิทยากร อาจารย์พิเศษ เป็นต้น)

๑. วิทยากรหลักสูตรอบรมหลักสูตรอุตุนิยมวิทยาชั้นสูง รุ่นที่ ๑๙ ประจำปีการศึกษา ๒๕๕๔ ระหว่างวันที่ ๑๑ มีนาคม - ๒๘ เมษายน ๒๕๕๔ ในชุดหัวข้อวิชา Cloud and precipitation; weather modification (Royal rainmaking); เรื่อง雷达ตรวจอากาศสำหรับการปฏิบัติการฝนหลวง
๒. วิทยากรโครงการประกันสัมมนา การวิเคราะห์สถานการณ์เพื่อเตรียมความพร้อมและการช่วยเหลือประเทศในภัยพิบัติ สำนักงานป้องกันภัยและบรรเทาสาธารณภัย จังหวัดนครสวรรค์
๓. หัวหน้าวิจัยโครงการประเมินปริมาณน้ำฝนด้วยเรดาร์ภาคกลาง (Radar Rainfall Estimation over the Central of Thailand) ปีงบประมาณ ๒๕๕๙

ตอนที่ ๑ ข้อมูลส่วนบุคคล (ต่อ)

๔. หัวหน้าวิจัยโครงการประเมินปริมาณน้ำฝนด้วยเรดาร์ในภาคตะวันออก (Radar Rainfall Estimation over the Eastern Thailand) ปีงบประมาณ ๒๕๕๗
๕. หัวหน้าวิจัยโครงการประเมินปริมาณน้ำฝนด้วยเรดาร์ในภาคตะวันออกเฉียงเหนือและภาคใต้ (Radar Rainfall Estimation over the North-Eastern and Southern Thailand) ปีงบประมาณ ๒๕๕๘-๒๕๖๐
๖. หัวหน้าโครงการวิจัยเชิงปฏิบัติการ: กรณีศึกษาการทำฝนแมลงอุ่นในพื้นที่ภาคเหนือโดยใช้สารดูดความชื้น แคลเซียมคลอไรด์ปีงบประมาณ ๒๕๕๙
๗. การประชุม Project Steering Committee โครงการการดัดแปลงสภาพอากาศโดยเทคโนโลยีฝนหลวงวันที่ ๒๕-๒๖ พฤศจิกายน ๒๕๕๙ ณ กรุงอัมมาน ประเทศจอร์แดน
๘. ที่ปรึกษาโครงการพัฒนาระบบเรียนรู้น้ำฝนและพยากรณ์ฝนล่วงหน้าโดยใช้ข้อมูลเรดาร์ตรวจสอบภาคปีงบประมาณ ๒๕๕๙ สถานบัน្តสารสนเทศทรัพยากรดินและการเกษตร (องค์การมหาชน) กรุงเทพมหานคร

ข้าพเจ้าขอรับรองว่าข้อความที่แจ้งไว้ในแบบฟอร์มนี้ถูกต้องและเป็นความจริงทุกประการ

(ลงชื่อ)

(ผู้ขอรับการประเมิน)

(..... นายภักดี จันทร์เกษา

(วันที่) ๒๒/๊ สิงหาคม /๒๕๖๐...

ตอนที่ ๒ การตรวจสอบคุณสมบัติของบุคคล(สำหรับหน่วยงานการเจ้าหน้าที่)

๑. คุณวุฒิการศึกษา

- () ตรงตามคุณสมบัติเฉพาะสำหรับตำแหน่ง
() ไม่ตรงแต่ก.พ. ยกเว้นตามมาตรา ๕๖

๒. ใบอนุญาตประกอบวิชาชีพ (ถ้ากำหนดได้)

- () ตรงตามที่กำหนด (ใบอนุญาต)
() ไม่ตรงตามที่กำหนด
() เป็นตำแหน่งที่ไม่ได้กำหนดเรื่องใบอนุญาตประกอบวิชาชีพไว้

๓. ระยะเวลาการดำรงตำแหน่ง

- () ครบตามที่กำหนดไว้ในมาตรฐานกำหนดตำแหน่ง
() ไม่ครบแต่จะครบกำหนดในวันที่

๔. ระยะเวลาขึ้นตำแหน่งในการดำรงตำแหน่ง หรือเคยดำรงตำแหน่งในสภากาชาดที่จะแต่งตั้ง (ให้รวมถึงการดำรงตำแหน่งในสภากาชาดอื่นที่เกี่ยวข้อง หรือเคยปฏิบัติงานอื่นที่เกี่ยวข้องหรือเกี่ยวกับด้วย)

- () ตรงตามที่ก.พ. กำหนด
() ไม่ตรง
() ส่งให้คณะกรรมการประเมินผลงานเป็นผู้พิจารณา

สรุปผลการตรวจสอบคุณสมบัติของบุคคล

- () อายุในหลักเกณฑ์ที่จะดำเนินการต่อไปได้
() อายุในหลักเกณฑ์ที่จะดำเนินการต่อไปได้แต่ต้องให้คณะกรรมการประเมินผลงาน
เป็นผู้พิจารณาในเรื่องระยะเวลาขึ้นตำแหน่งในการดำรงตำแหน่ง^{ในสภากาชาดที่จะแต่งตั้ง}
() ไม่อยู่ในหลักเกณฑ์ (ระบุเหตุผล)

(ลงชื่อ) (ผู้ตรวจสอบ)

(นางธนวรรณ ไชยพาณิชย์)

ตำแหน่งผู้อำนวยการกลุ่มบริหารทรัพยากรบุคคล
วันที่ / '๙๐ ส.ค. ๒๕๖๐ /

แบบประเมินคุณลักษณะของบุคคล

ชื่อผู้ขอประเมิน.....นายวัสดี..จันทร์เกษ.....ตำแหน่ง.....นักวิทยาศาสตร์ชำนาญการพิเศษ.....
ตำแหน่งเลขที่....๑๔๓.....สังกัด....กลุ่มวิชาการปฏิบัติการfunหลวง กองปฏิบัติการfunหลวง.....

ตอนที่ ๑ รายการประเมิน	คะแนนเต็ม	คะแนนที่ได้รับ
<u>๑. ความรับผิดชอบพิจารณาจากพฤติกรรม เช่น</u> - เอาใจใส่ในการทำงานที่ได้รับมอบหมายและหรืองานที่เกี่ยวข้องอย่างมีประสิทธิภาพ - ยอมรับผลงานของตนเองทั้งในด้านความสำเร็จและความผิดพลาด - พัฒนาและปรับปรุงงานในหน้าที่ให้ดียิ่งขึ้นและหรือแก้ไขปัญหาหรือข้อผิดพลาดที่เกิดขึ้น เช่น งานใดที่สำเร็จและได้รับผลดีแล้วก็พยายามปรับปรุงให้ดียิ่งขึ้นไปอีกเรื่อยๆ หรืองานใดที่พบว่ามีปัญหาหรือข้อผิดพลาดก็พยายามแก้ไขไม่ละเลยหรือปล่อยทิ้งไว้จนเกิดปัญหา เช่นนั้นซ้ำๆ อีก	๒๐	๗๐
<u>๒. ความคิดริเริ่มพิจารณาจากพฤติกรรม เช่น</u> - คิดค้นระบบ แนวทาง วิธีดำเนินการใหม่ๆ เพื่อประสิทธิผลของงาน - แสดงความคิดเห็นให้ข้อเสนอแนะอย่างสมเหตุสมผลและสามารถปฏิบัติได้ - แสวงหาความรู้ใหม่ๆ เพิ่มเติมอยู่เสมอโดยเฉพาะในสายวิชา/งานของตน - ตรวจสอบ ปรับปรุง แก้ไข หรือดัดแปลงวิธีทำงานใหม่ประสิทธิภาพและก้าวหน้าอยู่ตลอดเวลา - สนใจในงานที่ยุ่งยากซับซ้อน - มีความไวต่อสถานการณ์หรือความจำเป็นในการรับรู้สิ่งเร้าภายนอก	๒๐	๗๐
<u>๓. การแก้ไขปัญหาและการตัดสินใจพิจารณาจากพฤติกรรม เช่น</u> - วิเคราะห์หาสาเหตุก่อนเสมอเมื่อประสบปัญหาใดๆ - วิเคราะห์ลู่ทางแก้ปัญหาโดยมีทางเลือกปฏิบัติได้หลายวิธี - เลือกทางปฏิบัติในการแก้ปัญหาได้ถูกต้องเหมาะสม - ใช้ข้อมูลประกอบในการตัดสินใจและแก้ปัญหา <small>(ไม่ใช้ความรู้สึกของตนเอง)</small>	๑๐	๙

ตอนที่ ๑ รายการประเมิน	คะแนนเต็ม	คะแนนที่ได้รับ
๔. ความประพฤติพิจารณาจากพฤติกรรม เช่น - รักษาวินัย - ให้ความร่วมมือกับเพื่อนร่วมงาน - ปฏิบัติงานอยู่ในกรอบของข้อบังคับว่าด้วยจรรยาบรรณ ของข้าราชการพลเรือน	๑๐	๓
๕. ความสามารถในการสื่อความหมายพิจารณาจากพฤติกรรม เช่น - สื่อสารกับบุคคลต่างๆ เช่น ผู้บังคับบัญชา เพื่อร่วมงาน ผู้รับบริการและผู้ที่เกี่ยวข้องได้ดี โดยเข้าใจถูกต้องตรงกัน - ถ่ายทอดและเผยแพร่ความรู้ทางวิชาการให้ผู้อื่นเข้าใจได้ อย่างชัดเจนโดยใช้ภาษาอย่างถูกต้องเหมาะสม	๑๐	๓
๖. การพัฒนาตนเองพิจารณาจากพฤติกรรม เช่น - ติดตาม ศึกษา ค้นคว้าหาความรู้ใหม่ๆ หรือสิ่งที่เป็นความก้าวหน้า ทางวิชาการ/วิชาชีพอยู่เสมอ - สนใจและปรับตนเองให้ก้าวทันวิทยาการใหม่ๆ ตลอดเวลา - นำความรู้และวิทยาการใหม่ๆ มาประยุกต์ใช้ในการปฏิบัติงานได้ อย่างมีประสิทธิภาพ	๑๐	๙
๗. วิสัยทัศน์ พิจารณาจากพฤติกรรม เช่น - คาดการณ์หรือพยากรณ์สถานการณ์ข้างหน้าอย่างมีหลักการ และเหตุผล - กำหนดกลยุทธ์และวางแผนดำเนินการเพื่อรับรับสิ่งที่คาดว่า จะเกิดขึ้น ทั้งด้านที่เป็นผลโดยตรงหรือผลกระทบทางอ้อม	๑๕	๙
๘. คุณลักษณะอื่นๆ - ประพฤติเชิงบวกต่อคนอื่น/กระบวนการทำงานของteam - รักภารกิจ - เป็นหัวใจสำคัญในการทำงาน ต้องมีความตั้งใจ มาก	๕	๕
รวม	๑๐๐	๒๖

หมายเหตุ ผู้บังคับบัญชาสามารถกำหนดคุณลักษณะทั้งหมดข้างต้นเพื่อใช้ในการประเมินหรือจะกำหนดบางคุณลักษณะ หรือจะเพิ่มเติมคุณลักษณะใดๆ นอกเหนือจากที่กำหนดข้างต้นได้ และให้กำหนดคะแนนเต็มของแต่ละคุณลักษณะได้ด้วย

ตอนที่ ๒ สรุปความเห็นในการประเมิน

ความเห็นของผู้ประเมิน

- (ผ่านการประเมิน (ได้คะแนนรวมไม่ต่ำกว่าร้อยละ ๖๐)
 () ไม่ผ่านการประเมิน (ได้คะแนนรวมไม่ถึงร้อยละ ๖๐)
 (ระบุเหตุผล)

(ลงชื่อผู้ประเมิน)

(นายบันธิ เสนอวงศ์)
 (ตำแหน่ง) ผู้อำนวยการกองบัญชาการฝ่ายหลวง
 (วันที่) ๒๕/๘/๒๕๖๐

ความเห็นของผู้บังคับบัญชาเหนือขึ้นไป ๑ ระดับ

- () เห็นด้วยกับการประเมินข้างต้น
 () มีความเห็นแตกต่างจากการประเมินข้างต้น ในแต่ละรายการ ดังนี้

(ลงชื่อผู้ประเมิน)

(นายชัยรัตน์ เกื้ออรุณ)
 (ตำแหน่ง) รองอธิบดีปฏิบัติราชการแทน
 (วันที่) ๒๕/๘/๒๕๖๐

หมายเหตุ กรณีที่ผู้บังคับบัญชาทั้ง ๒ ระดับ เห็นควรให้ผ่านการประเมิน ให้เสนอผลงานเพื่อรับการประเมินได้

ตอนที่ ๒ สรุปความเห็นในการประเมิน(ต่อ)

ความเห็นของผู้มีอำนาจตามมาตรา ๕๒ (กรณีที่ความเห็นของผู้บังคับบัญชาทั้ง ๒ ระดับแตกต่างกัน)

() ผ่านการประเมิน (ระบุเหตุผล)

() ไม่ผ่านการประเมิน (ระบุเหตุผล)

(ลงชื่อผู้ประเมิน)

(.....)

(ตำแหน่ง)

(วันที่) / /

แบบแสดงรายละเอียดการเสนอผลงาน

ชื่อ นายภัคดี จันทร์เมฆ

ขบประเมินแต่งตั้งให้ดำรงตำแหน่ง นักวิทยาศาสตร์ชี่ยวชาญ

ด้าน เทคโนโลยีผลิตภัณฑ์

ตอนที่ ๑ หน้าที่ความรับผิดชอบ

๑. หน้าที่ความรับผิดชอบปัจจุบัน

.....๑. ศึกษา ติดตาม วิเคราะห์ คาดหมายสถานการณ์สภาพอากาศ สถานการณ์การพายุป่า สถานการณ์น้ำฝน น้ำท่า น้ำเกินกัก สถานการณ์ภัยธรรมชาติ ทั้งระยะสั้นและระยะยาว เพื่อจัดทำแผนปฏิบัติการเฝ้าระวังประจำปี และแผนบูรณาการกันหน่วยงานที่เกี่ยวข้องในการพร้อมทั่วประเทศ

.....๒. ประสานงานการปฏิบัติการเฝ้าระวังกับหน่วยงานองค์กรเกษตรกร ผู้รับน้ำริมแม่น้ำ ภาคส่วนอื่นที่เกี่ยวข้อง เพื่อสนับสนุนการป้องกันและแก้ไขปัญหาขาดแคลนน้ำ และภัยธรรมชาติต่างๆ ที่เกี่ยวข้อง

.....๓. เป็นศูนย์กลางปฏิบัติการเฝ้าระวังช่วยเหลือประชาชนในภาครวมของประเทศไทยเพื่อสนับสนุนงานด้านนโยบายและภาระงานของกรมและกระทรวง

.....๔. ปฏิบัติงานร่วมกับหน่วยงานที่เกี่ยวข้องหรือที่ได้รับมอบหมาย

๒. หน้าที่ความรับผิดชอบของตำแหน่งที่จะแต่งตั้ง (ตามที่ ก.พ. กำหนด) (ถ้าตำแหน่งที่จะแต่งตั้งเป็นตำแหน่งเดียวกับตำแหน่งที่ดำรงอยู่ในปัจจุบัน ให้ระบุ “เช่นเดียวกับข้อ ๑”)

.....๑. ศึกษา วิเคราะห์ วิจัยทางวิทยาศาสตร์น้ำริมแม่น้ำ และแผนฯ เพื่อให้เข้าใจถึงปรากฏการณ์ธรรมชาติ และพฤติกรรมของแม่น้ำที่สำคัญได้ปัจจัยสิ่งแวดล้อมทางภูมิอากาศและภูมิประเทศของประเทศไทยที่เปลี่ยนแปลงไปทั้งในเชิงเวลาและสถานที่ เพื่อเป็นองค์ความรู้พื้นฐานการเพิ่มศักยภาพของการดำเนินกิจกรรมการปฏิบัติการเฝ้าระวัง

.....๒. พัฒนาระบบวิธีการเฝ้าระวังให้เหมาะสมกับสภาพแวดล้อมและความต้องการของประเทศไทยในแต่ละภูมิภาค ตลอดจนป้องกันและแก้ไขปัญหาภัยแล้งและการขาดแคลนทรัพยากรน้ำของประเทศไทย

.....๓. ร่วมในการพัฒนาระบบข้อมูลวิทยาศาสตร์น้ำริมแม่น้ำ และแผนของประเทศไทย รวมทั้งข้อมูลการปฏิบัติการเฝ้าระวังและข้อมูลวิชาการที่เกี่ยวข้อง

.....๔. ให้คำปรึกษาและเสนอแนะต่อกรม ในเรื่องที่เกี่ยวข้องกับการกำหนดนโยบายเป้าหมายในกิจกรรมการปฏิบัติการเฝ้าระวัง รวมถึงงานวิชาการที่เกี่ยวข้อง

.....๕. ให้คำปรึกษา แนะนำ ถ่ายทอดองค์ความรู้ในการพัฒนาแนวทางหลักการวิธีบูรณาการดำเนินกิจกรรมด้านการปฏิบัติการเฝ้าระวังให้แก่นักวิทยาศาสตร์ของกรมและหน่วยงานภายนอกทั้งในและต่างประเทศ เพื่อให้เกิดการทำงานเชิงบูรณาการและการต่อยอดในการพัฒนากิจกรรมการทำเฝ้าระวังของไทย

.....๖. ประสานและให้ความร่วมมือกับหน่วยงานและองค์กรต่างๆ ทั้งในประเทศไทยและต่างประเทศ เพื่อเผยแพร่และกระจายความร่วมมือทางวิชาการด้านการปฏิบัติการเฝ้าระวัง

.....๗. ปฏิบัติงานอื่นๆ ตามที่ได้รับมอบหมาย

ตัวหนี่ ๒ ผลการปฏิบัติงานและพื้นที่ผลสำเร็จของงาน

ลำดับ ที่	ผู้ก่อการปฏิบัติงาน/ ผู้สำเร็จของงาน (ปี พ.ศ. ที่ดำเนินการ)	สรุปผลการปฏิบัติงาน ชื่นชอบ ในการดำเนินการ	กรณีที่เป็นผลงานนรุณภัยตามห้องคน			การนำผลงานไป ใช้ประโยชน์/ อ้างอิง	การเผยแพร่ ผ่านระบบ ข้อมูลฯ			
			ลักษณะที่แสดงถึง ความยุ่งยากของงาน	จำนวน ผู้ร่วม ดำเนินการ	สัดส่วนหรือ ลักษณะ ของผลงานที่ ตนปฏิบัติ					
๓.	การประมูลบริมาณ น้ำผู้ด้วยเรตอร์กัค ตะวันออก (พ.ศ. ๒๕๖๗ – ๒๕๖๘)	<p>๔.๑ ศึกษาในวิธีที่เกี่ยวข้องกับ การประเมินปริมาณน้ำฝน โดยวัดจากอากาศ และการวิเคราะห์สภาพพื้นที่ และตัวบ่งชี้ทาง ๔.๒ รวมรวมข้อมูลค่าการ สะท้อนกลับของรัศตรา (Z) ที่ ตรวจสอบได้จากการสูญเสียตัวรัศมี หลักสัดพื้นบ้านเพื่อชุมชนความ สมบูรณ์และน้ำฝนต้นทางทุ่ง มีน้ำคง ๒๕๖๙ ถึงสิ้นหาคม พ.ศ. ๒๕๖๙ ในรูปแบบ Volume files (Gemtronik volume file format)</p> <p>๔.๓ การแปลงข้อมูลรัศตรา Volume files ที่จะนำไปร่าง TITAN เป็นรูปแบบ Meteorological Data Volume (MDV) บนระบบพัสด แบบไฟล์เพียง</p> <p>๔.๔ พัฒนาโปรแกรมในการอ่าน ข้อมูลค่าการสูญเสียตัวรัศ ตรา (Z) จากชุดข้อมูลการ ตรวจสอบเชิงซึ่งกันและ MDV files ให้เป็นรูปแบบเดียวกัน</p>	<p>๓. ศึกษาข้อมูล การวางแผน รูปแบบ และการสร้าง กรอบบางริชั่ย์ การศึกษา การประเมินปริมาณน้ำฝน ด้วยรัศตราที่ไม่สามารถ สากล และการให้รัศมี ยอมรับจากหน่วยงาน ภายนอก</p> <p>๔. การอ่านและการแปลง ข้อมูล Volume file format เวคร้า และข้อมูล ปริมาณน้ำฝนจำานวนมาก ๕. การตรวจสอบความ ถูกต้องของข้อมูล การวิเคราะห์ข้อมูล และตรวจสอบความ ถูกต้องของข้อมูล ๕. การสังเคราะห์ข้อมูล และซึ่งนำไปใช้งาน</p> <p>๖. การวิเคราะห์ แล้ว สรุปต้องข้อมูล การคัดเลือกเหตุการณ์ใน การตรวจสอบความ ถูกต้องของข้อมูล และการ การคัดเลือกเหตุการณ์ใน การตรวจสอบความ ถูกต้องของข้อมูล รวม มา ก</p> <p>๗. การสื่อสารกับผู้ที่ น้ำฝนอยู่อย่างพัฒนา การสร้างข้อมูลพัสด</p>	<p>๗ ร้อยละ ๘๐</p>	<p>สัดส่วนหรือ ลักษณะ ของผลงานที่ ตนปฏิบัติ</p>	<p>๑. กำหนดกรอบการ ศึกษาวิจัย กระบวนการคิด การวิจัย และวิธีการ ศึกษา</p> <p>๒. บทוחวนแนวคิด ทฤษฎีและวรรณกรรมที่ เกี่ยวข้อง</p> <p>๓. การวางแผนรวมชื่อผู้ และการอ่านข้อมูล เบื้องต้น และตรวจสอบ ความถูกต้องของข้อมูล ๔. การวิเคราะห์ข้อมูล และตรวจสอบความ ถูกต้องของข้อมูล ๕. การสังเคราะห์ข้อมูล และซึ่งนำไปใช้งาน</p> <p>๖. การสื่อสารกับผู้ที่ น้ำฝนอยู่อย่างพัฒนา การสร้างข้อมูลพัสด</p>	<p>๑๕๔๖๘ ๘๐</p>	<p>๑๕๔๖๘ ๘๐</p>	<p>๑๕๔๖๘ ๘๐</p>	<p>๑๕๔๖๘ ๘๐</p>

น้ำฝน	วิชาการทางประเพณี		
๔.๕ ภายนอกจุดติดตั้งน้ำฝนและต่อบา ที่อยู่อาศัยต้องไม่ขวางรั้วบาน ห้องและภารบินไซด์ครัวโดยทำ การติดตั้งในรั้วห้องน้ำภายใน ๒๕๐ กิโลเมตรและส่วนที่ต้องถูกบัน ช้อมูลในวันที่ไม่ได้ระหว่าง เดือนมีนาคมถึงกันยายน พ.ศ. ๒๕๕๗	๘๖ ราบรื่นซ้อมปฏิริยาณัช ภัยให้รับมือหากการช่องช่องตู้รั่ว หลังสีตื้อหัว ๑๖๐ กิโลเมตรของ กรมอุตุนิยมวิทยา ในปี พ.ศ.๒๕๕๗	๘๗ พัฒนาไปในกรรมพื้น ประมวลผลการอ่านค่าน้ำรمام น้ำฝนและปลอกห้องน้ำฝน สะสมเป็นรายเดือน ๑ ชั่วโมง ๘.๘ การจัดการฐานข้อมูล สำหรับการจับคู Z - R และการ คัดแยกก้อนเมล็ดทรายจากการสกัด เพียบและหานอนบนแหล่งการ วิเคราะห์พากามสูงตระจั่งที่ เหมาะสมสำหรับไปปรับระดับผ่าน จากสถานีน้ำร้าฟันห้องล้างสัตหีบ ๙.๙ วิเคราะห์ความเข้มข้นพื้น ระบบท่อระบายน้ำ (R) และค่า การสูบห้องลักชอร์ตาร์ (Z) ๙.๑๐ ศึกษาความคลุมติดต่อใน ช่องกรวยประเมินผ่านไฟล์ลงก สมการความเข้มพื้นที่ระหว่าง ความเข้มผ่าน (R) และค่าการ สูบห้องลักชอร์ตาร์ (Z) และ ประเมินค่าความลำเอียงของผ่าน จากเรตาร์ (อัตราส่วน G/R) เมื่อ เปรียบเทียบกับช่วงเวลาที่ผ่านมา	๙๘

เพื่อ存檔ภาษาญี่ปุ่น สำหรับภารกิจ พ.ศ. ๒๕๕๘ ในรูปแบบ Volume files (Universal volume file format; UF files) ๔.๔. การแปลงไฟล์ข้อมูลเครื่อง Volume files ด้วยโปรแกรม TITAN เป็นรูปแบบ Meteorological Data Volume (MDV) บนระบบพีซีด้วย แบบไฟล์เขียน ๔.๕. ทำการแปลงข้อมูล MDV เป็น TITANStorm/Track files เพื่อใช้ในการสร้างภาพสามมิติของ พายุฝนและพายุถล่มเห็บ ๔.๖. การประมวลผลผลลัพธ์ที่ได้ โดยใช้ซอฟต์แวร์ภาษา Python ที่เขียน และพัฒนาขึ้นโดยวิศวกร ที่ร่วมกับนักวิชาการพัฒนาต้นแบบ ๔.๗. การตรวจสอบความถูกต้องของ ข้อมูลพายุฝนพายุถล่มเห็บ ที่เขียนโดยผู้ร่วมงานและตัวเองทาง คู่ตั้งข่ายวัดอย่าง ๔.๘. การวินิจฉัยหลังข้อมูล ศูนย์รวมและคำอธิบายรูปภาพ ของอากาศที่ไม่แน่อ้างต้น ๔.๙. การตัดเลือกหน้ากากที่มีพื้นที่ ให้พยากรณ์พื้นในวันที่มีข้อมูล ลดลง ค่าสัมบัติและค่าอัตราการเปลี่ยน แปลงอุณหภูมิวิทยาศาสตร์ ตรวจสอบอากาศที่เขียนบนที่มีความ สมบูรณ์	มีหน่วยงานรับผิดชอบ หลักในการรับผิดชอบ ให้ถูกต้องในการเก็บพายุ ถูกนำเสนอ หรือจัดเก็บข้อมูล ให้ถูกต้องอย่างเป็นระบบ ๓. การตรวจสอบความ ถูกต้องของข้อมูล และการ การตัดเลือกข้อมูลที่ใช้ การวินิจฉัยที่ ๔. การใช้ynnบทความ รู้จักฉบับภาษาอังกฤษเพื่อ นำเสนอของตัวพิมพ์ การสร้างภาพ ๕. การวินิจฉัยว่า ผลลัพธ์ที่ได้จากการตรวจสอบ และการตัดเลือกข้อมูลที่ใช้ การตัดเลือกข้อมูลที่ใช้ ๕.๑๐ การวินิจฉัย ความสมบูรณ์ค่าตัวชี้ เลขที่ร่วงของอักษร (Stability Indices) ตัวแบบทาง ดูดูความหมายหลักๆ นั่นที่ได้ พูดคุยกับผู้เชี่ยวชาญ ผู้ที่	การวินิจฉัยแบบ ภาษาอังกฤษเพื่อ นำเสนอของตัวพิมพ์ การสร้างภาพ	

	<p>ภาคเหนือของประเทศไทย</p> <p>๔.๓๑ การนิคาระที่ปรีเยบเพียง ศูนย์ลักษณะหรือพื้นที่การรวมทุกอย่าง พายตุกเพิ่มที่สุดคัญไป ศูนย์ลักษณะของภัยในวันที่ เกิดเหตุการณ์พายุถูกเพิ่มน้ำซึ่ง ถูกร่อน พื้นที่ภาคเหนือของ ประเทศไทย</p> <p>๔.๓๒ ทักษิษากษาของร วิเคราะห์ความสำคัญระหว่าง ค่าตัวแบบที่ได้จากการตรวจสอบจัด ด้วยครั้งแบบไฟฟ้าเชิงคู่ (Dual Polarization) กับวันที่ เกิดพายุถูกเพิ่ม ของอินไซเจน นวน จังหวัดเชียงราย ๒๗ เมษายน พ.ศ. ๒๕๕๕</p> <p>๔.๓๓ สรุปผลการศึกษาและ เสนอข้อคิดเห็น</p> <p>๔.๓๔ จัดทำบทความวิจัย เนียพร ๔.๓๕ การประเมินผลกระทบในวัย</p>	
หมายเหตุ	<p>๓. ผู้ลงนามและรัฐมนตรีรัฐธรรมนูญได้ประเมินว่าจะอนุมัติในวันที่ ๓ ชั้น หรือตอนที่จะกำหนดในสายงานหนึ่ง ๆ</p> <p>๔. ให้จัดตั้งระบบสอดคล้องกับเส้นทางการเดินทางของคน จ้าวบัน ๔ ชั้น สำหรับการประชุมทั่วไป</p> <p>๕. กรณีที่ไม่สามารถที่ส่งประชุมในรูปแบบรายวัน เอกสารอ้างอิง หรือหลักฐานในการปฏิบัติงานนี้ หรือไม่สามารถดำเนินการตามที่ได้ระบุไว้ ให้ดำเนินการตามที่ได้ระบุไว้</p> <p>๖. การประเมินผลกระทบ หมายความ ท่าน หรือเรือน ทราบถึง การทำลายสิ่งที่เป็นมูลค่าสูง เช่น ทรัพย์สิน สถาปัตยกรรม หรือศูนย์บริการ หรือบุคคลทางอาชญากรรม หรือบุคคลที่มีประวัติอาชญากรรม ที่มีผลกระทบต่อประเทศ ๙ จังหวัด</p>	

ตอนที่ ๓ การรับรองผลงาน

๑. คำรับรองของผู้ขอรับการประเมิน

ขอรับรองว่าผลงานดังกล่าวข้างต้นเป็นความจริงทุกประการ

(ลงชื่อ)



(นายกัคดี จันทร์เกษ)

(ตำแหน่ง) นักวิทยาศาสตร์ชำนาญการพิเศษ

(วันที่)๒๒/ สิงหาคม / ๒๕๖๐

๒. คำรับรองของผู้ร่วมจัดทำผลงาน (กรณีเป็นผลงานร่วมกันหลายคน)

ขอรับรองว่าสัดส่วนหรือลักษณะงานในการดำเนินการของ (ที่เสนอไว้ข้างต้น) ถูกต้องตรงตามความเป็นจริงทุกประการ

(ลงชื่อ)

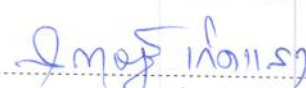


(นายฉันติ เดชโยธิน)

(ตำแหน่ง) นักวิทยาศาสตร์ชำนาญการพิเศษ

(วันที่)๒๒/ สิงหาคม / ๒๕๖๐

(ลงชื่อ)



(นายสุกฤษฎี เกิดแสง)

(ตำแหน่ง) นักอุตุนิยมชำนาญการพิเศษ

(วันที่)๒๒/ สิงหาคม / ๒๕๖๐

(ลงชื่อ)



(นายสาวอริศรา นาคบุรี)

(ตำแหน่ง) นักวิทยาศาสตร์ปฏิบัติการ

(วันที่)๒๒/ สิงหาคม / ๒๕๖๐

(ลงชื่อ)



(นายเกغم มังคลา)

(ตำแหน่ง) นายช่างไฟฟ้าชำนาญงาน

(วันที่)๒๒/ สิงหาคม / ๒๕๖๐

ตอนที่ ๓ การรับรองผลงาน

๓. คำรับรองของผู้บังคับบัญชา (ผู้บังคับบัญชาที่ควบคุมดูแลการปฏิบัติงาน)

ได้ตรวจสอบผลงานของ ที่เสนอให้ประเมินแล้ว เห็นว่าถูกต้องตรงตามความเป็นจริงทุกประการ
ความเห็นอื่น ๆ (ถ้ามี)

(ลงชื่อ)

(นายปนิธิ เสมอวงศ์)

(ตำแหน่ง) ผู้อำนวยการกองปฏิบัติการฝันหลวง

(วันที่) ๒๖ ส.ค. ๒๕๖๐

๔. คำรับรองของผู้บังคับบัญชาหนีอื่นไป (ผู้อำนวยการกองหรือเทียบเท่าขึ้นไป)

(ลงชื่อ)

(นายชัยรัตน์ เกื้ออรุณ)

(ตำแหน่ง) รองอธิบดี ปฏิบัติราชการแทน

(วันที่) ๑๗ ส.ค. ๒๕๖๐

๕. คำรับรองของปลัดกระทรวง (กรณีขอประเมินระดับ ๔ ขึ้นไป)

(ลงชื่อ)

(ตำแหน่ง)

(วันที่) / /

หมายเหตุ : ๑) กรณีเป็นผลงานร่วมกันหลายคน ผู้ร่วมจัดทำผลงานทุกคนจะต้องลงชื่อในคำรับรอง และเมื่อได้ลงชื่อรับรองและส่งเพื่อประกอบการพิจารณาประเมินแล้ว จะเปลี่ยนแปลงแก้ไขไม่ได้

๒) หากพิสูจน์ได้ว่าผู้มีผลงานร่วมรายได้ได้ให้คำรับรองที่ไม่ถูกต้องตามความเป็นจริง โดยมีเจตนาช่วยเหลือผู้ขอประเมินผู้นั้น ผู้ขอประเมินอาจถูกกลงโทษทางวินัยตามควรแก่กรณี